

TESE
183

ESCOLA FEDERAL DE ENGENHARIA DE ITAJUBÁ

TRABALHO DE DISSERTAÇÃO DE MESTRADO

"Fluxo Otimizado de Potência"

Marcelo di Lorenzo Corrêa

— 1978 —

ESCOLA FEDERAL DE ENGENHARIA DE ITAJUBÁ



131 XEROX

TRABALHO DE DISSERTAÇÃO

DE MESTRADO

"FLUXO OTIMIZADO DE POTÊNCIA"

POR

MARCELO DI LORENZO CORRÊA

- 1978 -

CLASS. 621.3.02.001.24 (0432)
CUTT. C 82 Hf
TOMBO 183

A Valéria, Marina e Helena

A G R A D E C I M E N T O S

- À CEMIG pela oportunidade que me foi proporcionada de participar do III Curso de Engenharia de Sistemas Elétricos (CESE), em nível de Pós-Graduação, realizado na ESCOLA FEDERAL DE ENGENHARIA DE ITAJUBÁ, sob o patrocínio da ELETROBRÁS, e, também, pela utilização do computador digital HP-2000.

- Ao Professor Márcio Antônio Curi pela orientação e os fundamentos da matéria apresentada.

- Aos colegas de trabalho e, em especial, ao Engenheiro Wilson Coutinho que nos transmitiu o entusiasmo e os incentivos à elaboração deste trabalho.

- À Senhorita Maria Luiza Santos Rodrigues, pela eficiência e presteza em datilografar os manuscritos.

S I N O P S E

O trabalho apresentado trata da análise e aplicação de um método para a solução do problema de fluxo de potência, tendo em vista, também, a minimização dos custos de produção ou das perdas de um sistema elétrico.

O método baseia-se na solução de um fluxo de potência pelo processo de Newton-Raphson e na técnica de otimização Gradiante, para obtenção do mínimo. As restrições de desigualdade das variáveis dependentes são levadas em consideração através de funções de penalização.

Na primeira parte do trabalho é descrita a formulação matemática do problema, enquanto que na segunda parte é apresentado o programa digital desenvolvido e também a análise de alguns exemplos processados.

INDICE

1.0 - INTRODUÇÃO.....	1
2.0 - ESCOLHA DO METODO.....	2
3.0 - MODELO MATEMATICO.....	3
3.1 - Classificação das Variaveis.....	3
3.2 - Equações de um Fluxo de Potencia.....	3
3.3 - Formulação Matemática de um Fluxo de Po- tencia Otimo.....	7
3.3.1 - Função Objetivo.....	7
3.3.2 - Restrições.....	8
3.3.3 - Formulação Geral.....	8
3.3.4 - Algoritmo de Solução pelo Método Gradiente.....	13
4.0 - APLICAÇÃO DO METODO.....	16
4.1 - Definição da Função Objetivo.....	16
4.2 - Variáveis Consideradas.....	17
4.2.1 - Variáveis de controle.....	17
4.2.2 - Variáveis Dependentes.....	17
4.2.3 - Variáveis de Perturbação.....	17
4.3 - Restrições.....	18
4.3.1 - Restrições de Igualdade.....	18
4.3.2 - Restrições de Desigualdade.....	18
4.4 - Função Objetivo Penalizada.....	19
4.5 - Função de Lagrange e Condições Necessá- rias à Minimização.....	20

4.6 - Aplicação do Algorítmo de Solução do Método Gradiente.....	21
4.6.1 - Estimativa Inicial das Variaveis de Controle.....	21
4.6.2 - Solução das Equações de Fluxo de Potencia.....	21
4.6.3 - Teste e Penalização das Variaveis Dependentes.....	23
4.6.4 - Cálculo dos Multiplicadores de Lagrange.....	23
4.6.5 - Cálculo do Gradiente das Variaveis de Controle.....	27
4.6.6 - Teste dos Gradientes das Variaveis de Controle.....	33
4.6.7 - Cálculo das Novas Variaveis de Controle.....	33
4.6.8 - Teste das Novas Variaveis de Controle.....	34
5.0 - PROGRAMAÇÃO DIGITAL.....	36
5.1 - Características Principais do Programa....	36
5.2 - Estrutura do Programa.....	36
5.3 - Processamento de Dados.....	39
5.3.1 - Entrada de Dados.....	39
5.3.2 - Processamento de Dados.....	40
5.3.3 - Saída de Dados.....	41
6.0 - EXEMPLOS ANALISADOS	43
6.1 - Minimização dos Custos de Produção.....	43

6.2 - Minimização das Perdas.....	44
6.3 - Casos Testes para a Função de Penaliza-	
ção da Potencia Gerada na Barra de Com-	
pensação.....	45
6.4 - Casos Testes para a Função de Penaliza-	
ção das Tensões das Barras de Carga.....	46
7.0 - COMENTARIOS FINAIS E CONCLUSÕES.....	49
8.0 - REFERENCIAS.....	51

ANEXOS

- I - ALGORITMO DE SOLUÇÃO DO MÉTODO GRADIENTE
- II - LISTAGEM DE COMPUTADOR DO PROGRAMA DIGITAL EM LIN
GUAGEM FORTRAN IV
- III - FLUXOGRAMA SIMPLIFICADO DO PROGRAMA
- IV - CONFIGURAÇÕES DOS SISTEMAS UTILIZADOS NOS EXEM
PLOS
- V - TABELA DE RESULTADOS DOS CASOS DE MINIMIZAÇÃO DOS
CUSTOS DE PRODUÇÃO
- VI - LISTAGEM DE COMPUTADOR DOS RESULTADOS DO CASO 4
(MINIMIZAÇÃO DOS CUSTOS DE PRODUÇÃO)
- VII - TABELA DE RESULTADOS DOS CASOS DE MINIMIZAÇÃO DE
PERDAS
- VIII - LISTAGEM DE COMPUTADOR DOS RESULTADOS DO CASO 12
(MINIMIZAÇÃO DAS PERDAS)
- IX - TABELA DE RESULTADOS DOS CASOS TESTES PARA A FUN-
ÇÃO DE PENALIZAÇÃO DA POTÊNCIA DE GERAÇÃO DA BAR
RA DE COMPENSAÇÃO
- X - TABELA DE RESULTADOS DOS CASOS TESTES PARA A FUN-
ÇÃO DE PENALIZAÇÃO DAS TENSÕES DAS BARRAS DE CAR
GA
- XI - GRAFICO DE PERDAS DO SISTEMA DE 3 BARRAS

1.0 - INTRODUÇÃO

A solução de um fluxo de potencia é obtida pela determinação das tensões nos barramentos e potencias que fluem nas linhas de um sistema elétrico, a partir de algumas condições previamente especificadas.

Entretanto, se essas condições são determinadas de modo que permita a obtenção de uma solução, tal que os custos de produção ou as perdas de potencia ativa, por exemplo, sejam minimizadas, dizemos que se trata de um fluxo de potencia otimizado.

A utilização dessa ferramenta na análise de sistemas elétricos de potência, tanto por engenheiros de planejamento quanto de operação, evitará a necessidade de vários processamentos para a obtenção de um melhor perfil de tensão, das reais necessidades de geração de reativos, do despacho adequado de potência ativa etc., atendendo, ainda às capacidades físicas e técnicas dos diversos equipamentos do sistema.

2.0 - ESCOLHA DO MÉTODO

Nos últimos anos foram publicados vários trabalhos sobre métodos de otimização estática para fluxos de potencia ativa e/ou reativa.

O método escolhido foi desenvolvido por HERMANN W. DOMMEL e WILLIAN F. TINNEY (1), o qual baseia-se na solução do fluxo de potencia pelo processo de Newton-Raphson complementado pela técnica de otimização denominada gradiente.

Essa técnica de otimização permite a minimização de uma função objetivo não linear, sujeita à restrições de igualdade e desigualdade, também não lineares. O problema básico está em se achar a direção do gradiente da função objetivo e caminhar no sentido contrário, diminuindo o valor da função e observando as restrições. O processo é iterativo dado o caráter não linear do problema.

Esse método foi escolhido por apresentar as seguintes características básicas fundamentais:

- Solução exata e completa do fluxo de potencia ótimo.
- Pode ser programado como uma extensão de um fluxo de potencia resolvido pelo método de Newton-Raphson.
- A convergência é obtida em poucas iterações, da ordem de 5 à 10, para a grande maioria dos sistemas elétricos. Entretanto, dependendo da complexidade do sistema em estudo, esse número pode ser maior.
- Os resultados são bastante satisfatórios sob o aspecto de precisão.

3.0 - MODELO MATEMÁTICO

3.1 - Classificação das Variáveis

As variáveis que definem uma condição operativa de um sistema elétrico podem ser classificadas em três grupos:

- 1) Variáveis dependentes ou de estado.
- 2) Variáveis independentes ou de controle.
- 3) Variáveis de distúrbio ou perturbação.

- 1) As variáveis dependentes representadas pelo vetor $[x]$ são aquelas que definem o estado de funcionamento de um sistema. Podemos citar como exemplo, a tensão e o ângulo correspondente das barras de carga, os fluxos das linhas, etc.
- 2) As variáveis de controle são aquelas estabelecidas previamente e que visam a manutenção de um estado de funcionamento do sistema. De um modo geral, são as potências reativas geradas nas barras, os comutadores sob carga de transformadores, as potências ativas disponíveis para geração, etc. O vetor designativo dessas variáveis é representado por $[u]$.
- 3) As variáveis de perturbação, normalmente representadas pelo vetor $[p]$, são as demandas de potências ativas e reativas das barras, sobre as quais não temos nenhum controle. (\rightarrow elementos de \bar{Y}_N)

3.2 - Equações de um Fluxo de Potência

A equação que define a potência injetada em uma bar

ra "K" de um sistema é dada por:

$$PINJ_k - jQINJ_k = V_k e^{j\theta_k} \sum_{m=1}^N (G_{km} + jB_{km}) V_m e^{j\theta_m} \quad (1)$$

para: $K = 1 \dots N$

$$I_r = \sum Y_{ik} E_k$$

onde:

$$S_i = E_i I_i^*$$

$$I_r = \frac{S_i^*}{E_p}$$

V_k - módulo de tensão da barra k

$$P - jQ_i = E_p^* \sum Y_{ik} E_k$$

V_m - módulo de tensão da barra m

θ_k - ângulo de tensão da barra k

θ_m - ângulo de tensão da barra m

G_{km}, B_{km} - elementos da matriz Y_{BARRA}

$PINJ_k, QINJ_k$ - potência ativa e reativa injetada na barra

N - número de barras do sistema

Representando o lado direito da equação (1) por

$P_k(V, \theta) - jQ_k(V, \theta)$, temos:

$$P_k(V, \theta) - PINJ_k = 0 \quad (2)$$

$$Q_k(V, \theta) - QINJ_k = 0 \quad (3)$$

para: $K = 1 \dots N$

Cada barra é definida por duas equações, onde temos 4 (quatro) variáveis: $PINJ_k$, $QINJ_k$, V_k e θ_k , das quais duas são especificadas e as outras duas

são incógnitas.

Dependendo de quais variáveis sejam especificadas, as barras podem ser classificadas segundo três tipos, conforme mostra a tabela abaixo:

TIPO DA BARRA	VARIÁVEIS ESPECIFICADAS	VARIÁVEIS INCÓGNITAS
1. Compensação	V, θ	$PINJ, QINJ$
2. Carga	$PINJ, QINJ$	V, θ
3. Geração	$PINJ, V$	$QINJ, \theta$

Os valores de $PINJ$ e $QINJ$ são determinados diretamente das equações (2) e (3), desde que se conheça V e θ de todas as barras do sistema.

Assim sendo, a partir do vetor $[x]$ definido por:

$$[x] = \begin{bmatrix} V \\ \theta \end{bmatrix} \left. \begin{array}{l} \text{barras de carga} \\ \theta - \text{barras de geração} \end{array} \right\} \quad (4)$$

e do vetor $[u, p]$ definido por:

$$[u, p] = \begin{bmatrix} V_1 \\ \theta_1 \\ PINJ \\ QINJ \\ PINJ \\ V \end{bmatrix} \left. \begin{array}{l} \text{barra de compensação} \\ \text{barras de carga} \\ \text{barras de geração} \end{array} \right\} \quad (5)$$

e com equações (2) e (3) é formado o vetor $[g]$,

mostrado abaixo, o qual representa as equações de um fluxo de potência.

$$\left[\begin{array}{l} g(x, u, p) \\ \end{array} \right] = \left[\begin{array}{l} \text{eq. (2) e (3) barras de carga} \\ \text{eq. (2) barras de geração} \end{array} \right] \quad (6)$$

A aplicação do método de Newton-Raphson ao sistema de equações representado pela expressão (6), conduzirá à solução de problema através de sucessivas proximações para o vetor $\begin{bmatrix} x \end{bmatrix}$

Temos então

$$\left[\begin{array}{l} x^{h+1} \\ \end{array} \right] = \left[\begin{array}{l} x^h \\ \end{array} \right] + \left[\begin{array}{l} \Delta x \\ \end{array} \right] \quad (7)$$

sendo $\begin{bmatrix} \Delta x \end{bmatrix}$ determinado pela resolução do conjunto de equações lineares

$$\left[\begin{array}{l} \frac{\partial g(x^h, u, p)}{\partial x} \\ \end{array} \right] \cdot \left[\begin{array}{l} \Delta x \\ \end{array} \right] = - \left[\begin{array}{l} g(x^h, u, p) \\ \end{array} \right] \quad (8)$$

onde:

$$\left[\begin{array}{l} \frac{\partial g}{\partial x} \\ \end{array} \right] - \text{matriz jacobiana}$$

O processo, assim descrito, normalmente converge em 5 à 8 iterações independente de tamanho do sistema. Exige, porém, que se estime um vetor inicial próximo da solução, e que não é difícil por se tratar da

solução de um fluxo de potencia de um sistema elétrico.

3.3 - Formulação Matemática de um Fluxo de Potencia Ótimo

3.3.1 - Função Objetivo

A função objetivo para um fluxo de potencia ótimo de potencia ativa e reativa pode ser definida pelo somatório dos custos de produção de todas as usinas despacháveis do sistema, conforme expressão a seguir:

$$f = \sum K_i (PG_i) ; \text{ para } i = 1, \dots, NG \quad (9)$$

onde:

f - custo total de produção em \$/hora

PG_i - potência ativa gerada na barra i

K_i - custo de produção da potência PG_i

NG - número das barras com geração de potência ativa

No caso de um fluxo ótimo de potência reativa, o qual otimiza o fluxo de potência reativa de um sistema através da minimização das perdas ativas, a função objetivo é definida pela potência $P_1(V, \theta)$ da barra de compensação.

Temos então:

$$f = P_1(V, \theta) \quad (10)$$

O fluxo de potência ótimo com a função objetiva assim definida é mais apropriado para sistemas hidráulicos onde o despacho das usinas é determinado por outros fatores, como por exemplo, controle de reservatórios. Observa-se, neste caso, que o estado ótimo de funcionamento do sistema coincide com a condição de perdas mínimas.

3.3.2 - Restrições

O problema da minimização dessas funções ou de qualquer outra conforme se deseja definir, estará sujeito às equações de fluxo de potência dadas por ⑥

$$g(x, u, p) = 0$$

e também às características dos elementos que compõem o sistema, expressas pelas inequações

$$P_G^{\text{MIN}} \leq P_G \leq P_G^{\text{MAX}}$$

$$Q_G^{\text{MIN}} \leq Q_G \leq Q_G^{\text{MAX}}$$

$$v^{\text{MIN}} \leq v \leq v^{\text{MAX}}$$

3.3.3 - Formulação Geral

De um modo geral o problema pode ser formulado da seguinte maneira:

minimizar a função: $f(x, u)$
sujeito às condições:

$$g(x, u, p) = 0$$

e

$$\begin{array}{c} u^{\text{MIN}} \leq u \leq u^{\text{MAX}} \\ x^{\text{MIN}} \leq x \leq x^{\text{MAX}} \end{array}$$

onde:

$f(x, u)$ - função objetivo

$g(x, u, p)$ - restrições de igualdade representativas das equações de fluxo de potência

$u^{\text{MIN}} \leq u \leq u^{\text{MAX}}$ - restrições de desigualdade das variáveis de controle

$x^{\text{MIN}} \leq x \leq x^{\text{MAX}}$ - restrições de desigualdade das variáveis dependentes

A transformação do problema com restrições, assim definido, em um problema sem restrições, é conseguida através da função de Lagrange.

Considerando-se, inicialmente, somente as restrições de igualdade temos:

$$L(x, u, p) = f(x, u) + [\lambda]^T \cdot [g(x, u, p)] \quad (11)$$

onde:

λ - multiplicadores de Lagrange

$L(x, u, p)$ - função de Lagrange

O teorema de KUHN-TUCKER estabelece as condições que devem ser satisfeitas no mínimo de um problema de otimização não-linear, com restrições de igualdade e desigualdade, também, não-lineares. Baseando-se nisso as condições de KUHN-TUCKER complementam as condições de Lagrange, permitindo a inclusão das restrições

de desigualdade na função sem restrição, dada pela expressão (11).

Entretanto o teorema será aplicado somente para as restrições de desigualdade das variáveis de controle, uma vez que a inclusão das restrições das variáveis dependentes traria problemas de computação numérica.

Dessa forma a função de Lagrange fica:

$$L(x, u, p) = f(x, u) + [\lambda]^T \cdot [g(x, u, p)] + \\ + [\gamma_{\text{MAX}}]^T \cdot ([u] - [u^{\text{MAX}}]) + \\ + [\gamma_{\text{MIN}}]^T \cdot ([u^{\text{MIN}}] - [u]) \quad (12)$$

sujeito às equações de exclusão:

$$[\gamma_{\text{MAX}}]^T \cdot ([u] - [u^{\text{MAX}}]) = 0 \quad (13)$$

$$[\gamma_{\text{MIN}}]^T \cdot ([u^{\text{MIN}}] - [u]) = 0 \quad (14)$$

$$\gamma_{\text{MIN}} \geq 0, \quad \gamma_{\text{MAX}} \geq 0$$

onde:

u^{MIN} , u^{MAX} - limites das variáveis de controle

γ_{MIN} , γ_{MAX} - multiplicadores de Lagrange

As derivadas parciais da função de Lagrange em relação as variáveis $x, u, \lambda, \gamma_{\text{MIN}}, \gamma_{\text{MAX}}$, e, igualadas a zero, fornecem as condições necessárias para o mínimo, desde que as funções

sejam convexas. Temos então:

$$\left[\frac{\partial L}{\partial \lambda} \right] = [g(x, u, p)] = 0 \quad (15)$$

$$\left[\frac{\partial L}{\partial \gamma_{\text{MIN}}} \right] = ([u^{\text{MIN}}] - [u]) = 0 \quad (16)$$

$$\left[\frac{\partial L}{\partial \gamma_{\text{MAX}}} \right] = ([u] - [u^{\text{MAX}}]) = 0 \quad (17)$$

$$\left[\frac{\partial L}{\partial x} \right] = \left[\frac{\partial f}{\partial x} \right] + \left[\frac{\partial g}{\partial x} \right]^T \cdot [\lambda] = 0 \quad (18)$$

$$\left[\frac{\partial L}{\partial u} \right] = \left[\frac{\partial f}{\partial u} \right] + \left[\frac{\partial g}{\partial u} \right]^T \cdot [\lambda] - [\gamma_{\text{MIN}}] + [\gamma_{\text{MAX}}] = 0 \quad (19)$$

Observa-se pelas equações (13), (14), (16), (17), e (19) que se uma variável u_i viola um dos limites estabelecidos, ela toma o valor de u_i^{MAX} ou u_i^{MIN} correspondente ao limite violado, e γ_{MIN} ou γ_{MAX} podem ter qualquer valor.

Por outro lado se u_i satisfaz os limites estabelecidos então γ_{MIN} e γ_{MAX} são igualados a zero.

Assim:

$$\gamma = 0 \quad \text{se} \quad u_i^{\text{MIN}} \leq u_i \leq u_i^{\text{MAX}}$$

$$\gamma = \gamma_{\text{MAX}} \quad \text{se} \quad u_i = u_i^{\text{MAX}}$$

$$\gamma = \gamma_{\text{MIN}} \quad \text{se} \quad u_i = u_i^{\text{MIN}}$$

Vê-se então que as condições de KUHN-TUCKER não constituem um algoritmo para a solução, elas, simplesmente, descrevem as condições que devem ser satisfeitas no mínimo de um problema de otimização não-linear, com restri-

ções de igualdade e desigualdade também não lineares.

Dessa forma, conforme estabelecido, as restrições de desigualdade para as variáveis de controle, são facilmente observadas, bastando que não deixemos que elas ultrapassem seus limites.

Para as restrições de desigualdade das variáveis dependentes, não é possível utilizar o mesmo procedimento em razão dos problemas de computação, sendo então adotadas funções de penalização.

Assim sendo, quando os limites das variáveis dependentes são violadas, é incorporada à função objetivo uma penalidade para as inequações correspondentes, que forçará o atendimento dos limites estabelecidos.

Dessa forma a função objetivo fica:

$$F(x, u) = f(x, u) + \sum s_j (x_j - x_j^{\text{MIN}})^2 + \sum s_j (x_j - x_j^{\text{MAX}})^2 \quad (20)$$

onde:

$F(x, u)$ - função objetivo penalizada

s_j - fator de penalização

$x_j^{\text{MAX}}, x_j^{\text{MIN}}$ - limites máximos e mínimos das variáveis dependentes

OBSERVAÇÃO:

s_j deve ser nulo para os valores permitidos para as variáveis dependentes e diferente de zero, sempre que a variável dependente violar um dos limites.

3.3.4 - Algoritmo de Solução pelo Método Gradiente

As equações 15, 18 e 19, mostradas nóvamente a seguir, devem ser resolvidas iterativamente, em razão do caráter não-linear das mesmas.

$$\left[\frac{\partial L}{\partial \lambda} \right] = \left[g(x, u, p) \right] = 0 \quad 15$$

$$\left[\frac{\partial L}{\partial x} \right] = \left[\frac{\partial F}{\partial x} \right] + \left[\frac{\partial g}{\partial x} \right]^T \cdot [\lambda] = 0 \quad 18$$

$$\left[\frac{\partial L}{\partial u} \right] = \left[\frac{\partial F}{\partial u} \right] + \left[\frac{\partial g}{\partial u} \right]^T \cdot [\lambda] = 0 \quad 19$$

O método denominado Gradiente o qual é usado no estudo, baseia-se em mudar de uma solução para outra de modo a diminuir o valor da função objetivo. A direção na qual se faz a mudança é dada pelo sentido contrário do gradiente da função no ponto.

A solução das equações de fluxo de potência (equação 15) pelo método de Newton-Raphson fornece, também, a matriz Jacobiana do sistema no ponto de solução, a qual será utilizada na equação 18 para o cálculo dos multiplicadores de Lagrange.

Conforme demonstrado no artigo "Optimal Power Flow Solutions" (1) os termos correspondentes às derivadas da função de Lagrange em relação as variáveis de controle são os gradientes da função objetivo, quando as equações 15 e 18 estão satisfeitas.

Baseando-se nisso foi criado o algoritmo, para solução do problema através do método Gradiente, o qual é sumariamente descrito a seguir. O anexo I apresenta um fluxograma simplificado desse algoritmo.

1. Estimativa das variáveis de controle.
2. Determinação de uma solução possível (\mathbf{x}, \mathbf{u}) através do método de Newton-Raphson. A utilização desse método nos dá a matriz jacobiana no ponto de solução.
3. Solução da equação 18

$$[\lambda] = - \left[\frac{\partial g}{\partial \mathbf{x}} \right]^{-1} \cdot \left[\frac{\partial F}{\partial \mathbf{x}} \right] \quad 18a$$

- Chamamos atenção que se pode aplicar o método já usado na solução do sistema de equações lineares na determinação de $[\Delta \mathbf{x}]$
4. Determinação do vetor Gradiente $[\nabla F]$ através da equação 19

$$[\nabla F] = \left[\frac{\partial F}{\partial \mathbf{u}} \right]^T + \left[\frac{\partial g}{\partial \mathbf{u}} \right] \cdot [\lambda] \quad 19a$$

5. Se $[\nabla F]$ for suficientemente pequeno, o mínimo é considerado encontrado.
6. Caso contrário um novo conjunto da variáveis de controle deve ser estipulado, de acordo com a expressão abaixo, voltando em seguida ao passo 2.

$$[\mathbf{u}^{\text{novo}}] = [\mathbf{u}^{\text{velho}}] - \alpha [\nabla F] \quad 21$$

O valor de α pode ser calculado através de um método matemático de segunda ordem, por exemplo, como também pode ser arbitrado com o risco de tornar o processo lento se for escolhido pequeno, ou implicar em oscilações em torno do mínimo, e até mesmo divergência, se for grande.

4.0 - APLICAÇÃO DO MÉTODO

O método foi aplicado para minimizar os custos de produção e as perdas de um sistema elétrico de potência.

4.1 - Definição da Função Objetivo

No caso de minimização dos custos de produção a função objetivo foi definida pelo somatório dos custos de produção das usinas, de acordo com a expressão (9), na qual a potência de geração da barra de compensação foi incluída como:

$$PG_1 = P_1(V, \theta) + PD_1$$

onde:

PG_1 - potência ativa gerada na barra de compensação

$P_1(V, \theta)$ - potência ativa da barra de compensação

PD_1 - potência ativa demandada da barra de compensação

Dessa forma, a função objetivo fica:

$$f(x, u) = \sum_i^{NG} (KA_i + KB_i PG_i + KC_i PG_i^2) + KA_1 + KB_1 (P_1(V, \theta) + PD_1) + KC_1 (P_1(V, \theta) + PD_1)^2 \quad \text{para } i = 2, \dots, NG \quad (22)$$

sendo KA , KB e KC os coeficientes dos custos de produção das usinas.

Para a minimização das perdas do sistema foram consideradas duas funções objetivo:

a- $f(x, u) = P_1(V, \theta) \quad (23)$

b- $f(x, u) = \sum_i PG_i + P_1(V, \theta) \quad \text{para } i = 2, \dots, NG \quad (24)$

sendo PG_i a potência de geração da barra "i"

A minimização das perdas do sistema no primeiro caso é conseguida com o controle de tensão das barras, enquanto

que o segundo caso leva em conta, tambem, a distribuição das potencias de geração do sistema.

4.2 - Variáveis Consideradas

Relacionamos abaixo as variáveis consideradas no estudo.

4.2.1 - Variáveis de Controle

- Módulo das tensões nas barras de geração
- Módulo da tensão na barra de compensação
- Potência de geração disponível para o despacho no caso de minimização dos custos de produção e também de minimização das perdas do sistema (caso "b")

4.2.2 - Variaveis Dependentes

- Tensão nas barras de carga
- Ângulo de tensão nas barras de geração e carga
- Potência ativa e reativa na barra de compensação
- Potência reativa nas barras de geração
- Fluxo nas linhas de transmissão
- Custos das potências geradas
- Perdas

4.2.3 - Variáveis de perturbação

- Potência ativa e reativa nas barras de carga do sistema
- Comutadores fixos dos transformadores
- Coeficientes dos custos de produção
- Características dos elementos do sistema

4.3 - Restrições

4.3.1 - Restrições de Igualdade

Como restrições de igualdade foram consideradas as equações de fluxo de potência:

$$g_p(x, u, p) = P_k(v, \theta) - PINJ_k = 0 \quad (25)$$

$$g_q(x, u, p) = Q_k(v, \theta) - QINJ_k = 0 \quad (26)$$

Onde:

$$PINJ_k = PG_k - PD_k \quad (27)$$

$$QINJ_k = QG_k - QD_k \quad (28)$$

Sendo:

PG_k, QG_k - potência ativa e reativa gerada na barra K

PD_k, QD_k - potência ativa e reativa demandada da barra K

4.3.2 - Restrições de Desigualdade

As restrições de desigualdade consideradas para as variáveis de controle foram:

$$v_1^{\text{MIN}} \leq v_1 \leq v_1^{\text{MAX}} - \text{barra de compensação.}$$

$$v_i^{\text{MIN}} \leq v_i \leq v_i^{\text{MAX}} - \text{barras de geração}$$

$$PG_i^{\text{MIN}} \leq PG_i \leq PG_i^{\text{MAX}} - \text{potência da geração disponível para despacho.}$$

Além disso, também foram consideradas restrições de desigualdade para as seguintes variáveis dependentes:

$$v_j^{\text{MIN}} \leq v_j \leq v_j^{\text{MAX}} - \text{barras de carga}$$

$$PG_1^{\text{MIN}} \leq PG_1 \leq PG_1^{\text{MAX}} - \text{barra de compensação}$$

4.4 - Função Objetivo Penalizada

As restrições de desigualdade para as variáveis dependentes foram tratadas através de funções de penalização da forma:

$$w_j = s_j (x_j - x_j^{\text{MIN}})^2 \quad \text{se} \quad x_j < x_j^{\text{MIN}}$$

$$w_j = s_j (x_j - x_j^{\text{MAX}})^2 \quad \text{se} \quad x_j > x_j^{\text{MAX}}$$

Assim sendo a função objetivo definida pelas equações (22), (23) ou (24) fica:

$$F(x, u) = f(x, u) + SP_1 (PG_1 - PG_1^M)^2 + \sum_j SV_j (v_j - v_j^M)^2 \quad (29)$$

onde:

SP_1 - fator de penalização da potência gerada na barra de compensação.

SV_j - fator de penalização das tensões nas barras de carga.

PG_1^M - potência de geração máxima ou mínima na barra de compensação.

- v_j^M - módulo da tensão máxima ou mínima nas barras de carga
 j - barras de carga

4.5 - Função de Lagrange e Condições Necessárias à MINIMIZAÇÃO

Dessa forma a função de Lagrange e as condições necessárias no mínimo ficam:

$$L(x, u, p) = f(x, u) + \sum w_j + [\lambda]^T \cdot [g(x, u, p)] + \\ + [\lambda_{MAX}]^T \cdot ([u] - [u_{MAX}]) + [\lambda_{MIN}]^T \cdot ([u_{MIN}] - [u]) \quad (30)$$

sujeito às equações de exclusão:

$$[\lambda_{MAX}]^T \cdot ([u] - [u_{MAX}]) = 0 \quad (31)$$

$$[\lambda_{MIN}]^T \cdot ([u_{MIN}] - [u]) = 0 \quad (32)$$

$$\lambda_{MIN} \geq 0, \lambda_{MAX} \geq 0$$

e

$$g(x, u, p) = 0 \quad (33)$$

$$[\lambda] = - \left[\frac{\partial g}{\partial x} \right]^{T-1} \cdot \left[\frac{\partial f(x, u)}{\partial x} + \frac{\partial \sum w_j}{\partial x} \right] \quad (34)$$

$$[\nabla F_u] = \left[\frac{\partial f(x, u)}{\partial u} + \frac{\partial \sum w_j}{\partial u} \right] + \left[\frac{\partial g}{\partial u} \right]^T \cdot [\lambda] \quad (35)$$

sendo:

$$w_j = SP_1 (PG_1 - PG_1^M)^2 + \sum_j SV_j (v_j - v_j^M)^2$$

4.6 - Aplicação do Algoritmo de Solução do Método Gradiente

O anexo I mostra um diagrama esquemático do algoritmo do método Gradiente, conforme apresentado no item anterior. Esse método foi aplicado tanto para a minimização dos custos de produção como também para a minimização das perdas.

4.6.1 - Estimativa Inicial das Variáveis de Controle

A estimativa inicial para as variáveis de controle não apresenta dificuldade alguma, usando-se o mesmo procedimento empregado para um fluxo de potência. É aconselhável apenas que os valores estipulados atendam os limites estabelecidos.

4.6.2 - Solução das Equações de Fluxo de Potência

A solução das equações de fluxo de potência ⁽³³⁾, pelo método de Newton-Raphson, nos dá o vetor das variáveis dependentes e a matriz jacobiana no ponto de solução a ser usada no cálculo dos multiplicadores de Lagrange.

O método, conforme já descrito, resume-se em obter a solução através de sucessivas aproximações para $[x]$, obtidas pela expressão ⁽⁷⁾.

$$[x^{h+1}] = [x^h] + [\Delta x] \quad (7)$$

em que $[\Delta x]$ é obtido pela solução do conjunto de equações lineares (8)

$$[\Delta x] = - \left[\frac{\partial g}{\partial x} \right]^{-1} [g] \quad (8a)$$

onde:

$$[\Delta x] = \begin{bmatrix} \Delta \theta \\ \hline \Delta V \\ \hline V \end{bmatrix}$$

Representa as correções que deverão ser feitas nos ângulos das barras dos sistemas (exceção à barra de compensação tomada como referência) e módulos das tensões das barras de carga.

$$\left[\frac{\partial g}{\partial x} \right] = \begin{bmatrix} \frac{\partial P_k(v, \theta)}{\partial \theta} & \frac{\partial P_k(v, \theta)}{\partial v_j} \cdot v_j \\ \hline \frac{\partial Q_k(v, \theta)}{\partial \theta} & \frac{\partial Q_k(v, \theta)}{\partial v_j} \cdot v_j \end{bmatrix}$$

Representa a matriz jacobiana do sistema.

$$[g] = \begin{bmatrix} \Delta P_k = PINJ_k - P_k(V, \theta) \\ \Delta Q_k = QINJ_k - Q_k(V, \theta) \end{bmatrix}$$

Representa os resíduos das potências ativas e reativas das barras.

O processo termina quando os valores dos resíduos satisfazem a uma tolerância previamente estabelecida.

4.6.3 - Teste e Penalização das Variáveis Dependentes

O vetor das variáveis dependentes obtido pela solução das equações de fluxo de potência é testado com os limites estabelecidos.

Para cada uma das variáveis que ultrapasse esses limites é aplicada uma penalização da forma $S_j(x_j - x_j^M)^2$, em que x_j foi mantido constante durante os cálculos.

4.6.4 - Cálculo dos Multiplicadores de Lagrange

Examinando a equação (34) vê-se que ela tem a mesma forma da (8a), o que permite aplicar o método já utilizado no cálculo de $[\Delta x]$.

Observa-se ainda que o termo $\left[\frac{\partial g}{\partial x} \right]^{T-1}$ é o inverso da matriz jacobiana transposta, já obtida na solução das equações de fluxo de potência.

O termo $\left[\frac{\partial f(x, u)}{\partial x} + \frac{\partial \sum w_j}{\partial x} \right]$ é a derivada par-

cial da função objetivo penalizada em relação às variáveis dependentes.

Para o caso da função objetivo definida pela equação (22) temos:

$$\begin{aligned} \frac{\partial f(x, u)}{\partial x} + \frac{\partial \sum w_j}{\partial x} &= KB_1 \cdot \frac{\partial P_1(V, \theta)}{\partial x} + \\ &+ 2KC_1(P_1(V, \theta) + PD_1) \cdot \frac{\partial P_1(V, \theta)}{\partial x} + \\ &+ 2SP_1(PG_1 - PG_1^M) \cdot \frac{\partial P_1(V, \theta)}{\partial x} + \\ &+ \frac{\partial \sum SV_j(V_j - V_j^M)^2}{\partial x} \end{aligned}$$

$\frac{\partial P_1(V, \theta)}{\partial x}$ em evidencia nos dá:

$$\begin{aligned} \frac{\partial f(x, u)}{\partial x} + \frac{\partial \sum w_j}{\partial x} &= \frac{\partial P_1(V, \theta)}{\partial x} \cdot (KB_1 + \\ &+ 2KC_1(P_1(V, \theta) + PD_1) + \\ &+ 2SP_1(PG_1 - PG_1^M)) + \\ &+ \frac{\partial \sum SV_j(V_j - V_j^M)^2}{\partial x} \end{aligned}$$

$$\frac{\partial f(x, u)}{\partial x} + \frac{\partial \sum w_j}{\partial x} = \frac{\partial P_1(V, \theta)}{\partial x} \cdot (KB_1 + 2KC_1 PG_1 +$$

$$2SP_1(PG_1 - PG_1^M) + \frac{\partial \sum SV_j(V_j - V_j^M)^2}{\partial x}$$

Finalmente,

$$\begin{aligned} \frac{\partial f(x, u)}{\partial x} + \frac{\partial \sum w_j}{\partial x} &= \frac{\partial P_1(v, \theta)}{\partial x} \cdot \left(\frac{\partial K_1 P G_1}{\partial P G_1} + \right. \\ &\quad \left. + 2 S P_1 \cdot (P G_1 - P G_1^M) \right) + \\ &\quad + \sum \frac{\partial S V_j \cdot (V_j - V_j^M)^2}{\partial x} \end{aligned} \quad (36)$$

Para as variáveis dependentes V e θ temos:

$$\begin{aligned} \frac{\partial f(x, u)}{\partial v_j} v_j + \frac{\partial \sum w_j}{\partial v_j} v_j &= \frac{\partial P_1(v, \theta)}{\partial v_j} v_j \cdot \left(\frac{\partial K_1 P G_1}{\partial P G_1} + \right. \\ &\quad \left. + 2 S P_1 \cdot (P G_1 - P G_1^M) \right) + \\ &\quad + \sum 2 S V_j \cdot (V_j - V_j^M) \cdot v_j \end{aligned} \quad (36a)$$

$$\begin{aligned} \frac{\partial f(x, u)}{\partial \theta_m} + \frac{\partial \sum w_j}{\partial \theta_m} &= \frac{\partial P_1(v, \theta)}{\partial \theta_m} \cdot \left(\frac{\partial K_1 P G_1}{\partial P G_1} + \right. \\ &\quad \left. + 2 S P_1 \cdot (P G_1 - P G_1^M) \right) \end{aligned} \quad (36b)$$

onde:

j - barras de carga

m - barras de carga e geração

Levando (36a) e (36b) na equação (34) temos:

T-1

$$[\lambda] = - \begin{bmatrix} \frac{\partial P_k(v, \theta)}{\partial \theta_m} & \frac{\partial P_k(v, \theta)}{\partial v_j} v_j \\ \hline \frac{\partial Q_k(v, \theta)}{\partial \theta_m} & \frac{\partial Q_k(v, \theta)}{\partial v_j} v_j \end{bmatrix}.$$

$$\left[\begin{array}{c} \frac{\partial P_1(v, \theta)}{\partial \theta_m} \cdot \left(\frac{\partial K_1 P G_1}{\partial P G_1} + 2 S P_1 (P G_1 - P G_1^M) \right) \\ \hline \frac{P_1(v, \theta)}{\partial v_j} v_j \left(\frac{\partial K_1 P G_1}{\partial P G_1} + 2 S P_1 (P G_1 - P G_1^M) \right) + \sum 2 S V_j (V_j - V_j^M) \end{array} \right] \quad (37)$$

Para o caso em que a função objetivo seja definida pela equação (23) ou (24) temos:

$$\begin{aligned} \frac{\partial f(x, u)}{\partial v_j} v_j + \frac{\partial \sum w_j v_j}{\partial v_j} = & \frac{\partial P_1(v, \theta)}{\partial v_j} v_j (1 + 2 S P_1 (P G_1 - P G_1^M)) + \\ & + \sum 2 S V_j (V_j - V_j^M) \cdot v_j \end{aligned} \quad (38a)$$

$$\frac{\partial f(x, u)}{\partial \theta_m} + \frac{\partial \sum w_j}{\partial \theta_m} = \frac{\partial P_1(v, \theta)}{\partial \theta_m} \cdot (1 + 2 S P_1 (P G_1 - P G_1^M)) \quad (38b)$$

Da mesma forma (38a) e (38b) em (34) tem-se:

$$[\lambda] = - \begin{bmatrix} \frac{\partial P_k(v, \theta)}{\partial \theta_m} & \frac{\partial P_k(v, \theta)}{\partial v_j} v_j \\ \hline \frac{\partial Q_k(v, \theta)}{\partial \theta_m} & \frac{\partial Q_k(v, \theta)}{\partial v_j} v_j \end{bmatrix}^{T-1}$$

$$\begin{bmatrix} \frac{\partial P_1(v, \theta)}{\partial \theta_m} (1 + 2SP_1(PG_1 - PG_1^M)) \\ \hline \frac{\partial P_1(v, \theta)}{\partial v_j} v_j (1 + 2SP_1(PG_1 - PG_1^M)) + \sum 2SV_j (V_j - V_j^M) v_j \end{bmatrix} \quad (39)$$

OBSERVAÇÃO:

Uma importante observação que se deve fazer em relação aos multiplicadores de Lagrange, é que eles medem a sensibilidade da função objetivo com respeito à potência ativa e reativa, consumida ou gerada na barra, podendo ser usado para o estabelecimento de uma base tarifária para o sistema em estudo.

4.6.5 - Cálculo do Gradiente das Variáveis de Controle

Conforme já foi mostrado, as derivadas da função de Lagrange em relação às variáveis de controle escolhidas para estudo, resultam nos gradientes das respectivas variáveis.

Assim sendo o termo $\frac{\partial f(x, u)}{\partial u} + \frac{\partial \sum w_j}{\partial u}$ é obtido através da derivada parcial da função objetivo em relação às variáveis de controle v_i e PG_i .

- Para o caso da função objetivo definida pela equação (22) (minimização dos custos de produção) temos:

a. Para a variável v_i

$$\begin{aligned} \frac{\partial f(x, u)}{\partial v_i} + \frac{\sum w_j}{v_i} = & K_{B_1} \frac{\partial P_1(v, \theta)}{\partial v_i} + \\ & + 2K_{C_1} \cdot (P_1(v, \theta) + PD_1) \cdot \frac{\partial P_1(v, \theta)}{\partial v_i} + \\ & + 2SP_1 \cdot (PG_1 - PG_1^M) \frac{\partial P_1(v, \theta)}{\partial v_i} \\ \frac{\partial f(x, u)}{\partial v_i} + \frac{\partial \sum w_j}{\partial v_i} = & \frac{\partial P_1(v, \theta)}{\partial v_i} \cdot \left(\frac{\partial K_1 PG_1}{\partial PG_1} + \right. \\ & \left. + 2SP_1 \cdot (PG_1 - PG_1^M) \right) \end{aligned}$$

finalmente, multiplicando ambos os termos por v_i temos:

$$\begin{aligned} \frac{\partial f(x, u)}{\partial v_i} v_i + \frac{\partial \sum w_j}{\partial v_i} v_i = & \frac{\partial P_1(v, \theta)}{\partial v_i} v_i \cdot \left(\frac{\partial K_1 PG_1}{\partial PG_1} + \right. \\ & \left. + 2SP_1 \cdot (PG_1 - PG_1^M) \right) \quad (40) \end{aligned}$$

para $i = 1 \dots NG$

b. Para a variável PG_i

$$\frac{\partial f(x, u)}{\partial PG_i} + \frac{\partial \sum w_j}{\partial PG_i} = \frac{\partial K_i PG_i}{\partial PG_i} \quad (41)$$

para $i = 2 \dots NG$

- Para a função objetivo definida pela equação $\textcircled{23}$ ($f = P_1(v, \theta)$) temos:

$$\frac{\partial f(x, u)}{\partial v_i} v_i + \frac{\partial \sum w_j}{\partial v_i} v_i = \frac{\partial P_1(v, \theta)}{\partial v_i} v_i \cdot (1 + \\ + 2SP_1(PG_1 - PG_1^M)) \quad \textcircled{42}$$

para $i = 1 \dots NG$

- Para a função objetivo definida pela equação $\textcircled{24}$ ($f = \sum_i PG_i + P_1(v, \theta)$) temos:

a. Para a variável v_i

É a mesma expressão dada pela equação $\textcircled{42}$.

b. Para a variável PG_i temos:

$$\frac{\partial f(x, u)}{\partial PG_i} + \frac{\partial \sum w_j}{\partial PG_i} = 1 \quad \textcircled{43}$$

para $i = 2 \dots NG$

O termo $\left[\frac{\partial g}{\partial u} \right]^T$ é obtido através das derivadas parciais das equações de igualdade $g(x, u, p) = 0$ em relação às variáveis de controle.

Derivando as equações $\textcircled{25}$, $\textcircled{26}$, $\textcircled{27}$ e $\textcircled{28}$, mostradas novamente a seguir, em relação as variáveis de controle v_i e PG_i , temos:

$$g_p(x, u, p) = P_k(v, \theta) - PINJ_k = 0 \quad (25)$$

$$g_q(x, u, p) = Q_k(v, \theta) - QINJ_k = 0 \quad (26)$$

$$PINJ_k = PG_k - PD_k \quad (27)$$

$$QINJ_k = QG_k - QD_k \quad (28)$$

Assim

$$\frac{\partial g_p(x, u, p)}{\partial v_i} = \frac{\partial P_k(v, \theta)}{\partial v_i} \quad \text{para} \begin{cases} i=1 \dots NG \\ k=1 \dots N \end{cases} \quad (44)$$

$$\frac{\partial g_q(x, u, p)}{\partial v_i} = \frac{\partial Q_j(v, \theta)}{\partial v_i} \quad \text{para} \begin{cases} i=1 \dots NG \\ j=\text{barras de carga} \end{cases} \quad (45)$$

$$\frac{\partial g_p(x, u, p)}{\partial PG_i} = -1 \quad \text{para } k=i \quad (46)$$

$$\frac{\partial g_p(x, u, p)}{\partial PG_i} = 0 \quad \text{para } k \neq i \quad (47)$$

$$\frac{\partial g_q(x, u, p)}{\partial PG_i} = 0 \quad (48)$$

sendo:

i - barras de geração

j - barras de carga

k - representa uma barra qualquer do sistema

ma

Finalmente o Gradiente das variáveis de controle pode ser obtido através das seguintes expressões:

- Para o caso de minimização dos custos de produção

$$\left[\nabla F_{V_i} \right] = \left[\frac{\partial f(x, u)}{\partial V_i} + \frac{\partial \sum_w}{\partial V_i} \right] + \left[\frac{\partial g(x, u, p)}{\partial V_i} \right]^T \cdot [\lambda] \quad (49)$$

substituindo (40), (44) e (45) em (49), temos:

$$\begin{aligned} \left[\nabla F_{V_i} \right] &= \frac{1}{V_i} \cdot \left[\frac{\partial P_1(V, \theta)}{\partial V_i} V_i \left(\frac{\partial K_1 P G_1}{\partial P G_1} + 2 S P_1 (P G_1 - P G_1^M) \right) \right] + \\ &+ \frac{1}{V_i} \cdot \left(\left[\frac{\partial P_k(V, \theta)}{\partial V_i} V_i \mid \frac{\partial Q_j(V, \theta)}{\partial V_i} V_i \right] \cdot [\lambda] \right) \quad (50) \end{aligned}$$

$$\begin{aligned} \left[\nabla F_{P G_i} \right] &= \left[\frac{\partial f(x, u)}{\partial P G_i} + \frac{\partial \sum_w}{\partial P G_i} \right] + \end{aligned}$$

$$+ \left[\frac{\partial g(x, u, p)}{\partial P G_i} \right]^T \cdot [\lambda] \quad (51)$$

substituindo (41), (46), (47) e (48) em (51), temos:

$$\left[\nabla F_{PG_i} \right] = \left[\begin{array}{c} \partial K_i P G_i \\ \partial P G_i \end{array} \right] + \left[\begin{array}{c|c} -1 & 0 \end{array} \right] \cdot [\lambda] \quad (52)$$

sendo $[\lambda]$ obtido através da expressão (37)

- Para o caso de minimização das perdas do sistema, temos:

Substituindo (42), (44) e (46) em (49)

$$\left[\nabla F_{V_i} \right] = \frac{1}{V_i} \left[\begin{array}{c} \partial P_1(V, \theta) \\ \partial V_i \end{array} \right] V_i \cdot (1 + 2 S P_1 (P G_1 - P G_1^M)) + \\ + \frac{1}{V_i} \cdot \left(\left[\begin{array}{c} \partial P_k(V, \theta) \\ \partial V_i \end{array} \right] V_i \left[\begin{array}{c} \partial Q_j(V, \theta) \\ \partial V_i \end{array} \right] V_i \right) [\lambda] \quad (53)$$

e substituindo (43), (46), (47) e (48) em (51)

$$\left[\nabla F_{PG_i} \right] = \left[\begin{array}{c} 1 \\ 1 \end{array} \right] + \left[\begin{array}{c|c} -1 & 0 \end{array} \right] \cdot [\lambda] \quad (54)$$

sendo $[\lambda]$ obtido através da expressão (39)

OBSERVAÇÃO:

Lembramos que as expressões (53) e (54) permitem a obtenção de gradientes das variáveis de controle V_i e $P G_i$ para o caso da função objetivo definida por (24), enquanto que para função definida por (23) somente a expressão (53) é válida.

4.6.6 - Teste dos Gradientes das Variáveis de Controle

A cada iteração os gradientes das variáveis de controle, assim obtidos são testados com as tolerâncias estipuladas para cada um deles.

Quando todos os gradientes satisfazem essas tolerâncias, o ponto ótimo é considerado obtido e o processo terminado.

4.6.7 - Cálculo das Novas Variáveis de Controle

Se pelo menos um dos gradientes não passar no teste do passo anterior, novas variáveis de controle deverão ser especificadas para o novo ciclo.

Essas variáveis deverão ser aumentadas na direção contrária a dos gradientes, de modo que o ponto de solução a ser encontrado na nova iteração esteja mais próximo do mínimo.

Assim, de acordo com a equação (21) temos:

$$\begin{bmatrix} v_i^{\text{novo}} \end{bmatrix} = \begin{bmatrix} v_i^{\text{velho}} \end{bmatrix} - \alpha_v \begin{bmatrix} \nabla F_{v_i} \end{bmatrix} \quad (55)$$

$$\begin{bmatrix} PG_i^{\text{novo}} \end{bmatrix} = \begin{bmatrix} PG_i^{\text{velho}} \end{bmatrix} - \alpha_{PG} \begin{bmatrix} \nabla F_{PG_i} \end{bmatrix} \quad (56)$$

onde:

α_V, α_{PG} - valores constantes e arbitrários

∇F_{V_i} - obtido pela expressão (50) ou (53)

∇F_{PG_i} - obtido pela expressão (52) ou (54)

4.6.8 - Teste das Novas Variáveis de Controle

Se para alguma variável de controle a correção efetuada no passo anterior, implicar na violação de um dos limites estipulados, então a variável é ajustada ao limite correspondente.

Assim temos:

$$v_i^{\text{novo}} = \begin{cases} v_i^{\text{MAX}} & \text{se } v_i^{\text{velho}} - \alpha_V \cdot \nabla F_{V_i} > v_i^{\text{MAX}} \\ v_i^{\text{MIN}} & \text{se } v_i^{\text{velho}} - \alpha_V \cdot \nabla F_{V_i} < v_i^{\text{MIN}} \\ v_i^{\text{velho}} - \alpha_V \cdot \nabla F_{V_i} & \text{caso contrario} \end{cases}$$
$$PG_i^{\text{novo}} = \begin{cases} PG_i^{\text{MAX}} & \text{se } PG_i^{\text{velho}} - \alpha_{PG} \cdot \nabla F_{PG_i} > PG_i^{\text{MAX}} \\ PG_i^{\text{MIN}} & \text{se } PG_i^{\text{velho}} - \alpha_{PG} \cdot \nabla F_{PG_i} < PG_i^{\text{MIN}} \\ PG_i^{\text{velho}} - \alpha_{PG} \cdot \nabla F_{PG_i} & \text{caso contrario} \end{cases}$$

OBSERVAÇÃO:

Os gradientes diferentes de zero obtidos pa

ra as variáveis de controle em seus limites, expressam a sensibilidade da função objetivo com respeito a esses limites, e, consequentemente, o preço pago por respeitá-los.

5.1 - Características Principais do Programa

O programa possui a capacidade de gerar 100 soluções no andar 20 da torre, podendo ser utilizadas para gerar um fluxo de potência adequado ao andar 20, quando essa opção para a operação da geração de fluxo, a cada ciclo.

Pode ser utilizado para minimizar os preços de um sistema elétrico e, também, pode ser usado para definir, controlando as taxas das barragens, uma solução de operação que minimiza os custos associados para o consumo econômico.

O sistema pode ser facilmente adaptado para gerar o resultado de cálculo para outras funções objetivas, bem como para cálculo de custos associados ao fornecimento de energia.

5.0 - PROGRAMAÇÃO DIGITAL

Baseando-se no método apresentado e na aplicação descrita no item 4.0, foi elaborado um programa em linguagem Fortram IV, processado em um computador HP-2000.

Foi utilizada a estrutura de entrada e saída de dados de um programa de fluxo de potência elaborado por H.KRUEMPEL.

5.1 - Características Principais do Programa

- O programa atual tem a capacidade de resolver um sistema de até 20 barras, podendo ser usado para resolver um fluxo de potência simples ou então otimizado com opção para impressão dos resultados do fluxo, a cada ciclo.
- Pode ser utilizado para minimização das perdas de um sistema elétrico e, também, dos custos de produção, controlando as tensões das barras de geração e compensação e/ou as potências das usinas disponíveis para o despacho econômico.
- O programa pode ser facilmente ampliado para novas variáveis de controle e também outras funções objetivo, bem como para a solução de sistemas maiores se forem utilizadas as técnicas de esparsidade.

5.2 - Estrutura do Programa

O programa é composto do programa principal e de 11

subrotinas (a listagem de computador está mostrada no anexo II).

Foi incluído no programa principal o controle de reativo do fluxo de potência, o cálculo das novas variáveis de controle do fluxo ótimo e, também, o controle da sequência de cálculos processados pelas subrotinas.

A seguir é apresentada uma descrição sumária das principais funções de cada uma dessas subrotinas.

- SUBROTINA MATRY

Lê e imprime os dados de entrada do fluxo de potência e calcula a matriz Y_{BARRA} do sistema. A impressão dessa matriz é opcional.

- SUBROTINA RESUL

Calcula os fluxos de potência ativa e reativa nas linhas do sistema após os cálculos das tensões nas barras, e imprime os resultados desses fluxos.

- SUBROTINA JACOB

Calcula a matriz jacobiana do sistema na forma de equações polares.

- SUBROTINA IMJAC

Esta subrotina é usada, opcionalmente, para a impressão da matriz jacobiana e dos resíduos de potência ativa e reativa das barras, à cada iteração.

ção do fluxo.

- SUBROTINA REJAC

Calcula as correções dos módulos das tensões e ângulos nas barras do sistema através do processo de Gauss-Jordan com compensação pivotal.

Além disso, rearranja a matriz jacobiana de modo a eliminar os termos nulos da diagonal principal dessa matriz, que aparecem devido às derivadas parciais das potências reativas, das barras de tensão controlada, em relação às tensões dessas barras.

- SUBROTINA NOVOV

São calculados os módulos das tensões e ângulos nas barras a partir das correções obtidas na subrotina REJAC.

- SUBROTINA DFLOT

Lê e imprime os dados necessários para o processo de otimização.

- SUBROTINA DFDX

Subrotina destinada para o cálculo das derivadas parciais da função objetivo em relação às variáveis dependentes, e, também, da aplicação das penalizações quando necessário.

- SUBROTINA TRJAC

Subrotina para a transposição da matriz jacobiana.

- SUBROTINA GRDV

Calcula o gradiente das tensões nas barras de geração e compensação.

- SUBROTINA GRPG

Calcula o gradiente das potências de geração disponíveis para o despacho econômico.

OBSERVAÇÃO:

Para os resíduos de potência reativa das barras a serem corrigidas, é utilizada uma função de amortecimento, caso seja detetada uma oscilação em torno dos limites de reativo.

5.3 - PROCESSAMENTO DE DADOS

A entrada, o processamento e a saída dos dados estão sumariamente, descritos a seguir.

5.3.1 - Entrada de Dados

São fornecidos ao programa os seguintes dados:

- Parâmetros do sistema.

- Dados das cargas.
- Tolerâncias das potências ativa e reativa das barras.
- Limites máximos e mínimos das tensões e potências de geração.
- ⇒ - Coeficientes das funções de custo das usinas.
- Fatores de penalização de tensão e potência.
- Tolerância para os gradientes de tensão e potência.
- Fatores de correção das variáveis de controle (tensão e potência).
- Número máximo de iterações permitidas tanto para o fluxo de potência como para os ciclos de otimização.
- Número de barras do sistema.

Além desses dados são fornecidos também as opções para o processamento de um fluxo simples ou otimizado, podendo, neste caso, optar para a minimização de perdas do sistema ou então dos custos de produção das usinas. O programa permite, ainda, a escolha das variáveis de controle que se deseja trabalhar na otimização, V e/ou P.

5.3.2 - Processamento de Dados

A lógica do programa pode ser mais facilmente analisada através do fluxograma simplificado, mostrado no anexo III.

Salientamos que o programa pode ser melhorado

do pela introdução das técnicas de esparsidade, que vai permitir o aumento da capacidade do programa em resolver sistemas maiores (da ordem de 500 barras para o computador HP-2000).

Além disso, poder-se-á tirar proveito de algumas características particulares do método, evitando-se o cálculo da matriz jacobiana em todas iterações.

5.3.3 - Saída de Dados

O programa imprime os dados de entrada do fluxo de potência e também do fluxo ótimo, a medida que vão sendo lidos.

Quando se trabalha com a opção de fluxo de potência o programa encerra com a impressão dos resultados desse fluxo, tendo sido atingida ou não a convergência.

No caso de otimização também são impressos a cada ciclo os multiplicadores de Lagrange, os gradientes das variáveis de controle e as novas variáveis a serem utilizadas no próximo passo. O programa permite a impressão nestes ciclos, dos resultados do fluxo de potência se o usuário assim o desejar.

Quando se trabalha com a minimização dos custos de produção o valor da função objetivo é expresso em unidades monetárias (\$) enquanto que para a minimização das perdas o

valor é expresso em (MW). Evidentemente os multiplicadores de Lagrange e os gradientes das variáveis de controle são expressos de acordo com a função objetivo utilizada.

A baseia do método apresentado é a decomposição das principais restrições ativas, na forma de penas.

Portanto da estruturação completa do problema esta abstrada no momento

Pode ser verificado que a solução obtida corresponde à que o menor custo de fiação é alcançado com todos os critérios impostos.

O que é feito processando-se a matriz de transição maior que o custo no caso, e as restrições em forma de penas ao redor do menor princípio, para 1000 ciclos de otimização. São feitos 1000 ciclos de 5000 iterações cada uma. E fazendo-se uso da fórmula de convergência de 0,001, para uma melhor convergência. Desse modo, pode-se dizer que o custo do sistema depende da precisão das bases de cortejo, e que sua penalidade deve ser algoritmos de busca eficiente. Onde se apresenta um processo automatizado para o cálculo das bases.

6.0 - EXEMPLOS ANALISADOS

Os casos examinados tem por finalidade analisar e discutir os diferentes aspectos do método apresentado. Para isso foram preparados vários casos nos quais foram utilizadas as configurações dos sistemas mostrados no anexo IV, e o programa descrito anteriormente.

6.1 - Minimização dos Custos de Produção

A tabela do anexo V apresenta os casos analisados e os principais resultados obtidos, na minimização dos custos de produção.

A título de ilustração a saída completa do caso 4 está mostrada no anexo VI.

Pôde ser verificado, que o método funciona satisfatoriamente e que o ponto mínimo da função objetivo é atingido nas 5 à 8 primeiras iterações.

O caso 7 foi processado com um fator de correção α_V maior que o usado no caso 5, o que resultou em oscilações em torno do mínimo, principalmente, nos primeiros ciclos de otimização. Já o caso 8 foi testado com um fator de correção α_{PG} menor, resultando numa melhor convergência. Desse modo, pode-se ver que o sucesso do método depende da escolha dos fatores de correção, o que nos permite concluir que o algorítimo só é vantajosamente usado se apresentar um processo automático para o cálculo desses fatores.

Nesses casos foi verificado que a variável de controle PG_i tem melhor efeito que Vi, pois se trata de problema de minimização de custos de produção, o qual é mais sensível ao despacho econômico.

Os resultados obtidos para os casos 1, 3, 6 e 8 foram ainda comparados e conferidos com os resultados apresentados pelos artigos de Rashed-Kelly (6) e Sasson, Viloria, Aboytes (5) nos quais são usados os mesmos exemplos. Isso veio mostrar a validade e aplicabilidade do método empregado.

6.2 - Minimização das Perdas

Os casos e os resultados obtidos para a minimização de perdas estão mostrados na tabela do anexo VII.

A saída completa do caso 12 está mostrada no anexo VIII.

Foi verificado, também, que o método funciona satisfatoriamente para a minimização das perdas do sistema, obtendo-se o mínimo da função objetivo nas 5 à 8 primeiras iterações.

Nesse caso tanto a variável de controle tensão, como potência de geração, são significativas na minimização das perdas do sistema.

Também, nestes casos, foi verificado que o método depende dos fatores de correção, tendo sido observado através dos casos 13 e 15 que as oscilações em

torno do mínimo, ocasionados pelas oscilações das variáveis de controle, pode ser resolvida com a diminuição do fator de correção α_V .

A diminuição das perdas (em torno de 50%) na primeira iteração, constatada para os casos 12 e 14, foi devido ao despacho de uma fonte de geração, que havia sido "zerada" nos dados de entrada do fluxo de potência.

Os resultados obtidos para o caso 9, foram, também, comparados com os resultados apresentados pelo artigo de Rashed-Kelly (6) o que mostrou, novamente, a aplicabilidade do método.

6.3 - Casos Testes para a Função de Penalização da Potência Gerada na Barra de Compensação

A tabela do anexo IX mostra os resultados dos casos 16 à 23 nos quais foi analisada a funcionalidade do método de penalização da função objetivo, quando se deseja limitar a potência a ser gerada na barra de compensação.

O caso 16 mostra a potência gerada na barra de compensação (51.4 MW) para os limites estabelecidos de 80 e 30(MW) . Quando o limite mínimo (P_G^{MIN}) foi elevado para 60, casos 17 e 18, a potência obtida passou para 59.5 e 59.0, respectivamente. O caso 17 apresentou uma pequena oscilação (amortecida) o que não aconteceu com o caso 18, em que foi utilizado um fator de penalização menor. Os resultados obtidos para os casos processados para o sistema de 5

barras (19 à 23) levaram as mesmas observações.

Chamamos atenção para a divergência do caso 21, ocasionada pela utilização de um fator de penalização maior.

Desse modo, pode ser concluído que o método funciona desde que o fator de penalização seja convenientemente escolhido.

6.4 - Casos Testes para a Função de Penalização das Tensões das Barras de Carga

A tabela do anexo X mostra os resultados dos casos nos quais foram analisadas as funções de penalização para as tensões das barras de carga.

Foi convenientemente escolhido um sistema de 3 barras, com 1 barra de carga, para facilidade de apresentação.

Foi verificado, através de testes, que o método de penalização para as tensões das barras de carga funciona para qualquer sistema.

A desvantagem do método, de acordo com o que foi visto para o caso anterior, é que se deve ter um certo cuidado com a escolha dos fatores de penalização. Entretanto, os casos 25 e 26 processados com fatores de penalização 1000 e 2000 resultaram nas tensões de 1.011 e 1.006, respectivamente, o que veio mostrar que o método é mais fácil de ser aplicado para tensões do que para potência de geração da barra de compensação, quando não se deseja uma

precisão muito grande nos resultados.

O caso 29 processado com um fator de penalização igual a 10000 mostrou que o processo diverge para um fator muito grande, enquanto que o caso 27 veio mostrar que o limite não é respeitado para um fator muito pequeno(10).

Os resultados dos casos 24, 26 e 27 foram representados em um gráfico, mostrado no anexo XI. As curvas representam os níveis de perdas do sistema com relação às tensões da barra de compensação V_1 e de geração V_2 . As linhas (cheia, traço-traço e traço-ponto) representam os caminhamentos, nos três casos, das soluções em direção ao ponto de perdas mínimas do sistema. Esse gráfico permitiu-nos as seguintes observações:

- O processo depende dos fatores de correção α , isto é, a escolha incorreta pode gerar oscilação em torno do mínimo ou então a lentidão do processo.
- A solução caminha em direção contrária dos gradientes.
- Os caminhamentos obtidos para os três casos, apresentaram direções diferentes no início do processo, em razão dos diferentes fatores da penalização. Observa-se, entretanto, que a partir do ponto B as soluções dos casos 24 e 27 caminham na mesma direção, o mesmo acontecendo para o caso 26 a partir de A, quando a tensão da barra de carga já não mais viola o limite inferior.

Os pontos A, B e O indicam os pontos de solução dos três casos 26, 27 e 24, respectivamente. Para o ponto A a tensão da barra V_3 ficou em 1.006 (PU) enquanto que em B obtivemos 1.057 (PU), o que veio mostrar a influência do valor de penalização no resultado final.

7.0 - COMENTÁRIOS FINAIS E CONCLUSÕES

O trabalho apresentou uma visão prática do problema de fluxo de potência ótimo, com a minimização dos custos de produção e das perdas de um sistema elétrico de potência.

O método utilizado permitiu a solução completa e exata do problema, em que as restrições das variáveis dependentes foram consideradas através de funções de penalização.

Do ponto de vista de aplicação o método é bastante atrativo, pois permite a definição de outras funções de otimização, inclusive com restrições de segurança, e também, a utilização de outras variáveis de controle, como por exemplo, comutadores sob carga de transformadores.

Além disso, os resultados obtidos foram bastante satisfatórios quanto à precisão e também ao reduzido número de iterações necessárias.

De acordo com o artigo de TINNEY-DOMMEL referência (1) pode ser dado as seguintes interpretações aos multiplicadores de Lagrange, e aos componentes dos gradientes diferentes de zero no ponto de mínimo:

Os multiplicadores de Lagrange medem a sensibilidade da função objetivo com respeito ao consumo ou a geração de cada barra do sistema.

Os componentes dos gradientes diferentes de zero das variáveis de controle, em seus limites, medem a sensibilidade da função objetivo com respeito à esses limites.

Assim sendo, esses fatores podem ser úteis em estudos de tarifas, como também, na definição das características dos elementos de um sistema de potência.

O programa digital apresentado pode ser melhorado com a utilização das técnicas de esparsidade, que vão permitir a ampliação de sua capacidade em resolver sistemas maiores (500 barras - HP-2000) e com tempos de processamento bastante reduzido.

Alem disso, deverá ser usado um processo adequado para o cálculo dos fatores de correção das variáveis de controle, e, também, para a aplicação das funções de penalização, de modo que se permita a variação dos fatores de penalização durante o processamento.

A implementação do método é simplificada quando se dispõe de um programa de fluxo de potência resolvi do pelo processo de Newton-Raphson.



8.0 - REFERÊNCIAS

1. W.F.TINNEY, H.W.DOMMEL
"Optimal Power Flow Solutions"
IEEE - TRANS - PAS - OUTUBRO 1968 - página 1866.
2. W.F.TINNEY, C.E.HART
"Power Flow Solution by Newton's Method"
IEEE - TRANS - PAS - NOVEMBRO 1967 - página 1449.
3. A.M.SASSON, F.ABOYTES,R.CARDENAS, F.GOMEZ, F.VILORIA
"A comparison of Power Systems Static Optimization Techniques"
Apresentado no PICA - CONFERENCE, MAIO - 1971 - BOSTON.
4. A.M.SASSON
"Non-linear programming solutions for the load flow, minimum loss and economic dispatching problems"
IEEE - TRANS - PAS - ABRIL 1969 - página 399.
5. A.M.SASSON, F.VILORIA, F.ABOYTES
"Optimal Load Flow Solution Using the Hessian Matrix".
Apresentado no PICA - CONFERENCE - MAIO - 1971 - BOSTON.
6. A.M.RASHED, D.H.KELLY
"Optimal Load Flow Solution Using Lagrangian Multipliers and the Hessian Matrix"
IEEE - TRANS - PAS - SETEMBRO/OUTUBRO - 1974 - página 1292.

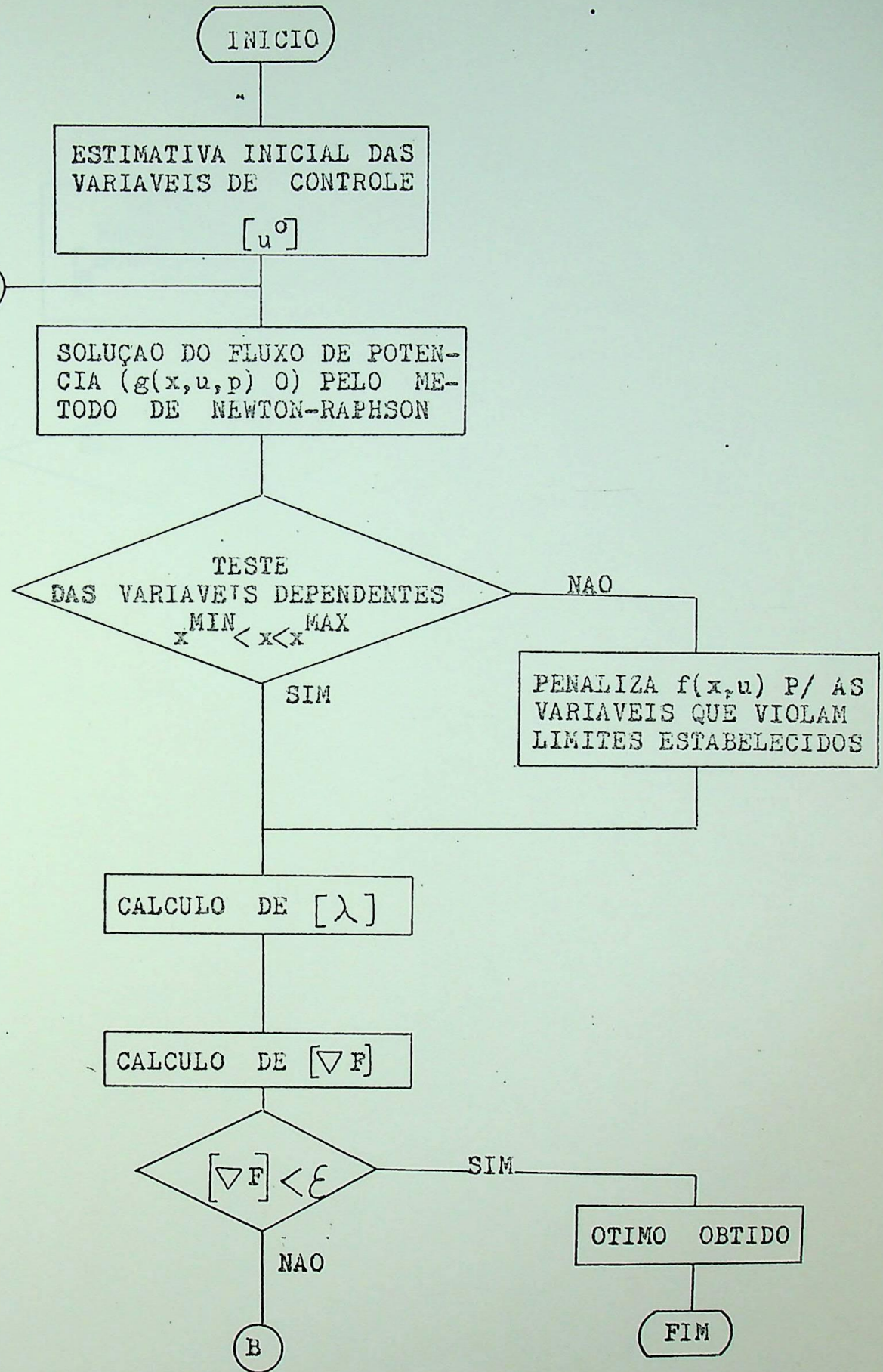
- X
7. H.H.HAPP
"Optimal Power Dispatch - A Comprehensive Survey"
IEEE - TRANS - PAS - MAIO/JUNHO - 1977.
8. J.PESCHON, O.S.PIERCY, W.F.TINNEY, O.D.TVEIT, M.
CUENOD
"Optimum Control of Reactive Power Flow"
IEEE - TRANS - PAS - JANEIRO - 1968.
9. A.H.EL-ABIAD, F.J.JAIMES
"A Method For Optimum Scheduling of Power And
Voltage Magnitude"
IEEE - TRANS - PAS - ABRIL - 1969
10. G.DAUPHIN, D.FEINGOLD, G.SPOHN
"Methods of Optimizing The Production Of
Generating Stations Of A Power Network"
Apresentado no PICA - CONFERENCE - 1967 -
PITTSBURGH.
11. J.F.DOPAZO, O.A.KLITIN, G.W.STAGG, M.WATSON
"An Optimization Technique For Real And Reactive
Power Allocation"
IEEE - PROC - NOVEMBRO - 1967.
12. J.CARPENTIER
"Contribution to The Economic Dispatch Problem"
Bull - Soc. Franc - Eletriciens - AGOSTO - 1962.
13. L.L.FRERIS, A.M.SASSON
"Investigation of The Load Flow Problem"
IEE - PROC. - OUTUBRO - 1968.

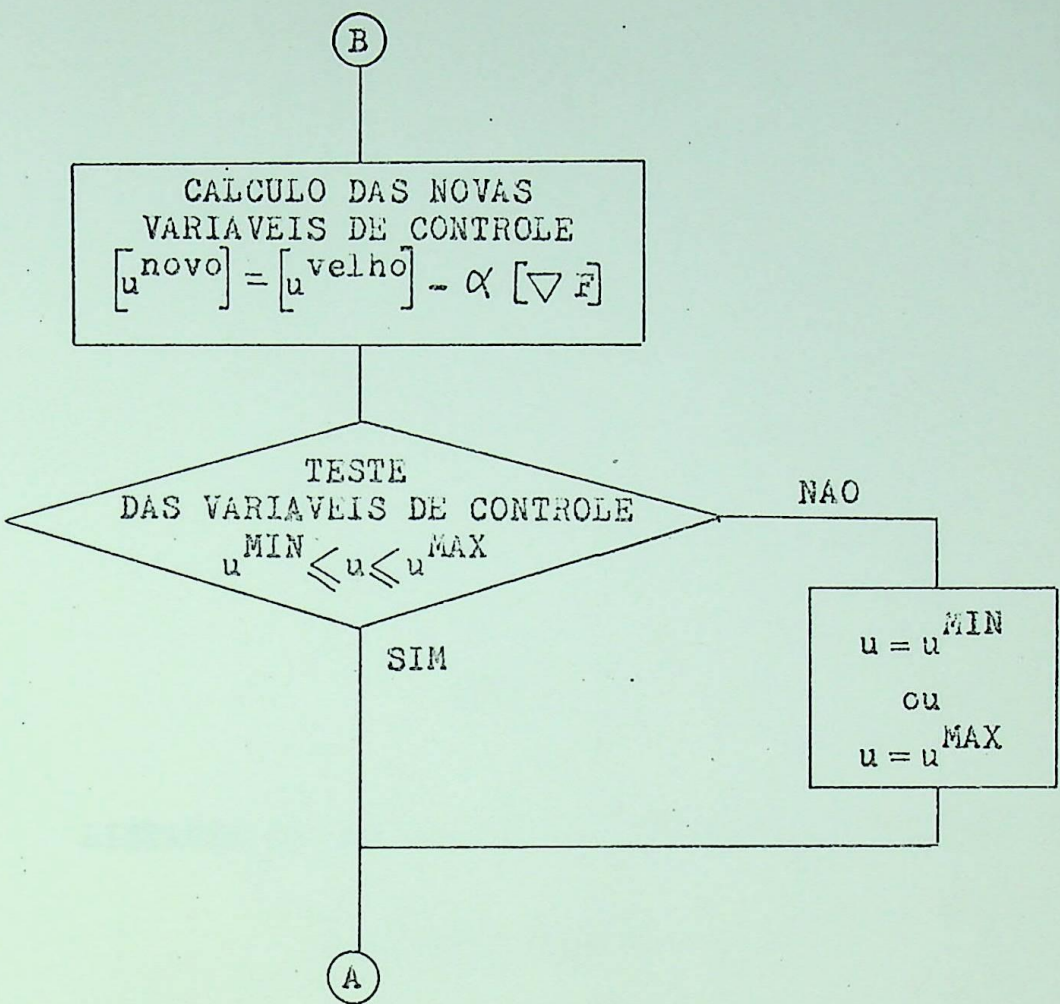
14. R.BILLINTON, S.S.SACHEDEVA
"Real and Reactive Power Optimization by Suboptimum techniques"
IEEE - TRANS - PAS - MAIO/JUNHO - 1973.
15. A.M.SASSON, H.M.MERRILL
"Some Applications of Optimization Techniques to Power Systems Problems"
IEEE - PROC. - VOL.62, Nº 7, 1974.
16. J.B.WARD, H.W.HALE
"Digital Computer Solution of Power Flow Problems"
IEEE - TRANS - PAS - JUNHO - 1956.
17. R.L.SULLIVAN
"Power System Planning"
Mc-Graw - Hill - 1977.
18. S.S.SACHEDEVA
"Otimização da Operação de Sistemas"
Universidade Federal da Paraíba - Escola Politécnica - Campina Grande.
19. H.E.BROWN
"Solutions of Large Networks by Matrix Methods"
John Wiley & Sons, Inc. 1975.
20. O.I.ELGERD
"Electric Energy Systems Theory: An Introduction"
Mc-Graw - Hill - 1971

21. S.W.STAGG, A.H. EL-ABIAD
"Computer Methods in Power System Analysis"
New York, Mc-Graw - Hill, 1968.
22. L.K.KIRCHMAYER
"Economic Operation of Power Systems"
John Wiley & Sons, INC - 1958.
23. N.PISKUNOV
"Differential And Integral Calculus"
Mir Publishers - Moscow.
24. W.F.B'RELLS, N.D.REPPEN, R.J.RINGLEE, J.M.UNDRILL
"Scheduling and Economic Operations"
PTI - Course Notes - JUNHO - 1974.
25. W.D.STEVENSON
"Elements of Power System Analysis
Mc-Graw - Hill - 1962.
26. G.R.WALSH
"Methods of Optimization"
John Wiley & Sons - 1975.
27. A.O.CONVERSE
"Optimization"
Holt, Rinehart And Winston, INC - 1970.
28. F.A.M.MACHADO
"Fluxo de Carga Otimizado- Um Modelo utilizando
Programação Geométrica"
Estudo Interno OT/ES-002

ANEXO I

ALGORITIMO DE SOLUÇÃO DO MÉTODO GRADIENTE





ANEXO II

LISTAGEM DE COMPUTADOR DO PROGRAMA DIGITAL EM
LINGUAGEM FORTRAN IV

FTN4,L

PROGRAM NEWFL
PROGRAMA-FPO-MARCELLO L. CORREA P0/ES4 CB-801

C PROGRAMMA-DIMENTO DAS MATRIZES E VETORES

C COMMON PL((20,20,2),P(20,2),E(20,2),AC(20,20),EJ(40,40))
C COMMON B(20,20,2),G(20,20),RN(20),A(20),CK(38),XX(38)
C COMMON RPI(20),PI(20),VE(20),PA(20,2),QSH(20),PC(20),QC(20),Q(20)
C COMMON CA(20),CB(20),CC(20),PG(20),PGMX(20),PGMN(20),VN(20)
C COMMON SA(20),SV(20),SP(20),SQ(20),ST(20),TETA(20),VARY(6)
C COMMON NAME(20,4),LOC(38),KT(20),KC(20),KF(20),IFPOT(10)
C COMMON TOR,TOI,TOV,BASE,Z,ANG,AH,BM

C COMMON X*L,NV,KK,NCAS,JAC,MY,NA,IS,VASE,LE,IMPR
C CODICOS DAS LEITORAS E IMPRESSORAS HP E IBM
LE=5

LE=7

TYPRE=6
0016 C LE NUMERO DE CASOS E CODICOS P / IMPRESSAO DO JACOBIANO E MATRIZ Y C 60
0017 C READ(LE,900) NCAS,JAC,MY

0018 C READ(LE,900)

0019 C NCAS = NUMERO DE CASOS

0020 C JAC=1 IMPRIME JACOBIANO

0021 C JAC=0 NAO IMPRIME JACOBIANO

0022 C MY=1 IMPRIME MATRIZ Y

0023 C MY=0 NAO IMPRIME MATRIZ Y

0024 C

0025 C

0026 900 FORMAT(3I12)

0027 DO 55 VASE=1,NCAS

0028 READ(LE,5000)(IFPOT(I),I=1,10),(VARY(I),I=1,6)

0029 5000 FORMAT(10I2,6F10.5)

0030 CALL MATRY

0031 IF(IFPOT(I).EQ.1) GO TO 5001

0032 GO TO 700

0033 KV=0

0034 IFM=0

0035 CALL DFLOT

0036 C SELECAO DAS VARIAVEIS DE CONTROLE

0037 C TESTES DAS VARIAVEIS DE CONTROLE

0038 C CALCULO DOS DELTAS DE P,Q

0039 700 NV = 0

0040 DO 5199 I=1,NA

0041 5199 KF(I)=0

0042 50 CONTINUE

0043 N=2*NA

0044 DO 436 I=1,N

0045 DO 436 J=1,N

436 EJ(I,J)=0.

0046 DO 5200 I=1,NA

0047 KC(I)=0

0048 K=1

0049 L=2

C5 ACR,ACI E AVR = MISMATCHES DE POT ATIVA,POT REAT E TENSAO RESPECT.

0052 ACR=0.

0053 ACI=0.

0054 AVR=0.

0057 C3
 0058 C3
 0059 C4
 0060 C
 0061 2 AM=0.
 0062 BY=0.
 0063 C CALCULO DAS CORRENTES DE BARRA
 0064 DJ 4 J=1 YA
 0065 AM=E(I,J)*G(I,J)+E(J,L)*B(I,J)+AM
 0066 4 3 Y = E(J,L)*G(I,J)-E(J,K)*B(I,J)+BM
 0067 C CALCULO DAS POTENCIAS DAS BARRAS
 PA(I,K)=E(I,K)*AM+E(I,L)*BM
 PA(I,L)=E(I,L)*AM-E(I,K)*BM
 0068 6 N= I+NA-2
 0069 M=I-1
 0070 6 NA=2*NA-1
 0071
 0072 C CALCULO DOS DELTAS P,3 DAS BARRAS DE CARGA
 0073 C — EJ(M,J)=P(I,K)-PA(I,K)
 0074 D12=ABS(EJ(M,J))
 0075 IF(D12>ST.ACR) ACR=D12
 0076 IF(KT(I).EQ.0) GO TO 419
 0077 0078 60 TO 424
 0079 EJ(N,J)=P(I,L)-PA(I,L)
 0080 421 DIA=ABS(EJ(N,J))
 0081 IF(DIA.GT.AC1) AC1=DIA
 0082 60 TO 5
 0083 420 EJ(N,J)=0.
 KC(I)=0
 0084 AM=VE(I)-SQRT(E(I,K)**2+E(I,L)**2)
 0085 DIR=ABS(AM)
 0086 IF(DIR.GT.AVR) AVR=DIR
 0087 0088 60 TO 5
 0089 424 IF(PA(I,L)-RPM(I))422,422,423
 0090 422 IF(PA(I,L)-RPI(I))425,420,420
 0091 425 CONTINUE
 0092 IF((KF(I)*LT*4) GO TO 440
 0093 FA=(FLOAT(NV)/20.)*0.5
 0094 IF(FA.GT.1.) GO TO 440
 0095 EJ(N,J)=(RPI(I)-PA(I,L))*FA
 KC(I)=2
 0096 0097 60 TO 421
 0098 440 EJ(N,J)=RPI(I)-PA(I,L)
 0099 KC(I)=2
 0100 60 TO 421
 0101 423 CONTINUE
 0102 IF(KF(I)*LT*4) GO TO 441
 0103 PA=(FL*AM(NV)/20.)*0.5
 0104 ((IF(FA.GT.1.) GO TO 441
 0105 EJ(N,J)=(RPM(I)-PA(I,L))*FA
 KC(I)=1
 0106 0107 GO TO 421
 0108 441 ((EJ(N,J)=RPM(I)-PA(I,L))
 0109 KC(I)=1
 0110 60 TO 421

```

0113 IF((JAC.EQ.1).AND.WRITE(I4PQR,2000)ACR,ACI,AVR
0114 *FORMAT(//,50X,SHACR = ,E13.6,/,50X,6HACI = ,E13.6,/,50X,6HAVR = ,
0115 *E13.6)
0116 IF((ACR-TOR)>12,12,181
0117 12 IF((ACI-TOR)>14,14,181
0118 14 IF((AVR-TOR)>180,180,181
0119 180 IF((V.EQ.0)) GO TO 5107
0120 IF((IFPO(5).EQ.1)) GO TO 5107
0121 GO TO 5115
0122 5107 WRITE(I4PQR,1011) H
0123 5115 CALL RESUL
0124 IF(IFM.EQ.1) GO TO 55
0125 5106 IF(IFPO(1).EQ.0) GO TO 55
0126 GO TO 5002
0127 181 IF((VV-IFPUT(9))>13.705,705
0128 705 WRITE(I4PQR,1011)
0129 WRITE(I4PQR,799)
0130 799 FORMAT(4X,524***CASO NAO CONVERGE PARA O NUMERO DE ITERACOES DADO)
0131 IFPO(5)=1
0132 CALL RESUL
0133 GO TO 55
0134 13 CONTINUE
0135 CALL JACOB
0136 NV=NV+1
0137 CALL IMJAC
0138 CALL REJAC
0139 IF((IS.EQ.1000)) GO TO 55
0140 CALL NOVOV
0141 GO TO 50
0142 5002 PG(1)=P(1,1)+PC(1)
0143 CALL DFDX
0144 CALL JACOB
0145 CALL TRJAC
0146 CALL REJAC
0147 IF((IS.EQ.1000)) GO TO 55
0148 IF((VV.EQ.0)) WRITE(I4PQR,1011)
0149 IF((VV.EQ.1)) IFPO(10)) GO TO 55
0150 AM=VARV(6)
0151 IF((IFPO(2).EQ.1)) GO TO 5051
0152 AM=0.
0153 DO 5021 I=1,VA
0154 AM=AM+CA(I)*C3(I)*PG(I)+CC(I)*(PG(I)**2)
0155 GJ TO 5250
0156 5051 WRITE(I4PQR,1000)V,V,AM
0157 5100 FORMAT(//,9X,10-ITERACAO =,12X,I2,/,9X,17HFINCAO ) J3JF FIVO =
0158 *F13.3,54 (MV) //,9X,5HBARRA,9X,4HNAME,10X,BHLAMBD A Q
0159 ~ ,7X,11HGRADIENTE V,5X,11-GRADIENTE P,9X,6HNOVO V,7X,6HNOVO P,/,,
0160 *37X,7HHW/24W,7X,9HHW/PUMVAK,3X,6H4W/24W,11X,7HHW/24W,13X,24PU,
0161 *10X,2H4W,/
0162 GO TO 5260
0163 5250 WRITE(I4PQR,5270)V,V,AM
0164 5270 FORMAT(//,9X,10-ITERACAO =,12X,I2,/,9X,17HFUNCAO 3.3JETIVO =,
0165 *F13.3,54 (S) //,9X,5HBARRA,9X,6HNAME,10X,BHLAMBD A Q
0166 ~ ,7X,11HGRADIENTE P,9X,6HNOVO V,7X,6HNOVO P,/,,
0167

```

3200
A1-20.
0170 IF(IFPOT(3).EQ.0) GO TO 5013
0171 CALL GRDV
0172 AM=ABS(RM(I))
0173 DO 5005 I=2,NA
IF(ABS(RM(I)).LT.AM) GO TO 5005
AM=ABS(RM(I))

0174 5005 CONTINUE
0175 IF(AM.LE.VARV(1)) GO TO 5013
0176 DO 5006 I=1,NA
SA(I)=RM(I)
IF((KT(I).LE.0.AND.I.NE.IS) GO TO 5003
ANG=ATAN(E(I,L)/E(I,K))
R1(I)=SQRT(E(I,K)*2+E(I,L)*2+VARV(2)*RM(I)
0182 IF(RM(I).LT.VY(I)) RY(I)=VN(I)
0183 IF(RM(I).GT.VX(I)) VX(I)=VX(I)
0184 IF(RM(I).GT.VX(I)) RY(I)=VX(I)
0185 IF(I.GT.1) GO TO 5007
0186 E(I,K)=RM(I)
0187 GO TO 5006
0188 5007 E(I,K)=RM(I)*COS(ANG)
E(I,L)=RM(I)*SIN(ANG)
0189 0190 VE(I)=RM(I)
0191 GO TO 5006 K
0192 5003 RM(I)=SQRT(E(I,K)*2+E(I,L)*2)
0193 5006 CONTINUE
0194 5013 IF(IFPOT(4).EQ.1) GO TO 5324
0195 5013 IF(IFPOT(4).EQ.1) GO TO 5324
0196 DO 5325 I=1,NA
0197 A(I)=0.
0198 GO TO 5025
0199 5324 CALL GPKG
0200 0200 B4=ABS(A(2))
0201 DO 5014 I=3,NA
IF(ABS(A(I)).LT.B4) GO TO 5014
0202 B4=ABS(A(I))
0203 5014 CONTINUE
0204 IF(BM.LE.VARV(3)) GO TO 5025
0205 DO 5015 I=2,NA
0206 P(I,1)=P(I,1)+VARV(4)*A(I)
0207 P(I,1)=P(I,1)+PC(I)
0208 PG(I)=P(G(I)+PC(I))
0209 IF(PG(I).GT.PGMX(I)) 30 TO 5016
0210 IF(PG(I).LT.PGMN(I)) 30 TO 5017
0211 GO TO 5015
0212 P3(I)=PGMX(I)
0213 P(I,1)=P3(I)-PC(I)
0214 GO TO 5015
0215 P5(I)=PGMN(I)
0216 P(I,1)=P5(I)-PC(I)
0217 5015 CONTINUE
0218 5025 CONTINUE
0219 IF(AM.LE.VARV(1).AND.B4.LE.VARV(3)) IF4=1
IF(IFM.EQ.1) IFPOT(5)=1
0220 DO 5008 I=1,NA
0221 P(I,1)=P(I,1)/BASE
0222

0225 IF((IWM.EQ.1) GO TO 5322
0226 421TE(I4PR,5103) I.,(40ME:IS,J),J=1,4),SA(IS),RM(IS)
0227 5103 FORMAT(11X,I2,3X,^{1A4},_{1A4},1H-*13X,1I-,12X*FB.3,13X,1I-*14X,F6.4,
0228 *9X,1H-)
0229 JJ=0
0230 N=2*NA-1-KK
0231 M=NA-1
0232 D0 5110 I=1,4
0233 J=I+1
0234 IF(<T(J).EQ.0) GO TO 5111
0235 IF(<C(J).EQ.1) GO TO 5111
Z=0.
0236
0237 JJ=JJ+1
0238 GO TO 5113
0239 MM=I+1-JJ
0240 Z=<J(MM,N)
0241 5113 WRITE(I4PR,5112) J,(40ME(J,II),II=1,4),EJ(I,N),Z,SA(J),A(J),RM(J),
*PG(J)
0242
0243 5110 CONTINUE
0244 5112 FORMAT(11X,I2,9X,4A2,8X,F8.3,6X,F8.3,8X,F8.3,9X,F8.3,11X,F6.4,
*6X,F8.2)
0245
0246 GO TO 5329
0247 5322 WRITE(I4PR,5328)
0248 FORMAT(//,40X,41HC A S O O T I M I Z A D O)
0249 KV=<Y+1
0250 IFPOT(8)=1
0251 IF(<V,E3.IFPO(10)) IFPOT(5)=1
0252 GO TO 700
0253 55 CONTINUE
0254 1011 FORMAT(1H1,5X)
0255 STOP
0256 END

** NO ERRORS**

PROGRAM = 02587 COMMON = 08740

C 3990
C 4020
C 4030

```

0257      SUBROUTINE MATRY
0258      COMMON PL(20,20,2),P(20,2),E(20,2),AC(20,20),EJ(40,40)
0259      COMMON B(20,20),G(20,20),RM(20),A(20),CK(38),XX(38)
0260      COMMON RPM(20),RPI(20),VE(20),PA(20,2),QSH(20),PC(20),QC(20),Q(20)
0261      COMMON CA(20),CB(20),CC(20),PG(20),PGMX(20),GMN(20),VX(20),VN(20)
0262      COMMON SA(20),SV(20),SP(20),SQ(20),ST(20),TETA(20),VARV(6)
0263      COMMON YOHE(20,4),LOC(38),KT(20),KC(20),KF(20),IFPOT(10)
0264      COMMON TOR,TOI,TOV,BASE,Z,ANG,AM,BY
0265      COMMON K,L,NV,KK,NCAS,JAC,MY,NA,IS,NASE,LE,IMPR
0266      C SUBROTINA PARA LEITURA DOS DADOS DO SISTEMA E FORMACAO DA MATRIZ Y
0267      READ (LE,901) N,IS,TOR,TOI,TOV,BASE
0268      C LE N = NUMERO DE BARRAS
0269      C LE IS= NUMERO DE BARRA SWING
0270      C LE TOI=TOLERANCIA POTENCIA ATIVA (PU)
0271      C LE TOI=TOLERANCIA POTENCIA REATIVA (PU)
0272      C LE TOV=TOLERANCIA TENSAO (PU)
0273      C LE BASE=POTENCIA BASE EM MVA
0274      C 901 FORMAT(2X,2(12,2X),4(F6.0,2X))
0275      NA=N
0276      WRITE (IMPR,800) NASE,IS,TOR,TOI,TOV,BASE
0277      800 FORVAT(1H1,/,22X,81HD A D O S D E E N T R A D A P A R A 0
0278      * F L U X O D E P O T E N C I A ,//,/5X,11HCASO NUMERO,12,
0279      * //9X,20HBARRA COMPENSACAO = ,12/9X,15HP T
0280      *OLERANCIA = ,F10.6/9X,15HQ TOLERANCIA = ,F10.6/9X,15HV TOLERANCIA
0281      *=,F10.6/9X,11HBASE QVA = ,F10.2//)
0282      WRITE (IMPR,820)
0283      820 FORMAT(40X,254D0)DOS DE LINHA EM ( P. U. ) ./ /7X,5HRRARRA:3X,4H4OME,3X
0284      *,5HBARRA,3X,4H4OME,6X,11HRESISTENCIA,5X,9HREATANCIA,5X,12HSUSCERTA
0285      *NCIA,5X,12HTAPES(TRAFO),/),
0286      D0 652 I = 1,NA
0287      C LE DADOS DE BARRA
0288      READ(LE,648) KT(I),(NAME(I,K),K=1,4),E(I,1),PG(I),3(I),RPI(I),RPM(I)
0289      *),PC(I),QC(I),QSH(I)
0290      P(I,1)=PG(I)-PC(I)
0291      P(I,2)=Q(I)-QC(I)
0292      RPM(I)=RPM(I)-QC(I)
0293      -RPI(I)=RPI(I)-QC(I)
0294      C LE KT =CODIGO TIPO DE BARRA
0295      C KT = 0 BARRA DE CARGA E SWING
0296      C KT = 1 BARRA DE GERACAO
0297      C LE NAME= NOME DA BARRA
0298      C LE E = MODULO DA TENSAO (PU)
0299      C LE P= POTENCIA ATIVA E REATIVA (GERACAO-CARGA) (MW E MVAR)
0300      C LE QSH=CAPACITOR (+) E REATOR (-) (MVAR)
0301      C LE RPM=LIMITE MAXIMO DE GERACAO DE POTENCIA REATIVA (MVAR)
0302      C LE RPI=LIMITE MINIMO DE GERACAO DE POTENCIA REATIVA (MVAR)
0303      C 648 FORMAT(7X,I1,1X,4A2,5X,F4.3+4X,4F5.0,5X,3F5.0)
0304      C E(I,2) = .0001
0305      C IF(I KT(I)*GE.1) VE(I)=E(I,1)
0306      C ZERA MATRIZ Y
0307      C DO 652 J = 1,NA
0308      C G(I,J)=0.0

```

```

0313      READ(LE,902)J,K,R,X,ACB,TAP
0314      C J,K= NRO DAS BARRAS TERMINAIS
0315      C R= RESISTENCIA (PU)
0316      C X= REATANCIA (PU)
0317      C ACB= SUSCEPTANCIA (PU)
0318      C TAP=TAPES DOS TRANSFORMADORES (BARRA DO LADO TAP VARIAVEL J) C 471
0319      IF (R.EQ.99999.) GO TO 654
0320      902 FORMAT(1I4,4X,14,5X,2F6.0,F6.0,F5.3)
0321      R=R/100.
0322      X=X/100.
0323      ACB=ACB/2ASE
0324      WRITE(1MPR,821)J,(NOME(J,JJ),JJ=1,4),K,(NOME(K,KK),KK=1,4),R,X, C 490
0325      821 FORMAT(7X,2(3X,12,2X,4A2),2F14.5,1X,2F15.5)
0326      FORMACAO DA QATRIZ Y
0327      Z= R*R + X*X
0328      GS = R/Z
0329      G(J,K) = S(J,K) + 66
0330      G(I,K) = G(J,K) - GS
0331      G(K,J) = G(I,K) - GS
0332      BB = -X/Z
0333      IF (TAP.GT.0.0) GO TO 650
0334      B(J,K) = B(J,K) + BB
0335      B(K,J) = B(J,K)
0336      AC(J,K) = AC(J,K)+ACB/2.
0337      AC(K,J) = AC(J,K)
0338      GO TO 653
0339      C CONSIDERACAO TAPES DOS TRANSFORMADORES
0340      B(J,K)=B(J,K) + BB/TAP
0341      B(K,J)=B(J,K)
0342      AC(J,K) = 33 * ((1./TAP**2)) - (1./TAP)*AC(J,K)
0343      AC(K,J) = 33 * (1.-(1./TAP))*AC(K,J)
0344      653 CONTINUE
0345      654 WRITE(1MPR,804)
0346      804 FORMAT(1H1,/,.50X,14-HDADOS DE BARRA,/,18X,20HBARRA DE COMPENSACAO,
0347      * /,18X,5HBARRA,5X,4HNAME,7X,6HTENSAO,/,40X,6HP,U.,/)
0348      703 WRITE(1MPR,805)IS,(NOME(IS,II),II=1,4),E(IS,1)
0349      805 FORMAT(21X,I2,2X,4A2,5X,F9.5)
0350      WRITE(1MPR,806)
0351      806 FORMAT(//,18X,17HBARRAS DE GERACAO,/,18X,5-ZARRA,6X,4HNAME,
0352      * 7X,5HTENSAO,6X,7HP,ATIVA,7X,11HP,REAT(MAX),5X,11H0,REAT(MIN),/
0353      * 40X,6H(P,J.),3X,4H(W),10X,6H(WVAR),10X,6H(WVAR),/ )
0354      DO 704 I=1,N
0355      A=M=2PM(I)+QC(I)
0356      B=M=2PI(I)+QC(I)
0357      IF (KT(I).GT.0) WRITE(1MPR,807)I,(NOME(I,II),II=1,4),VE(I),PG(I),
0358      *AM,BM
0359      807 FORMAT(21X,I2,2X,4A2,5X,F9.5,4X,F9.3,2(7X,F9.3))
0360      704 CONTINUE
0361      WRITE(1MPR,808)
0362      808 FORMAT(//,16X,15HBARRAS DE CARGA,/,18X,5-FAZER,6X,4HNAME,
0363      *7X,5ATE540,6X,7HP,ATIVA,9X,9-2P,REATIV4,E,1,1CHREAT/CAPAC,/,
0364      *40X,6H(P,U.),6X,4H(W),12X,6H(WVAR),8X,6H(WVAR),/ )
0365      DO 706 I=1,N
0366      WRITE(1MPR,807)I,(NOME(I,II),IJ=1,4),E(I,I),PC(I),3C(I),QS4(I)

```

```

0369 SUMR=0.
0370 SUMT=0.
0371 QSM(I) = 2SM(I)/BASE
0372 RSM(I) = R2M(I)/BASE
0373 RPI(I) = RPI(I)/BASE
0374 P(I,I) = P(I,I)/BASE
0375 P(I,2) = P(I,2)/BASE
0376 DO 151 J=1,NA
0377 SUMT=G(I,J)+SUMT
0378 151 SUMR = 3(I,J) + AC(I,J) + SUMR
0379 150 G(I,I) = SUMT
0380 B(I,I) = -2SM(I) - SUMR
0381 DO 152 I=1,NA
0382 DO 152 J=1,NA
0383 IF (J.LE.I) GO TO 152
0384 G(I,J)=-G(I,J)
0385 G(J,I)=G(I,J)
0386 152 CONTINUE
0387 IF (MY.EQ.0) RETURN
0388 WRITE(IWPR,801)
0389 801 FORMAT(1H1,//45X,30-HYATRIZ ADMITANCIA (CONJUGADA )//)
0390 DO 702 I=1,N
0391 WRITE(IWPR,B02) I, (G(I,J),J=1,N)
0392 802 FORMAT(5X,12.3X,10(F11.5),/,10(10X,10F11.5,/))
0393 WRITE(IWPR,B03) (B(I,J),J=1,N)
0394 803 FORMAT ('.',10X,10(F11.5),/,10(10X,10F11.5,/))
0395 702 WRITE(IWPR,851)
0396 851 FORMAT(//)
0397 RETURN
0398 END

```

** NO ERRORS** PROGRAM = 01959 COMMON = 08740

0399 SUBROUTINE RESUL

```

0400 COMMON PL(20,20,2),P(20,2),E(20,20),AC(20,20),EJ(40,40)
0401 COMMON 3(20,20),G(20,20),RM(20),A(20),CX(38),XX(38),
0402 COMMON RPI(20),RPI(20),VE(20),PA(20,2),3SH(20),QC(20),Q(20)
0403 COMMON CA(20),C3(20),CC(20),PG(20),PSVX(20),PSVN(20),VX(20),
0404 COMMON SA(20),SV(20),SP(20),SO(20),ST(20)*TEA(20),VARY(6)
0405 COMMON VOLE(20,4),LOC(38),KT(20),KC(20),KF(20),IFPOT(10),
0406 COMMON T03,T01,T02,BASE,Z,ANG,AU,B4
0407 COMMON L,V,V,K,YCAS,JAC,MY,NA,IS,YASE,LE,IMPR
0408 C - SUBROTINA P424 CALCULO DOS FLUXOS NAS LINHAS E IMPRESSAO DOS RESULTADOS
0409 IF(IFPOT(8)=E3) GO TO 210
0410 IF(IFPOT(5)=E2) GO TO 210
0411 GO TO 220
0412 210 WRITE(IMPR,500) NV
0413 500 FORMAT(///,5X,2I,4NUMERO DE ITERACOES =,I3/)
0414 C CALCULO DAS POTENCIAS NAS LT E PERDAS NO SISTEMA
0415 220 PPA=0.

```

```

0416 PPR = 0.
0417 DO 100 I = 1,44
0418 SAT=0.0
0419 SAD=0.0
0420 C6 RM = MODULO DA TENSAO - A = ANGULO DA TENSAO (GRAUS)
0421 RM(I)=SQRT(E(I,K)**2+E(I,L)**2)
0422 ANG=ATAN(E(I,L)/E(I,K))
0423 A(I)=ANG*180./3.14159265
0424 QSH(I) = (-2SH(I)*RW(I)**2)*BASE
0425 DO 52 J=1,NA
0426 IF((I-J)>63,62,63
0427 PR=E(I,L)*E(J,K)-E(J,L)*E(I,K)
0428 PQ=E(I,K)**2-E(I,J)*E(J,K)+E(I,L)**2-E(I,L)*E(J,L)
0429 PL(I,J,K) = -PM*G(I,J)-PR*B(I,J)
0430 PL(I,J,L) = -PV*B(I,J)+PR*G(I,J)-(E(I,K)**2+E(I,L)**2)*AC(I,J)
0431 PL(I,J,K) = PL(I,J,K)*BASE
0432 PL(I,J,L) = PL(I,J,L)*BASE
0433 SAT=PL(I,J,K)+SAT
0434 SAD=PL(I,J,L)+SAD
0435 62 CONTINUE
0436 P(I,K)=SAT
0437 63 P(I,L)=SAD - QSH(I)
0438 C7 =PPA=PERDAS POT ATIVA - PPR=PERDAS POT REATIVA
0439 PPA = P(I,K) + PPA
0440 PPR = P(I,L) + PPR
0441 100 CONTINUE
0442 VARV(6)=PPA
0443 C IMPRESSAO DOS RESULTADOS
0444 DO 150 I=1,NA
0445 150 QSH(I)=(JSH(I)/(RM(I)**2))/BASE
0446 IF(IFPOT(8)=EQ,0) GO TO 200
0447 IF(IFPOT(5)=EQ,0) RETURN
0448 200 WRITE(142,79)
0449 79 FORMAT(/,35X,30+TENSOES E POTENCIAS DAS BARRAS,/)
0450 WRITE(142,80)
0451 80 FORMAT(5X,513ARRA,6X,4HNAME,6X,6HTENSAO,4X,6HANGULO,5X,4HPGEQ,
0452 *6X,4HOUFEX,6X,6HOCARGA,4X,6HOCARGA,3X,10-HREAT/CAPAC,/,26X

```

```

0455 Q(1)=P(1,2)+QC(1)
0456 DO 90 I=1,NA
0457 QSH(I)=(QSH(I)*RM(I)**2)*BASE
0458 IF (KT(I).EQ.0) GO TO 90
0459 Q(I)=P(I,2)+QC(I)
0460 IF (KC(I).EQ.1) Q(I)=RPM(I)*BASE+QC(I)
0461 IF (KC(I).EQ.2) Q(I)=RPI(I)*BASE+QC(I)
0462 WRITE (I4PR,107) I,(NOME(I,J),J=1,4),RY(I),A(I)*PG(I),Q(I),PC(I),
*QC(I),QSH(I)
0463 107 FORMAT(I8,6X,4A2,3X,F8.4,3X,F7.2,3X,2(F6.1,3X),2X,3(F6.1,3X))
0464 WRITE (I4PR,72)
0465 72 FORMAT(/20X,2BHFLUXO DE POTENCIA NAS LINHAS./)
0466 WRITE (I4PR,98)
0467 98 FORMAT(10X,5HBARRA,4X,4HPARA,6X,5HBARRA,6X,
*11H*ATIVA(4W),4X,15H*REATIVA(4VAR),/)
0468 DO 95 I=1,NA
0469 95 Q5(I)=(QSH(I)/(RM(I)**2))/BASE
0470 DO 95 J = 1,NA
0471 IF (I.NE.J.AND.I.J).NE.0.0) WRITE (I4PR,87) I,(NOME(I,II),II=1,4),J,
0472 * (NOME(J,JU),JJ=1,4)*PL(I,J,K),PL(I,J,L)
0473 87 FORMAT(5X,I2,2X,4A2,5X,I2,2X,4A2,F15.3,F18.3)
0474 87 CONTINUE
0475 95 CONTINUE
0476 95 WRITE (I4PR,101)
0477 101 FORMAT(//35X,17HPERDAS NO SISTEMA,/ )
0478 0479 WRITE (I4PR,102)
0480 102 FORMAT(25X,14HPOTENCIA ATIVA,11X,16HPOTENCIA REATIVA,/ ,
0481 *29X,4H(4W),22X,5H(MVAR),/ )
0482 WRITE (I4PR,103) PPA,PPR
0483 103 FORMAT(F35.5,F27.5///)
0484 RETURN
0485 END

```

** NO ERRORSS** PROGRAM = 01489 COMMON = 08740

SUBROUTINE JACOB

```

0486      SUBROUTINE PL(20,20,2),P(20,2),E(20,2),AC(20,20),EJ(40,40)
0487      COMMON PL(20,20,2),P(20,2),E(20,2),AC(20,20),EJ(40,40)
0488      COMMON B(20,20)*G(20,20),RM(20),A(20),CK(38),XX(38)
0489      COMMON R24(20),RPI(20)*VE(20),PA(20,2)*3SH(20)*PC(20)*Q(20)
0490      COMMON CA(20),CB(20),CC(20),PS(20),PGMN(20)*VX(20)*VN(20)
0491      COMMON SA(20),SV(20),SP(20),SQ(20),ST(20),TETA(20),VARV(6)
0492      COMMON YOME(20,4),LJC(39),KT(20)*KC(20),KF(20),IFPOT(10) ~
0493      COMMON TOR,TO,TDV,BASE,Z,ANG,AM,34
0494      COMMON L,NV,KK,NCAS,JAC,MY,NA,IS,YASE,LE,IMPR
0495      C FORMACAO DA MATRIZ JACOBIANA
0496      DO 15 I=1,NA
0497      IF(I-1S)17,15,17 /
0498      17 CM=0.
0499      D4=0.
0500      DO 19 J=1, NA
0501      1F(J-1S)20,19,20
0502      20 IF(I-J)21,19,21
0503      C CALCULO DOS TERMOS HIJ
0504      21 M=J-1
0505      N=I-1
0506      EJ(N,M)=(G(I,J)*E(J,K)+B(I,K)*E(J,L)+E(I,L)*E(J,M)- ~
0507      *E(J,K))*E(I,K)
0508      19 CONTINUE
0509      C CALCULO DOS TERMOS HII
0510      0511      EJ(N,N)=-PA(I,L)+B(I,I)*(E(I,K)*E(J,L)+E(I,L)*E(J,K))
0512      C CALCULO DOS TERMOS VIIJ
0513      DO 22 J=1, NA
0514      23 IF(J-1S)23,22,23
0515      24 IF(I-J)24,22,24
0516      M=J+NA-2
0517      N=I-1
0518      0519      IF((LT(J),NE.1)GO TO 2001
0519      1F((KC(J),EQ.0)GO T3 2002
0520      GO TO 2001
0521      C NIJ=0. NO CASO DE GERACAO NA BARRA J
0522      EJ(N,M)=0.
0523      GO TO 22
0524      2001 EJ(N,M)=(G(I,J)*E(J,K)+B(I,K)*E(J,L)+E(I,L)*E(J,M)- ~
0525      *E(J,K))*E(I,L)
0526      22 CONTINUE
0527      C CALCULO DOS TERMOS VII
0528      M=I+NA-2
0529      N=I-1
0530      0531      IF((LT(I),NE.1)GO TO 2003
0531      1F((KC(I),EQ.0)GO T3 2004
0532      GO TO 2003
0533      C NIJ=0. NO CASO DE GERACAO NA BARRA I -
0534      2004 EJ(N,M)=0.
0535      2003 EJ(N,M)=PA(I,K)+G(I,I)*(E(I,K)*E(J,L)+E(I,L)*E(J,K))
0536      C CALCULO DOS TERMOS VIIJ
0537      2005 DO 25 J=1, NA
0538      0539

```

Parte real da
 matriz de tra-
 versos da
 barra.
 M = N

M = DM
 Parte imagi-
 nária da
 matriz de
 barra.

```

M=J-1
0543 IF (KT(I) * NE•1) GO TO 2006
0543 IF (KC(I) * E2•0) GO TO 2007
0544 GO TO 2006
0544 C JIJ=0. VJ CASO DE GERACAO NA BARRA I
0545 0546 2007 EJ(N,M)=0.
0547 GO TO 25
0548 2006 EJ(N,M)=-(G(I,J)*E(J,K)+B(I,J)*E(J,L))*E(I,K)+(G(I,J)*E(J,L)-B(I,
0549 *J)*E(J,K))*E(I,L))
0550 25 CONTINUE
0551 C CALCULO DOS TERMOS JII
0552 C N=I+NA-2
0553 N=I-1
0554 M=I-1
0555 IF (KT(I) * NE•1) GO TO 2008
0555 IF (KC(I) * E2•0) GO TO 2009
0556 GO TO 2008
0557 C JII=0. VJ CASO DE GERACAO NA BARRA I
0558 2009 EJ(N,M)=0.
0559 GO TO 2010
0560 2008 EJ(N,M)=PA(I,K)-G(I,I)*(E(I,K)*2+E(I,L)**2)
0561 2008 EJ(N,M)=PA(I,I)-G(I,I)*(E(I,K)*2+E(I,L)**2)
0562 C CALCULO DOS TERMOS LIJ -
0563 2010 DO 28 J=1,VA
0564 1F (J-1S) 29,28,29
0565 29 IF (J-1) 30,28,30
0566 30 N=I+NA-2
0567 M=J+NA-2
0568 IF (KT(I) * NE•1) GO TO 2011
0569 IF (KC(I) * E2•0) GO TO 2012
0570 GO TO 2011
0571 C LIJ=0. VJ CASO DE GERACAO NA BARRA I E/OU J
0572 2012 EJ(N,M)=0.
0573 GO TO 28
0574 2011 IF (KT(UJ) * NE•1) GO TO 2013
0575 IF (KC(UJ) * E2•0) GO TO 2012
0576 2013 EJ(N,M)=(G(I,J)*E(J,K)+B(I,J)*E(J,L))*E(I,L)-(G(I,J)*E(J,L)-B(I,J),
0577 **E(J,K))*E(I,K)
0578 28 CONTINUE
0579 C CALCULO DOS TERMOS LII
0580 N=I+NA-2
0581 M=I+NA-2
0582 1F (KT(I) * NE•1) GO TO 2014
0583 IF (KC(I) * E2•0) GO TO 2015
0584 GO TO 2014
0585 C LIJ=0. VJ CASO DE GERACAO NA BARRA I
0586 2015 EJ(N,M)=0.
0587 GO TO 15
0588 2014 EJ(N,M)=PA(I,L)+B(I,I)*(E(I,K)*2+E(I,L)**2)
0589 15 CONTINUE
0590 RETURN
0591 END

```

```

SUBROUTINE IMJAC
COMMON PL(20,20,2),P(20,2),E(20,2),AC(20,20),EJ(40,40)
COMMON 3(20,20),G(20,20),RM(20),A(20),CK(38),XX(38)
COMMON RPM(20),PRI(20),VE(20),PA(20,2),QSH(20),PC(20),QC(20),Q(20)
COMMON CA(20),C3(20),CC(20),P6(20),PGMN(20),PGMX(20),VN(20)
COMMON SA(20),SV(20),SP(20),SG(20),ST(20),TETA(20),VARV(6)
COMMON NAME(20,4),LOC(38),KT(20),KC(20),KF(20),IFPOT(10)
COMMON TOR,T01,TOV,ZASE,Z,ANG,AM,BM
COMMON K,L,NV,KK,NCAS,JAC,MY,NA,IS,NASE,LE,IMPR
IMPRESSAO DO JACOBIANO,DELTA P E DELTA Q
MC=2*NA-1
NC=2*NA-2
/
0604 NCI = NA - 1
0605 IF (JAC.EQ.0) GO TO 845
0606 WRITE (IMPR,1000) NV
0607 1000 FORMAT (/10X,21HITERACAO DO JACOBIANO,I2,30(2H *))
0608 WRITE (IMPR,822)
0609 822 FORMAT (/20X,20-HPARTE H DO JACOBIANO,/)
0610 DO 940 I=1,NC1
0611 940 WRITE (IMPR,1104) (EJ(I,J),J=1,NC1)
0612 1104 FORMAT (1X,7E17.7)
0613 WRITE (IMPR,823)
0614 823 FORMAT (/20X,20-HPARTE N DO JACOBIANO,/)
0615 DO 841 I=1,NC1
0616 841 WRITE (IMPR,1104) (EJ(I,J),J=NA,NC)
0617 WRITE (IMPR,824)
0618 824 FORMAT (/20X,20-HPARTE J DO JACOBIANO,/)
0619 DO 842 I=NA,NC
0620 842 WRITE (IMPR,1104) (EJ(I,J),J=1,NC1)
0621 WRITE (IMPR,825)
0622 825 FORMAT (/20X,20-HPARTE L DO JACOBIANO,/)
0623 DO 843 I=NA,NC
0624 843 WRITE (IMPR,1104) (EJ(I,J),J=NA,NC)
0625 WRITE (IMPR,826)
0626 826 FORMAT (/20X,21-HDELTA P E DELTA Q,/)
0627 DO 844 I=1,NC1
0628 NCI=NC1+1
0629 844 WRITE (IMPR,1104) EJ(I,NC),EJ(NCI,NC)
0630 CONTINUE
0631 RETURN
0632 END

```

** NO ERRORS** PROGRAM = 00424 COMMON = 08740

```

0633      SUBROUTINE REJAC
0634      COMMON PL(20,20,2),P(20,2),E(20,2),AC(20,20),EJ(40,40)
0635      COMMON 3(20,20),G(20,20),RM(20),A(20),CK(3R),XX(38)
0636      COMMON RPI(20),RPI(20),VE(20),PA(20,2),QSH(20),PC(20),QC(20),Q(20)
0637      COMMON CA(20),CB(20),CC(20),PG(20),PGMX(20),PGMN(20),VX(20),VN(20)
0638      COMMON SA(20),SV(20),SP(20),SQ(20),ST(20),TETA(20),VARV(6)
0639      COMMON YOME(20,4),LOC(3B),KT(20),KC(20),KF(20),IFPO(10)
0640      COMMON TOR,TJI,TOV,BASE,Z,ANG,AM,BM
0641      COMMON K,L,VV,CK,YCAS,JAC,MY,NA,IS,YASE,LE,I4PR
0642      C SUBROTINA PARA REARRANJO DA MATRIZ JACOBIANA E RESOLUCAO DAS EQUACOES
0643      KK=0
0644      DO 2370 I=2,NA
0645      IF (KT(I).EQ.0) GO TO 2370
0646      IF (KC(I).EQ.0) KK=KK+1
0647      CONTINUE
0648      NC=2*NA-2
0649      MC=NC+1
0650      DO 2363 I=1,NC
0651      IF (EJ(I,I).EQ.0.) GO TO 2368
0652      GO TO 2363
0653      2368 II=I+1
0654      DO 2364 J=II,NC
0655      IF (EJ(J,J).EQ.0.) GO TO 2364
0656      GO TO 2359
0657      2364 CONTINUE
0658      2369 CONTINUE
0659      DO 2365 M=1,NC
0660      EJ(I,M)=EJ(J,M)
0661      EJ(J,M)=0.
0662      DO 2366 M=1,NC
0663      EJ(M,I)=EJ(M,J)
0664      EJ(M,J)=0.
0665      2363 CONTINUE
0666      NC=MC-KK
0667      DO 2367 M=1,NC
0668      EJ(M,NC)=EJ(M,NC)
0669      C CALCULO DOS DELTAS TETA E DELTAS V
0670      NC=2*NA-2--KK
0671      MC=2*NA-1--KK
0672      C CALCULO DOS DELTAS V E TETA USANDO GAUSS-JORDAN COM CONDENSACAO PIVOTAL
0673      DO 401 I=1,NC
0674      CK(I)=0.
0675      DO 408 I=1,NC
0676      IP=I+1
0677      AMAX=0.
0678      DO 402 KK=1,NC
0679      IF (AMAX-43S(EJ(KK,KK))>403,402,402
0680      403 IF (CK(KK)) 404,404,402
0681      404 LOC(I)=KK
0682      AMAX=ABS(EJ(KK,KK))
0683      402 CONTINUE
0684      IF (ABS(AMAX).LE.10.E-6) GO TO 41
0685      LL=LOC(I)
0686      CK(LL)=1.

```

0689 406 F=-EJ(J,I)/EJ(LL,I)
0690 DO 407 KKK=IP,NC
0691 407 EJ(J,KKK)=EJ(J,KKK)+F*EJ(LL,KKK)
0692 405 CONTINUE
0693 408 CONTINUE
0694 DO 409 I=1,NC
 LL=LOC(I)
0695 409 XX(I)=EJ(LL,MC)/EJ(LL,I)
0696 DO 410 I=1,NC
0697 410 EJ(I,MC)=XX(I)
0698 RETURN
0699 41 WRITE(1,PR,333)
0700 333 FORMAT(1X,47HA TERMOS NULOS NA DIAGONAL DA MATRIZ JACOBIANA)
0701 IS=1000
0702 RETURN
0703 END
0704

** NO ERRORS** PROGRAM = 00624 COMMON = 08740

```

SUBROUTINE NOVOS
COMMON PL(20,20,2),P(20,2),E(20,2),AC(20,20),EJ(40,40)
COMMON 3(20,20),6(20,20),RM(20),A(20),CK(38),XX(38)
COMMON RPY(20),RPI(20),VE(20),PA(20,2),OSH(20),PC(20),QC(20),Q(20)
COMMON CA(20),C3(20),CC(20),PG(20),PGMX(20),PGMN(20),VX(20),VN(20)
COMMON SA(20),SV(20),SP(20),SQ(20),ST(20),TETA(20),VARV(6)
COMMON VOME(20,4),LOC(38),KT(20),KC(20),KF(20),IFPOT(10)
COMMON TOR,TOI,TOV,BASE,Z,ANG,AM,BM
COMMON K,L,NV,KK,NCAS,JAC,MY,NA,IS,NASE,LE,IMPR
CALCULO DO$ NOVOS V E TETAS
      DD 2020 I=2,NA
      AM=E(I,K)
      E(I,K)=SQRT(E(I,K)**2+E(I,L)**2)
      E(I,L)=ATAN(E(I,L)/AM)
      DD 2021 I=2,NA
      M=I-1
      J=2*NA-1-KK
      E(I,L)=E(I,L)+EJ(M,J)
CONTINUE
      M=NA
      DD 2022 I=2,NA
      IF(<T(I).NE.1) GO TO 2026
      IF(<C(I).EQ.0) GO TO 2022
      E(I,K)=E(I,K)+(1.+EJ(M,J))
      M=M+1
CONTINUE
      DD 2023 I=2,NA
      E(I,K)=E(I,K)*COS(E(I,L))
      E(I,L)=E(I,L)*TAN(E(I,L))
      DD 428 I=1,NA
      IF(<T(I).EQ.0) GO TO 428
      RM(I)=SQRT(E(I,K)**2+E(I,L)**2)
      A(I)=ATAN(E(I,L)/E(I,K))
      KF(I)=KF(I)+1
      IF(<C(I).NE.0) GO TO 443
      KF(I)=KF(I)+1
      GO TO 430
      IF(<C(I).EQ.1) GO TO 429
      IF(RM(I).GT.VE(I)) GO TO 428
      GO TO 430
      IF(RM(I).LT.VE(I)) GO TO 428
      E(I,K)=VE(I)*COS(A(I))
      E(I,L)=VE(I)*SIN(A(I))
      428 CONTINUE
      RETURN
      END

```

* * NO ERRORS**

PROGRAM = 00551

COMMON = 03740

```

SUBROUTINE DFLOT
COMMON PL(20,20,2),P(20,2),E(20,2),AC(20,20),EJ(40,40)
COMMON B(20,20),G(20,20),RM(20),A(20),CK(38),XX(38)
COMMON RPM(20),RPI(20),VE(20),PA(20,2),QSH(20),PC(20),QC(20),Q(20)
COMMON CA(20),CB(20),CC(20),PGMX(20),PGMN(20),VX(20),VN(20)
COMMON SA(20),SV(20),SP(20),SQ(20),ST(20),TETA(20),VARV(6)
COMMON NOME(20,4),LOC(38),KT(20),KC(20),KF(20),IFPOT(10)
COMMON TDR,TOI,TOV,BASE,Z,ANG,AM,BM
COMMON K,L,NV,KK,NCAS,JAC,MY,NA,IS,VASE,LE,IMPR
SUBROTINA PARA LEITURA DOS DADOS NECESSARIOS NA SOLUCAO DO FLUXO OTIMO
      WRITE(14PR,5)VARV(1),VARV(3),VARV(2),VARV(4),IFPOT(10)
      5 FORMAT(1H1,/,1BX,93H0 A D O S D E E N T R A D A P A R A O
      *   F L U X O D E P O T E N C I A O T I M O //,
      *9X,35HTOLERANCIA DO GRADIENTE DE TENSAO =,10X,F12.5,/,
      *9X,37HTOLERANCIA DO GRADIENTE DE POTENCIA =,8X,F12.5,/,
      *9X,42HFATOR DE CORRECAO DO GRADIENTE DE TENSAO =,3X,F12.5,/,
      *9X,44HFATOR DE CORRECAO DO GRADIENTE DE TENSAO =,1X,F12.5,/,
      *9X,37HNUMERO MAXIMO DE ITERACOES PERMITIDAS,/,
      *9X,39HNAA SOLUCAO DO FLUXO DE POTENCIA OTIMO =,10X,I12,/,
      IF(IFPOT(2).EQ.1) GO TO 60
      WRITE(14PR,70)
      70 FORMAT(9X,51-FUNCAO OBJETIVO -MINIMIZACAO DOS CUSTOS DE PRODUCAO,)
      70 TO 80
      773 60 WRITE(14PR,90)
      774 90 FORMAT(9X,50-FUNCAO OBJETIVO -MINIMIZACAO DAS PERDAS DO SISTEMA,)
      775 80 IF(IFPOT(3).EQ.1.AND.IFPOT(4).EQ.1) GO TO 100
      776 IF(IFPOT(3).EQ.1) WRITE(14PR,110)
      777 IF(IFPOT(4).EQ.1) WRITE(14PR,120)
      778 GO TO 180
      779 100 WRITE(14PR,130)
      780 130 FORMAT(9X,52-VARIAVEIS DE CONTROLE- TENSAO DAS BARRAS D
      781 * E GERACAO,///)
      782 110 FORMAT(9X,55-VARIAVEIS DE CONTROLE- TENSAO DAS BARRAS DE GERACAO E
      783 * COMPENSACAO,///)
      784 120 FORMAT(9X,53-VARIAVEIS DE CONTROLE- POTENCIA DAS BARRAS DE GERACAO
      785 *,///)
      786 180 WRITE(14PR,140)
      787 140 FORMAT(56X,18-HDADOS DE BARRA,/,9X,5HRARRA,7X*4HNOME*7X*4HVMAX
      788 * ,5X,4HVMIN,6X,5HPGMIN,7X,19HFUNCAO DE CUSTO,7X,26HF
      789 * ATORES DE PENALIZACAO./.31X,33H(P.U.) (P,U.) (M)
      790 * .W.,SX,51-H(A,B(SY4W2) C(SY4W2) TENSAO ANGULO TAPE,/)
      791 DD 10 I=1,NA
      792 SA(I)=0.
      793 READ(LE,20)CA(I),CB(I),CC(I),PGMX(I),PGMN(I),VX(I),VN(I)
      794 READ(LE,50)SV(I),SP(I),SQ(I),ST(I),TETA(I)
      795 10 CONTINUE
      796 DD 150 I=1,NA
      797 150 WRITE(14PR,160)I,(NOME(I,J),J=1,4),VX(I),VN(I),PGMX(I),PGMN(I),
      798 *CA(I),CB(I),CC(I),SV(I),SP(I),TETA(I),ST(I)
      799 160 FORMAT(11X,I2,6X,4A2,4X,2(F6.3,3X),1X,2(F6.1,3X),2X,3(F7.3,1X),3X,
      800 *4(F6.1,1X)
      801 20 FORMAT(3(F10.0,2X),8X,4(F6.0,2X))
      802 50 FORMAT(10X,5(FB,0,2X),
      803 RETURN
      804
      805
```

** NO ERRORS**

COMMON = 08740

PROGRAM = 01003

```

SUBROUTINE DFDX
COMMON PL(20,20,2),P(20,2),E(20,2),AC(20,20),EJ(40,40)
COMMON B(20,20),G(20,20),RM(20),A(20),C(38),XX(38)
COMMON RPI(20),RPI(20),VE(20),PA(20,2),PSH(20),PC(20),QC(20),Q(20)
COMMON CA(20),CB(20),CC(20),PG(20),PSY(20),PGMN(20),VX(20),VN(20)
COMMON SA(20),SV(20),SP(20),SQ(20),ST(20),TETA(20),VARV(6)
COMMON NOME(20,4),LOC(38),KT(20),KC(20),KF(20),IFPDT(10),
COMMON TOR,TOI,TOV,BASE,Z,ANG,AM,BM
COMMON L,NV,KK,YCAS,JAC,MY,NA,IS,NASE,LE,IMPR
C SURROTA NA PARA CALCULO DAS DERIVADAS DA FUNCAO OBJETIVA EM RELACAO
C AS VARIAVEIS DEPENDENTES
C Z=1.*BASE
0817 AY=2.*SP(1)*(PG(1)-PGMX(1))
0818 BY=2.*SP(1)*(PG(1)-PGMN(1))
0819 IF(PG(1).GT.PGMX(1)) Z=Z+AM
0820 IF(PG(1).LT.PGMX(1)) Z=Z+BM
0821 IF(IFPO(2).EQ.1) GO TO 5
0822 Z=(CB(1)+2.*CC(1)*PS(1))*BASE
0823 IF(PG(1).GT.PGMX(1)) Z=Z+AM
0824 IF(PG(1).LT.PGMX(1)) Z=Z+BM
0825 N=2*NA-1
0826
0827 DO 10 J=2,NA
0828 EJ(M,N)=(S(1,J)*E(J,K)+B(1,J)*E(J,L))*E(1,L)-(G(1,J)*E(J,L)-G(1,J))
0829 **E(J,K))*E(1,K)
0830 EJ(M,N)=-(EJ(M,N)*Z)
0831 ANG=(ATAN(E(J,L)/E(J,K)))*(180./3.1416)
0832 IF(ANG.LT.TETA(J)) GO TO 10
0833 EJ(M,N)=EJ(M,N)-2.*SA(J)*(ANG-TETA(J))
0834
10 CONTINUE
0835 DO 20 J=2,NA
0836 M=NA+J-2
0837 IF(KT(J).NE.1) GO TO 30
0838 IF((KC(J).EQ.0)) GO TO 40
0839 IF((ANG.LT.TETA(J)) GO TO 10
0840 EJ(M,N)=(S(1,J)*E(J,K)+B(1,J)*E(J,L))*E(1,K)+(G(1,K)*E(J,L)-G(1,J))
0841 **E(J,K))*E(1,L)
0842 EJ(M,N)=-(EJ(M,N)*Z)
0843 AN=SQR(T(E(J,K))*2+E(J,L)**2)
0844 IF(AM.GT.VX(J)) GO TO 50
0845 IF(AM.LT.VN(J)) GO TO 60
0846 GO TO 20
0847 EJ(M,N)=EJ(M,N)-2.*SV(J)*(AM-VX(J))+44
0848 GO TO 20
0849 GO EJ(M,N)=EJ(M,N)-2.*SV(J)*(AM-VN(J))+44
0850 GO TO 20
0851 40 EJ(M,N)=0.
0852 20 CONTINUE
0853 RETURN
0854 END
** NO ERRORS** PROGRAM = 00894 COMMON = 03740

```

```

0855      SUBROUTINE TRJAC
0856      COMMON PL(20,20,2),P(20,2),E(20,2),AC(20,20),EJ(40,40)
0857      COMMON 3(20,20),G(20,20),RM(20),A(20),CK(3R),XX(38)
0858      COMMON RP4(20),RPI(20),VE(20),PA(20,2),QSH(20),PC(20),QC(20),Q(20)
0859      COMMON CA(20),CB(20),CC(20),PG(20),PGMX(20),PGMN(20),VX(20),VN(20)
0860      COMMON SA(20),SV(20),SP(20),SQ(20),ST(20),TETA(20),VARV(6)
0861      COMMON VOME(20,4),LOC(38),KT(20),KC(20),KF(20),IFPOT(10)
0862      COMMON TOR,TOI,TOV,BASE,Z,ANG,AM,BM
0863      COMMON X,L,NV,KK,YCAS,JAC,MY,NA,IS,NASE,LE,IMPR
0864      SUBROUTINA PARA TRANPOSICAO DO JACOBIANO
0865      M=2*NA-2
0866      DO 10 I=1,4
0867      DO 10 J=1,4
0868      IF(J.LE.I) GO TO 10
0869      A4=EJ(I,J)
0870      EJ(I,J)=EJ(J,I)
0871      EJ(J,I)=A4
0872      10 CONTINUE
0873      RETURN
0874      END

```

** NO ERRORS** PROGRAM = 00136 COMMON = 08740

```

0875      SUBROUTINE SRDV
0876      COMMON PL(20*20,2)*P(20*2)*E(20*2)*AC(20*20)*EJ(40*40)
0877      COMMON 3(20,20),6(20,20),R4(20),A(20)*C(38)*XX(38)
0878      C04404 R24(20),RPI(20),VE(20),PA(20,2)*25H(20)*QC(20)*Q(20)
0879      C04404 CA(20)*C3(20),CC(20),PS(20)*PSH(20)*PC(20)*QC(20)
0880      C04404 SA(20)*SV(20),SP(20),SG(20)*ST(20)*VN(20)*VX(20)
0881      C04404 YME(20,4),LDC(38),KT(20),KC(20),KF(20),IFDT(10)
0882      COMMON TOR,TOI,TOV,BASE,Z,ANG,AM,BY
0883      C04404 K,L,NV,KK,NCAS,JAC,MY,NA,IS,VASE,LE,IUPR
0884      C SUBROTINA PARA CALCULO DO GRADIENTE COM PESO A VARIAVEL DE CONTROLE V
0885      C CALCULO DE JFDU PENALIZADO
0886      Z=1.*BASE
0887      A=M=2.*SP(1)*(PG(1)-PSMX(1))
0888      B=M=2.*SP(1)*(PG(1)-PSMN(1))
0889      IF (PG(1).GT.PSMX(1)) Z=Z+AM
0890      IF (PG(1).LT.PGMN(1)) Z=Z+BM
0891      IF (IFDT(2).EQ.1) GO TO 5
0892      Z=(CG(1)+2.*CC(1)*PG(1))*BASE
0893      IF (PG(1).GT.PGMX(1)) Z=Z+AM
0894      IF (PG(1).LT.PGMN(1)) Z=Z+BM
0895      R4(1)=((P(1,1)/BASE)+G(1,1)*(E(1,K)*2+E(1,L)*2)*Z
0896      D0 10 J=2,NA
0897      IF ((KT(J).LE.0.AND.J.NE.IS) GO TO 20
0898      R4(J)=(S(1,J)*E(J,K)+3(1,J)*E(J,L))*E(1,K)+(G(I,J)+B(I,L))-B(I,J)*E
0899      * (J,K)*E(I,L)
0900      R4(J)=R4(J)*Z
0901      D0 TO 10
0902      R4(J)=0.
0903      10 CONTINUE
0904      N=2*NA-1-KK
0905      D0 50 J=1,NA
0906      IF ((KT(J).LE.0.AND.J.NE.IS) GO TO 60
0907      D0 70 M=2,NA
0908      I=4-1
0909      IF (M.EQ.J) GO TO 80
0910      R4(J)=R4(J)+EJ(I,N)*(G(M,J)*E(J,K)+3(M,J)*E(J,L))+E(M,K)+(G(M,J)*
0911      * E(J,L)-3(M,J)*E(J,K))*E(M,L)
0912      60 TO 70
0913      80 R4(J)=R4(J)+EJ(I,N)*((P(J,K)/BASE)+3(J,J)*(E(J,K)*2+E(J,L)*2))
0914      70 CONTINUE
0915      60 CONTINUE
0916      D0 20 J=1,NA
0917      IF ((KT(J).LE.0.AND.J.NE.IS) GO TO 90
0918      I=NA
0919      D0 100 M=2,NA
0920      IF (M.EQ.J) GO TO 95
0921      IF ((KT(M).NE.1) GO TO 110
0922      IF ((KC(M).EQ.0) GO TO 100
0923      110 R4(J)=R4(J)+EJ(I,N)*(G(M,J)*E(J,K)+3(M,J)*E(J,L))+E(M,L)-(G(M,J)*
0924      * E(J,L)-3(M,J)*E(J,K))*E(M,L)
0925      I=I+1
0926      D0 TO 100
0927      95 IF ((KC(M).EQ.0) GO TO 100
0928      I=I+1
0929      100 CONTINUE

```



```
0931 DO 120 I=1,NA  
0932 IF(KT(I).LE.0.AND.I.NE.IS)GO TO 120  
0933 RM(I)=RM(I)/SQRT(E(I,K)**2+E(I,L)**2)  
0934 120 CONTINUE  
0935 RETURN  
0936 END
```

```
** NO ERRORS**      PROGRAM = 01094      COMMON = 08740
```

0937 SUBROUTINE GRPG
 0938 COMMON PL(20,20,2),P(20,2),E(20,2),AC(20,20),EJ(40,40)
 0939 COMMON 3(20,20),G(20,20),RM(20),A(20),C(38),XX(38)
 0940 COMMON RP4(20),RPI(20),VE(20),PA(20,2),QSH(20),QC(20),Q(20)
 0941 COMMON CA(20),CB(20),CC(20),P6(20),SQYX(20),PGMV(20),VN(20)
 0942 COMMON SA(20),SV(20),SP(20),SQ(20),ST(20),TETA(20),VARV(6)
 0943 COMMON YO4E(20,4),LOC(38),KT(20),KC(20),KF(20),IFPOT(10)
 0944 COMMON TDR,TOI,TOV,BASE,Z,ANG,AM,BM
 0945 COMMON K,L,VV,K,NCAS,JAC,MY,VA,IS,VASE,LE,IMPR
 0946 C SUBROTIV A PARA CALCULO DO GRADIENTE COM RESPEITO A VARIAVEL DE CONTROLE P
 0947 N=2*NA-1--
 0948 DO 10 I=1,NA
 0949 A(I)=0.
 0950 M=I-1.
 0951 IF(I.NE.IS)A(I)=-EJ(M,N)
 0952 IF((K(I).LE.0.AND.I.NE.IS))GO TO 20
 0953 IF(IFPOT(2).EQ.1) GO TO 5
 0954 A(I)=A(I)+(C3(I)+2.*CC(I)*PG(I))*BASE
 0955 GO TO 10
 0956 5 A(I)=A(I)+BASE
 0957 GO TO 10
 0958 20 A(I)=0.
 0959 10 CONTINUE
 0960 RETURN
 0961 END

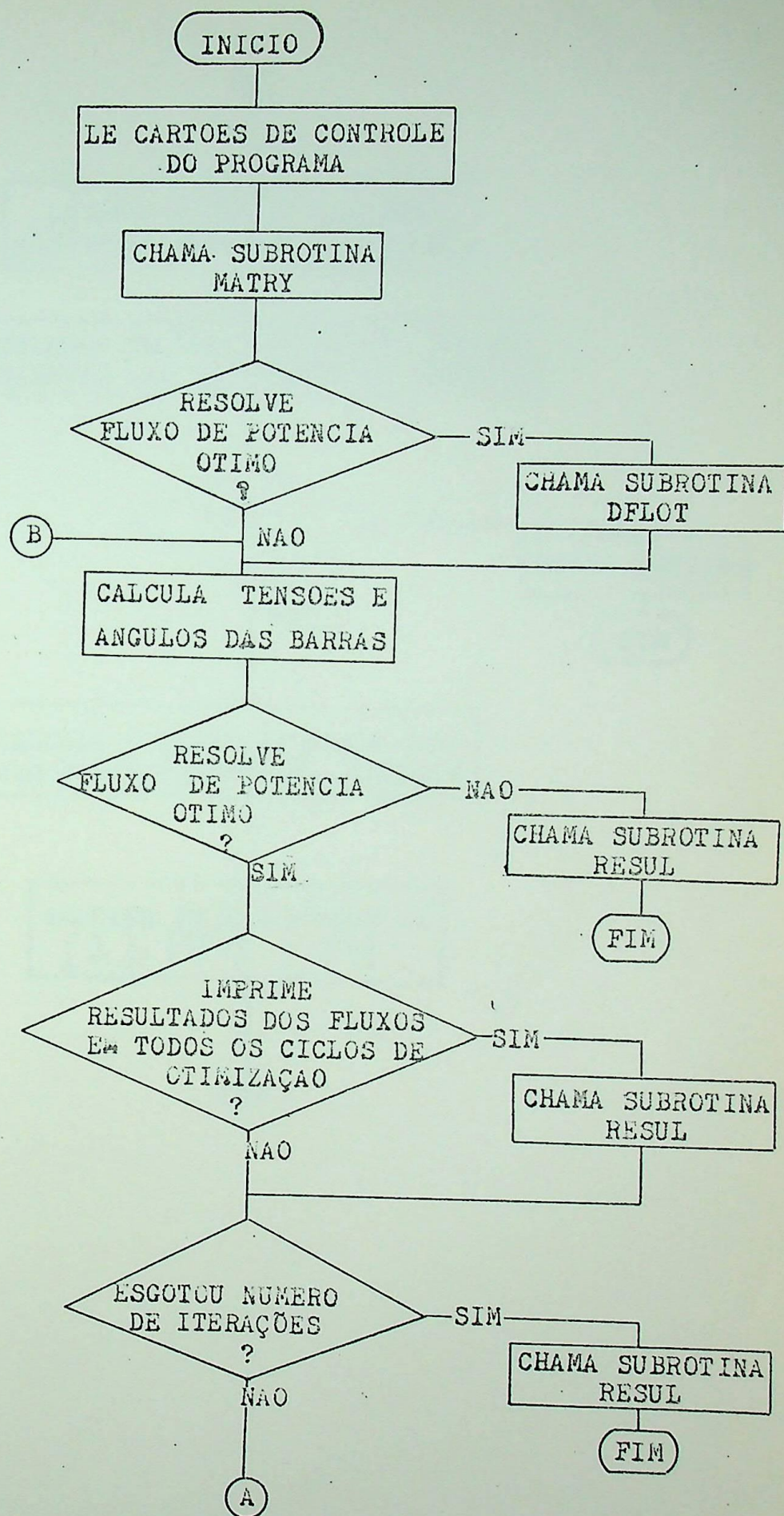
** NO ERRORS** PROGRAM = 00223 COMMON = 03740

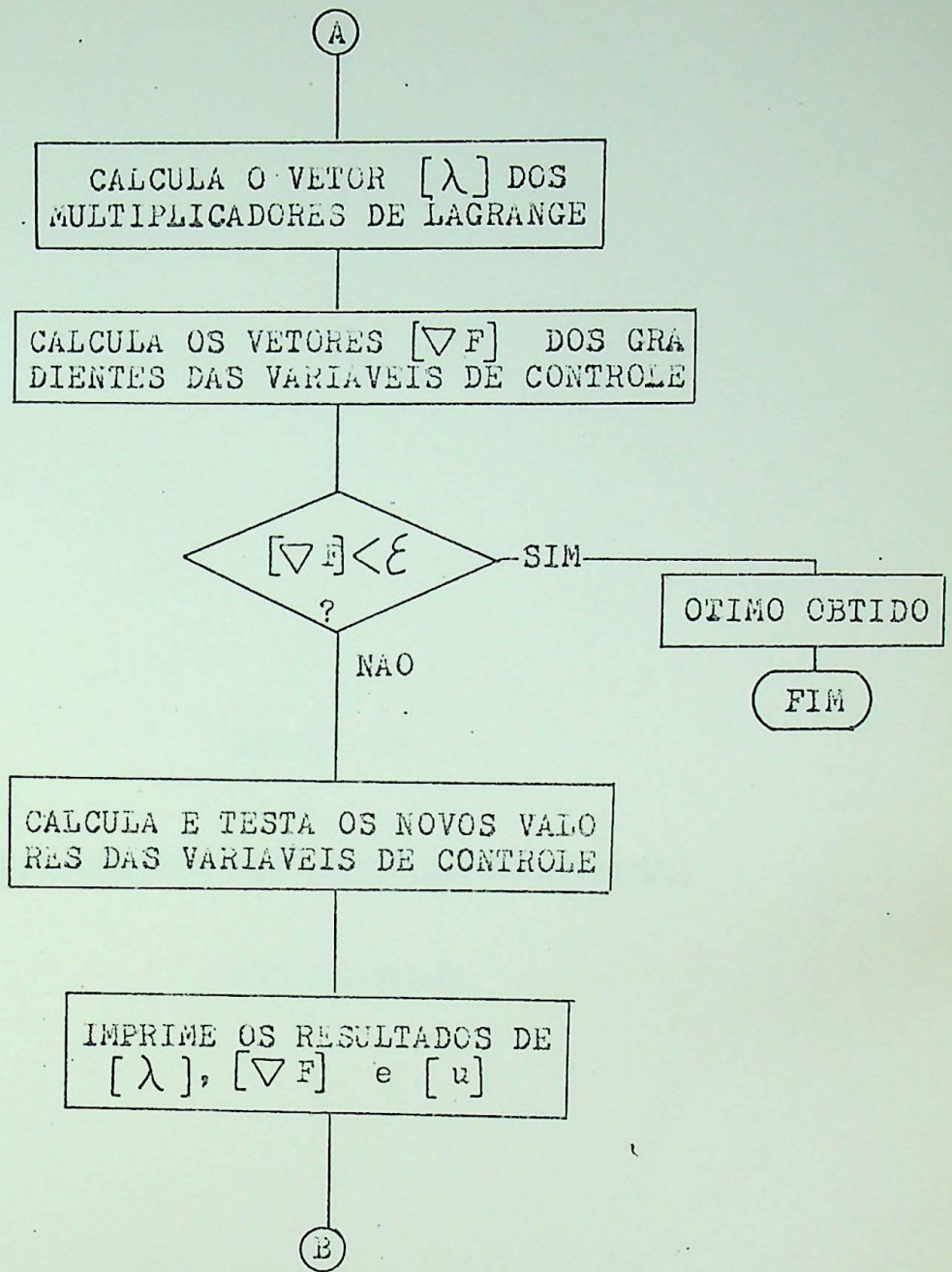
ENDS

0962

ANEXO III

FLUXOGRAAMA SIMPLIFICADO DO PROGRAMA

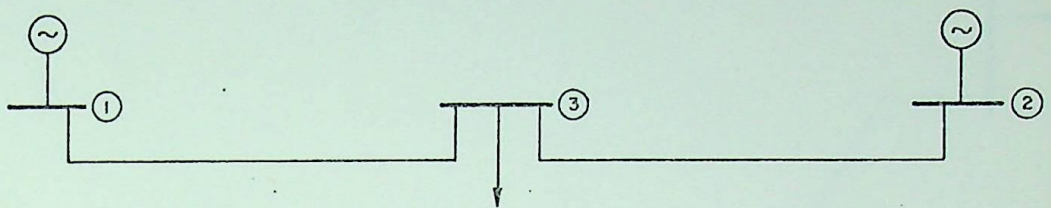




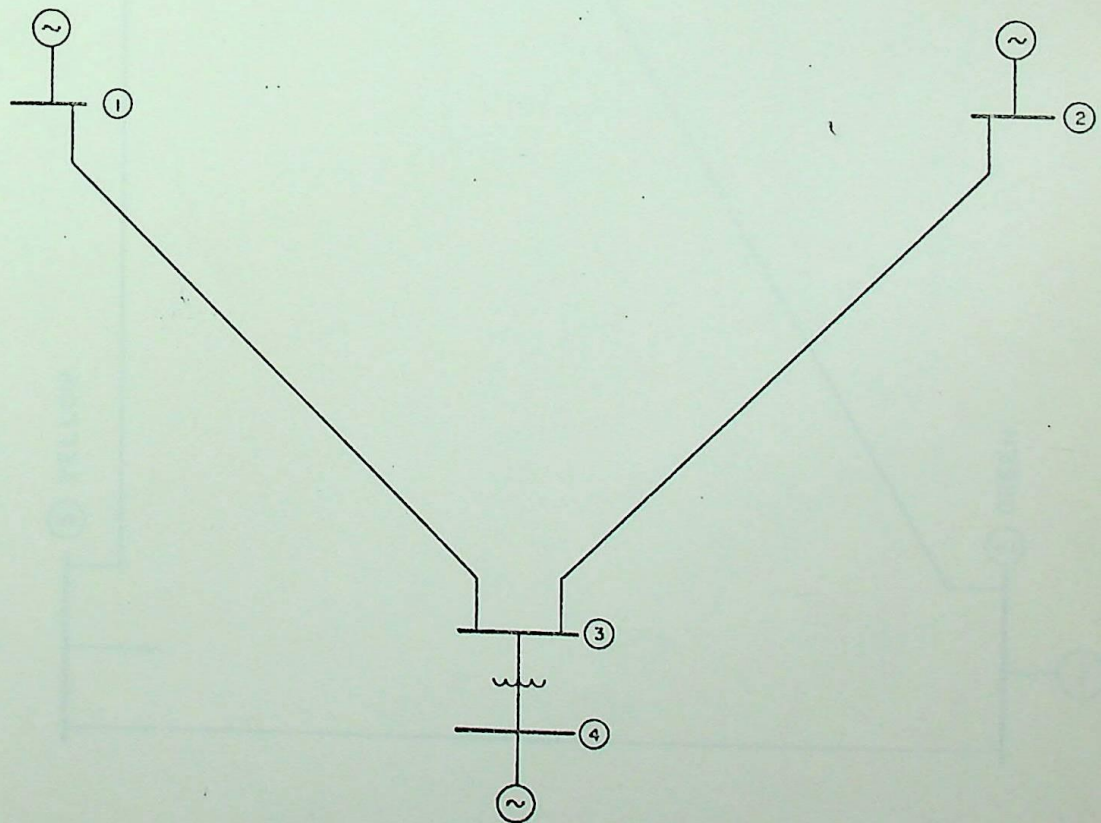
ANEXO IV

CONFIGURAÇÕES DOS SISTEMAS UTILIZADOS

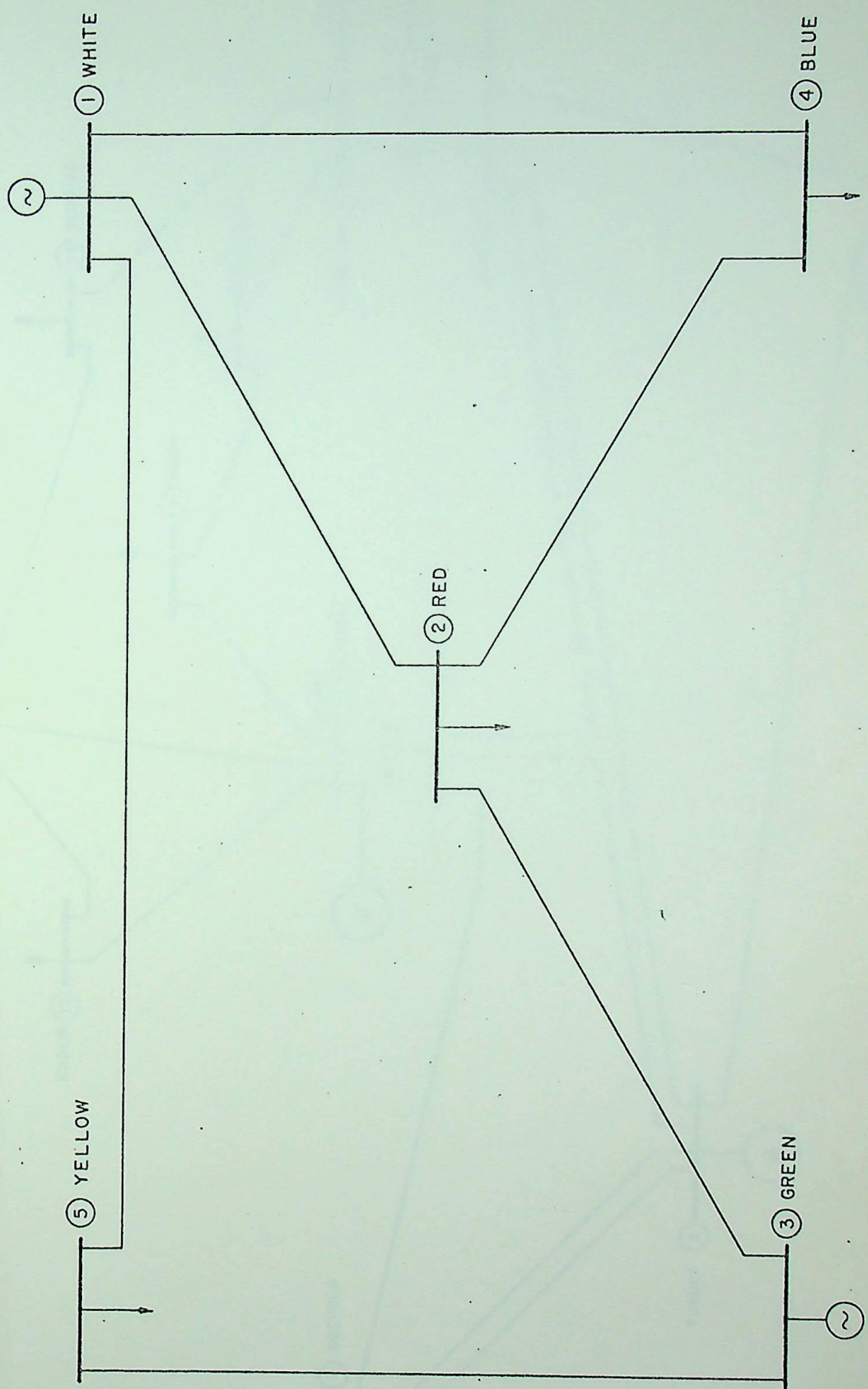
NOS EXEMPLOS

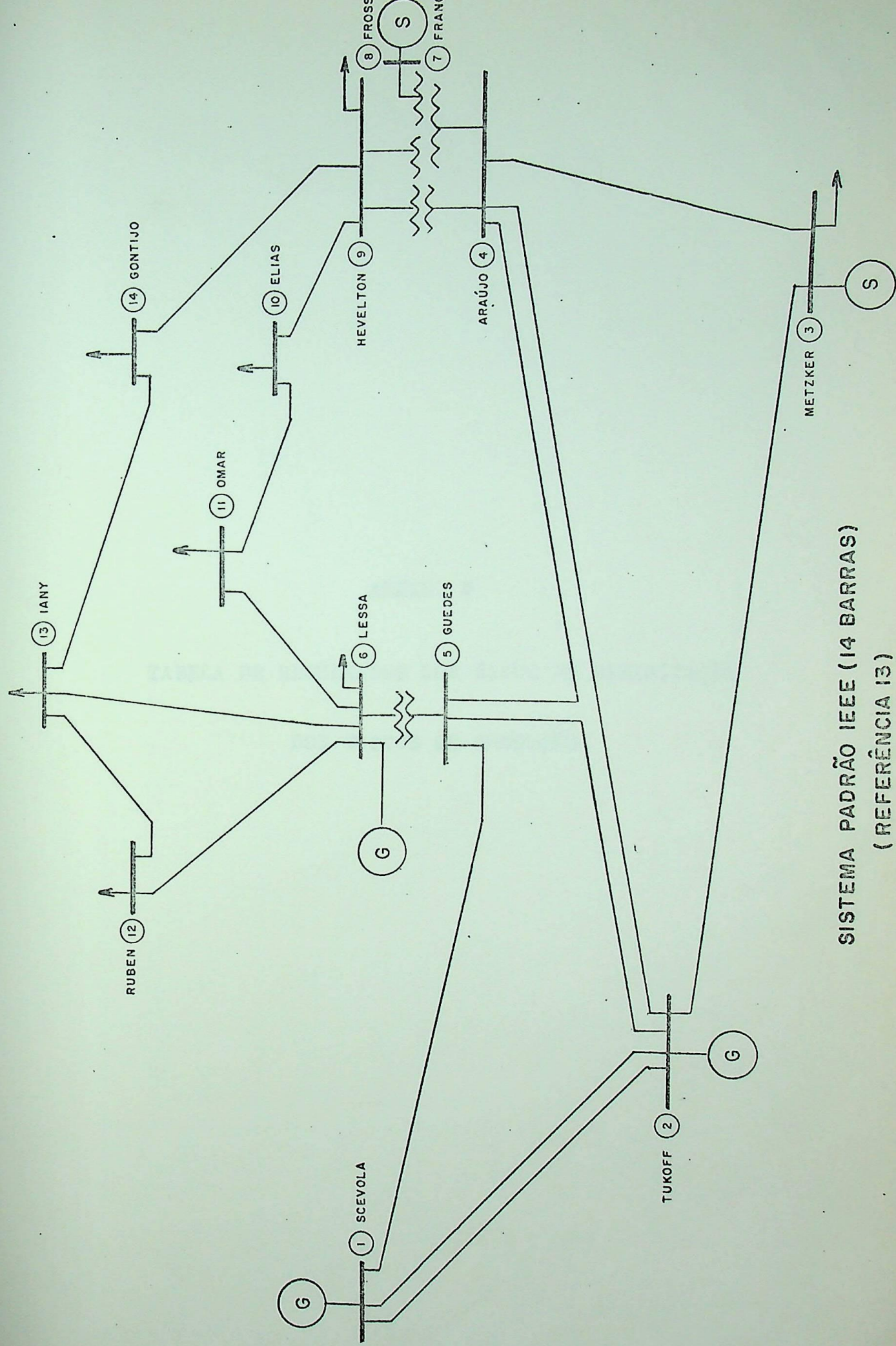


SISTEMA 3 BARRAS



SISTEMA 4 BARRAS





ANEXO V

TABELA DE RESULTADOS DOS CASOS DE MINIMIZAÇÃO
DOS CUSTOS DE PRODUÇÃO

C A S O	S I S T E M A	V A R I A V . C O R R E Ç . D E C O N T R O L E	C O R R E Ç . \propto V	C O R R E Ç . \propto P G	F U N Ç ã O O B J E T I V O - \$ - (I t e r a ç õ e s)						
					0	1	2	3	4	5	6
1	5 b a r r a s	V_i, PG_i	•00050	•15	773•5	765•3	761•4	759•5	758•5	757•8	757•1
2	" V_i	•00050	-		773•5	772•9	772•4	771•9	771•4	771•0	770•5
3	" PG_i	-	•15	773•5	765•2	762•7	761•6	761•2	761•0	760•9	760•9
4	14 b a r r a s	V_i, PG_i	•00015	•30	1175•2	1183•8	1139•4	1136•6	1135•6	1134•9	1134•5
5	" V_i	•00015	-	1175•2	1173•7	1172•6	1171•7	1170•7	1170•1	1169•5	1169•2
6	" PG_i	-	•30	1175•2	1183•8	1139•6	1137•5	1136•6	1136•2	1136•1	1136•0
7	" V_i	•00050	-	1175•2	1174•2	1177•7	1175•7	1170•2	1170•4	1168•2	1169•5
8	" PG_i	-	•15	1175•2	1173•4	1150•8	1143•9	1140•9	1139•2	1138•2	1137•5

ANEXO VI

LISTAGEM DE COMPUTADOR DOS RESULTADOS DO CASO 4

(MINIMIZAÇÃO DOS CUSTOS DE PRODUÇÃO)

CASO NUMERO 1

BARRA COMPENSACAO = 1
 P TOLERANCIA = .010000
 Q TOLERANCIA = .010000
 V TOLERANCIA = .010000
 BASE MVA = 100.00

DADOS DE LINHA EM (P. U.)

BARRA	NAME	BARRA	NAME	RESISTENCIA	REATANCIA	SUSCEPTANCIA	TAPES (TRAFCO)
1	SCEVOLA	2	TUKOFF	*01938	*05917	*02640	
1	SCEVOLA	5	SUEDES	*05403	*22304	*02460	
2	TUKOFF	3	METZKER	*04699	*19797	*02190	
2	TUKOFF	4	A.RAUJO	*05311	*17632	*01870	
2	TUKOFF	5	SUEDES	*05595	*17383	*01700	
3	METZKER	4	A.RAUJO	*06701	*17103	*01730	
4	ARAUJO	5	SUEDES	*01335	*04221	*00640	
4	ARAUJO	7	FRANCA	*00000	*20912	*00000	
4	ARAUJO	9	HEVELTON	*00000	*55619	*00000	
5	GUEDES	6	LESSA	*00000	*25202	*00000	
6	LESSA	11	OMAR	*09493	*19890	*00000	
6	LESSA	12	RUBEN	*12291	*25531	*00000	
6	LESSA	13	IANY	*06515	*13n27	*00000	
7	FRANCA	9	FROSSARD	*00000	*17615	*00000	
7	FRANCA	9	HEVELTON	*00000	*11091	*00000	
9	HEVELTON	10	ELIAS	*03191	*08450	*00000	
9	HEVELTON	14	SONTICO	*12711	*27039	*00000	
10	ELIAS	11	OMAR	*08205	*19207	*00000	
12	RUBEN	13	IANY	*22092	*19953	*00000	
13	IANY	14	SONTICO	*17093	*34802	*00000	

BARRA DE COMPENSACAO
BARRA NOVA
TENSAO
(P.U.)

1 SCEVOLA 1.06000

BARRAS DE SERCACAO

BARRA	NOVA	TENSAO (P.U.)	P.ATIVA (MW)	P.REAT (MAX) (MVAR)	P.REAT (MIN) (MVAR)
2 TUKEFF	1.04500	40.000	50.000	-40.000	-40.000
3 METZKER	1.01000	0.000	60.000	-40.000	-40.000
6 LESSA	1.07000	0.000	45.000	-5.000	-5.000
8 FROSSARD	1.09000	0.000	45.000	-6.000	-6.000

BARRAS DE CARGA

BARRA	NOVA	TENSAO (P.U.)	P.ATIVA (MW)	P.REATIVA (MVAR)	P.REAT/CAPAC (MVAR)
1 SCEVOLA	1.06000	0.000	0.000	0.000	0.000
2 TUKEFF	1.04500	21.700	12.700	0.000	0.000
3 METZKER	1.01000	94.200	19.000	0.000	0.000
4 ARAUJO	1.00000	47.800	-3.900	0.000	0.000
5 SJEDES	1.00000	7.600	1.500	0.000	0.000
6 LESSA	1.07000	11.200	7.500	0.000	0.000
7 FRANCA	1.00000	0.000	0.000	0.000	0.000
8 FROSSARD	1.09000	0.000	0.000	0.000	0.000
9 HEVELTON	1.00000	29.500	16.600	19.000	19.000
10 ELIAS	1.00000	9.000	5.300	0.000	0.000
11 OMAR	1.00000	3.500	1.800	0.000	0.000
12 RUBEN	1.00000	6.100	1.500	0.000	0.000
13 IANNY	1.00000	13.500	5.300	0.000	0.000
14 JUVIN	1.00000	14.900	5.000	0.000	0.000

TOLERANCIA DO GRADIENTE DE TENSAO = 50000
 TOLERANCIA DO GRADIENTE DE POTENCIA = 1.00000
 FATOR DE CORRECAO DO GRADIENTE DE TENSAO = -0.00015
 FATOR DE CORRECAO DO GRADIENTE DE POTENCIA = -0.30000
 NUMERO MAXIMO DE ITERACOES PERMITIDAS NA SOLUCAO DO FLUXO DE POTENCIA OTIMO = 10

FUNCAO OBJETIVO -MINIMIZACAO DOS CUSTOS DE PRODUCAO VARIAVEIS DE CONTROLE- TENSAO E POTENCIA DAS BARRAS DE GERACAO

BARRA	NOME	VMAX (P.J.)	VMIN (P.J.)	PGMAX (MW)	PGMIN (MW)	DADOS DE BARRA		CUSTO DE CUSTO C(5/MW)	FATORES DE PENALIZACAO TENSAO	POTENCIA ANGULO TAPE
						FUNCAO A(B)	B(S/MW)			
1	SCEVOLLA	1.100	1.000	200.0	50.0	105.000	2.450	.005	1000.0	1000.0
2	TUKOFF	1.100	1.000	100.0	20.0	44.400	3.510	.005	1000.0	2000.0
3	METZKE	1.100	1.000	0	0	0.000	0.000	0.000	1000.0	1000.0
4	ARAUJO	1.100	900	0	0	0.000	0.000	0.000	1000.0	1000.0
5	GUEDES	1.100	900	0	0	0.000	0.000	0.000	1000.0	1000.0
6	LESSA	1.100	1.000	100.0	20.0	40.600	3.890	.005	1000.0	1000.0
7	FRANCA	1.100	900	0	0	0.000	0.000	0.000	1000.0	1000.0
8	FRUSSARD	1.100	1.000	0	0	0.000	0.000	0.000	1000.0	1000.0
9	HEVELTON	1.100	900	0	0	0.000	0.000	0.000	1000.0	1000.0
10	ELIAS	1.100	900	0	0	0.000	0.000	0.000	1000.0	1000.0
11	OMAR	1.100	900	0	0	0.000	0.000	0.000	1000.0	1000.0
12	RUBEN	1.100	900	0	0	0.000	0.000	0.000	1000.0	1000.0
13	IANY	1.100	900	0	0	0.000	0.000	0.000	1000.0	1000.0
14	GONTijo	1.100	900	0	0	0.000	0.000	0.000	1000.0	1000.0

TENSÕES E POTÊNCIAS DAS BARRAS

BARRA	VÔME	TENSÃO (P.U.)	AVGULÓ (GRAUS)	PGER (W)	QGER (MVAR)	PCARGA (W)	QCARGA (MVAR)	REAT/CAPAC (MVAR)
1	SCEVOLA	1.0500	*01	231.8	-20.2	*0	*0	*0
2	TUKOFF	1.0450	-4.94	40.0	32.5	21.7	12.7	*0
3	METZKER	1.0100	-12.60	*0	19.2	94.2	19.0	*0
4	ARAUJO	1.0290	-10.39	*0	*0	47.8	-3.9	*0
5	GUEDES	1.0342	-3.92	*0	*0	7.6	1.6	*0
6	LESSA	1.0700	-14.60	*0	39.8	11.2	7.5	*0
7	FRAVCA	1.0558	-13.51	*0	*0	*0	*0	*0
8	FROSSARD	1.0900	-13.51	*0	21.2	*0	*0	*0
9	HEVELTON	1.0496	-15.12	*0	*0	29.5	16.6	20.9
10	ELIAS	1.0459	-15.31	*0	*0	9.0	5.8	*0
11	OYAR	1.0546	-15.08	*0	*0	3.5	1.8	*0
12	RJEN	1.0554	-15.44	*0	*0	6.1	1.6	*0
13	IANY	1.0501	-15.50	*0	*0	13.5	5.8	*0
14	GONTIJO	1.0318	-15.29	*0	*0	14.9	5.0	*0

FLUXO DE POTÊNCIA NAS LINHAS

BARRA	PARA	BARRA	P.ATIVA (W)	P.REATIVA (MVAR)
1	SCEVOLA	2 TUKOFF	155.666	-18.637
1	SCEVOLA	5 SUEDES	76.173	-1.604
2	TUKOFF	1 SCEVOLA	-151.436	28.628
2	TUKOFF	3 METZKER	72.504	4.829
2	TUKOFF	4 ARAUJO	55.900	-7.220
2	TUKOFF	5 SUEDES	41.331	-6.447
3	METZKER	2 TUKOFF	-70.226	2.454
3	METZKER	4 ARAUJO	-73.972	-2.276
4	ARAUJO	2 TUKOFF	-54.217	10.316
4	ARAUJO	3 METZKER	24.351	1.444
4	ARAUJO	5 SUEDES	-62.219	7.679
4	ARAUJO	7 FRANCIA	25.270	-12.332
4	ARAUJO	9 HEVELTON	-16.003	-3.153
5	GUEDES	1 SCEVOLA	-73.363	10.424
5	GUEDES	2 TUKOFF	-40.424	7.379
5	GUEDES	4 ARAUJO	62.715	-6.791
5	GUEDES	6 LESSA	43.478	-12.552
6	LESSA	5 SUEDES	-43.478	17.377
6	LESSA	11 OYAR	7.108	4.915
6	LESSA	12 RJEN	7.659	2.457
6	LESSA	13 IANY	17.454	7.570
7	FRANCA	4 ARAUJO	-25.270	14.254
7	FRANCA	8 FROSSARD	*000	-20.523
7	FRANCA	9 HEVELTON	23.252	6.254
8	FROSSARD	7 FRANCA	*000	21.199
9	HEVELTON	4 ARAUJO	-16.003	4.551
9	HEVELTON	7 FRANCA	-25.255	-5.437

12	RUBEN	6	LESSA	-7.619
12	RUBEN	13	IANY	1.647
13	IANY	6	LESSA	-17.245
13	IANY	12	RUBEN	-1.640
13	IANY	14	GONIJO	5.635
13	IANY	9	HEVELTON	2.786
14	GONIJO	13	IANY	-9.307
14	GONIJO			-2.344
				-2.661

PERDIDAS NO SISTEMA

POTENCIA ATIVA
(MW)
(MVAR)

13.31032

19.96229



$$\begin{aligned} \text{ITERACAO} = \\ \text{FUNCDAO OBJETIVO} = \end{aligned}$$

0
1175.153 (\$)

BARRA	VOME	LAMBDA P \$/PUVMW	LAMBDA Q \$/PUVMVAR	GRADIENTE V \$/PUVMW	GRADIENTE P \$/PUVMW	NOVO V PU	NOVO P HW
1	SCEVOLA	-	-	-117.355	-	1.0776	-
2	TJKOFF	502.796	*.000	-3.276	1.0455	73.54	73.54
3	METZKER	541.219	*.000	-22.035	1.0133	*.00	*.00
4	ARAUJO	529.380	-1.399	*.000	1.0290	*.00	*.00
5	SJEDES	521.142	-.569	*.000	1.0342	*.00	*.00
6	LESSA	521.812	*.000	13.470	-40132.8	100.00	100.00
7	FRANCIA	528.941	*.419	*.000	*.000	1.0558	*.00
8	FROSSARD	528.940	*.000	-2.509	-528.940	*.00	*.00
9	HEVELTON	528.799	1.643	*.000	*.000	1.0496	*.00
10	ELIAS	530.523	3.256	*.000	*.000	1.0459	*.00
11	OMAR	527.524	2.504	*.000	*.000	1.0546	*.00
12	RUBEN	530.034	2.353	*.000	*.000	1.0554	*.00
13	IANY	532.734	4.203	*.000	*.000	1.0501	*.00
14	SCONTIJO	541.530	6.720	*.000	*.000	1.0318	*.00

$$\begin{aligned} \text{ITERACAO} = \\ \text{FUNCDAO OBJETIVO} = \end{aligned}$$

1
1183.826 (\$)

BARRA	VOME	LAMBDA P \$/PUVMW	LAMBDA Q \$/PUVMVAR	GRADIENTE V \$/PUVMW	GRADIENTE P \$/PUVMW	NOVO V PU	NOVO P HW
1	SCEVOLA	-	-	87.761	-	1.0644	-
2	TJKOFF	343.073	*.000	-111.453	81.455	1.0623	49.60
3	METZKER	366.184	*.000	-18.180	-366.184	1.0160	*.00
4	ARAUJO	354.250	-1.148	*.000	*.000	1.0414	*.00
5	SJEDES	347.801	-.636	*.000	*.000	1.0505	*.00
6	LESSA	339.167	*.000	-7.222	149.933	1.0691	55.06
7	FRANCIA	358.904	-.551	*.000	*.000	1.0550	*.00
8	FROSSARD	358.904	*.000	3.301	-358.904	1.0899	*.00
9	HEVELTON	361.359	-.661	*.000	*.000	1.0402	*.00
10	ELIAS	350.110	*.927	*.000	*.000	1.0359	*.00
11	OMAR	351.412	1.400	*.000	*.000	1.0465	*.00
12	RUBEN	345.162	1.763	*.000	*.000	1.0532	*.00
13	IANY	349.395	2.883	*.000	*.000	1.0452	*.00
14	SCONTIJO	363.952	3.751	*.000	*.000	1.0231	*.00

$$\begin{aligned} \text{ITERACAO} = \\ \text{FUNCDAO OBJETIVO} = \end{aligned}$$

2
1139.379 (\$)

BARRA	VOME	LAMBDA P \$/PUVMW	LAMBDA Q \$/PUVMVAR	GRADIENTE V \$/PUVMW	GRADIENTE P \$/PUVMW	NOVO V PU	NOVO P HW
1	SCEVOLA	-	-	-55.615	-	1.0728	-
2	TJKOFF	423.753	*.000	71.379	-23.149	1.0504	56.55
3	METZKER	452.823	*.000	-23.547	-452.823	1.0196	*.00

12	RJEN	434.266	2.044
13	IANY	438.165	3.355
14	SONTIJO	451.314	4.493
			• 000
			• 000
			• 000
			• 000
			• 000

$$\text{ITERACAO} = \frac{3}{\text{FUNCAO OBJETIVO}} = 1136.640 (\$)$$

BARRA	NAME	LAMBDA P \$/PUWVAR	LAMBDA Q \$/PUWVAR	GRADIENTE V \$/PJY	GRADIENTE P \$/PUWVAR	NOVO V PU	NOVO P MW
1	SCEVOLA	-	-	2.316	-	1.0724	-
2	TUKOFF	420.441	• 000	-64.024	-12.892	1.0600	60.42
3	METZKER	450.421	• 000	-1.175	-450.421	1.0215	• 00
4	ARAJJO	438.047	-1.175	• 000	• 000	1.0403	• 00
5	SUedes	430.653	-637	• 000	• 000	1.0472	• 00
6	LESSA	425.521	• 000	1.3.434	1.0586	45.94	
7	FRAUNCA	440.755	-2.39	• 000	• 000	1.0575	• 00
8	FROSSARD	440.755	• 000	1.437	-440.755	1.0891	• 00
9	HEVENTON	442.191	• 018	• 000	• 000	1.0473	• 00
10	ELIAS	442.117	1.612	• 000	• 000	1.0430	• 00
11	OMAR	435.631	1.631	• 000	• 000	1.0516	• 00
12	RJEN	432.693	2.047	• 000	• 000	1.0542	• 00
13	IANY	436.430	3.400	• 000	• 000	1.0478	• 00
14	SONTIJO	449.024	4.786	• 000	• 000	1.0291	• 00

$$\text{ITERACAO} = \frac{4}{\text{FUNCAO OBJETIVO}} = 1135.583 (\$)$$

BARRA	NAME	LAMBDA P \$/PUWVAR	LAMBDA Q \$/PUWVAR	GRADIENTE V \$/PJY	GRADIENTE P \$/PUWVAR	NOVO V PU	NOVO P MW
1	SCEVOLA	-	-	-48.109	-	1.0797	-
2	TUKOFF	421.178	• 000	2.357	-9.756	1.0597	63.35
3	METZKER	450.575	• 000	-25.302	-450.575	1.0254	• 00
4	ARAJJO	438.812	• 934	• 000	• 000	1.0440	• 00
5	SUedes	431.536	• 349	• 000	• 000	1.0508	• 00
6	LESSA	426.822	• 000	-1.375	8.114	1.0588	43.49
7	FRAUNCA	441.299	-2.02	• 000	• 000	1.0594	• 00
8	FROSSARD	441.299	• 000	1.213	-441.299	1.0389	• 00
9	HEVENTON	442.617	• 025	• 000	• 000	1.0494	• 00
10	ELIAS	442.666	1.550	• 000	• 000	1.0448	• 00
11	OMAR	436.534	1.570	• 000	• 000	1.0526	• 00
12	RJEN	433.285	2.049	• 000	• 000	1.0542	• 00
13	IANY	437.605	3.372	• 000	• 000	1.0481	• 00
14	SONTIJO	449.753	4.730	• 000	• 000	1.0305	• 00

$$\text{ITERACAO} = \frac{5}{\text{FUNCAO OBJETIVO}} = 1134.918 (\$)$$

SUEDES	430.557	-310	*000
LESSA	426.214	-1	-1.540
FRANCA	440.153	*000	*000
FROSSARD	440.153	*000	*000
HEVELTON	441.396	*007	1.054
ELIAS	441.524	1.549	1.054
OMAR	435.535	1.553	0.000
RUBEN	433.344	2.040	0.000
IANY	436.878	3.352	0.000
SONTUJO	443.703	4.712	0.000
			1.0312

ITERACAO = 6
FUNCACO OBJETIVO = 1134.485 (S)

BARRA	VOME	LAMBDA P		GRADIENTE V		GRADIENTE P		NOVO V		NOVO P	
		\$	/PUVW	\$	/PUVW	\$	/PUVW	\$	/PUVW	\$	/PUVW
1	SCEVOLA	-		-36.704		-		1.0862		-	
2	TUKOFF	420.335	*000	-6.876	-4.353	1.0576	6.278				
3	METZKER	449.536	*000	-25.055	-44.9.535	1.0319	0.00				
4	ARAUDO	438.305	*649	*000	*000	1.0489	0.00				
5	SUEDES	431.215	*087	*000	*000	1.0556	0.00				
6	LESSA	425.964	*000	-3.399	3.541	1.0695	40.51				
7	FRANCA	440.552	*146	*000	*000	1.0617	0.00				
8	FROSSARD	440.552	*000	*980	-44.0.552	1.0886	0.00				
9	HEVELTON	441.741	*046	*000	*000	1.0521	0.00				
10	ELIAS	441.925	1.500	*000	*000	1.0472	0.00				
11	OMAR	436.201	1.511	*000	*000	1.0541	0.00				
12	RUBEN	434.039	2.043	*000	*000	1.0548	0.00				
13	IANY	437.553	3.333	*000	*000	1.0489	0.00				
14	SONTUJO	449.179	4.668	*000	*000	1.0325	0.00				

ITERACAO = 7
FUNCACO OBJETIVO = 1134.173 (S)

BARRA	VOME	LAMBDA Q		GRADIENTE V		GRADIENTE P		NOVO V		NOVO P	
		\$	/PUVW	\$	/PUVW	\$	/PUVW	\$	/PUVW	\$	/PUVW
1	SCEVOLA	-		-12.399		-		1.0881		-	
2	TUKOFF	419.547	*000	-35.247	-2.254	1.0729	66.95				
3	METZKER	448.530	*000	-19.531	-44.8.530	1.0348	0.00				
4	ARAUDO	437.552	*549	*000	*000	1.0508	0.00				
5	SUEDES	430.564	*018	*000	*000	1.0576	0.00				
6	LESSA	426.238	*000	-3.975	2.972	1.0701	39.52				
7	FRANCA	434.559	*121	*000	*000	1.0626	0.00				
8	FROSSARD	439.565	*000	*728	-4.39.565	1.0885	0.00				
9	HEVELTON	441.025	*042	*000	*000	1.0533	0.00				
10	ELIAS	441.243	1.492	*000	*000	1.0483	0.00				
11	OMAR	435.535	1.497	*000	*000	1.0549	0.00				
12	RUBEN	433.639	2.038	*000	*000	1.0554	0.00				
13	IANY	437.075	3.317	*000	*000	1.0496	0.00				
14	SONTUJO	444.526	4.649	*000	*000	1.0342	0.00				

1	SCEVOLA	-	1.0925	-		
2	TUKOFF	419.913	•000	-1.948	1.0747	67.55
3	METZKER	448.932	•000	-12.148	1.0383	.00
4	ARAUJO	437.924	-385	-23.334	1.0538	.00
5	GUEDES	430.948	•000	-448.932	1.0606	.00
6	LESSA	426.914	•153	•000	1.0709	39.10
7	FRANCA	440.068	•000	1.702	1.0641	.00
8	FROSSARD	440.068	-0.092	•000	1.0641	.00
9	FEVELTON	441.201	•000	-440.068	1.0884	.00
10	ELIAS	441.444	-0.065	•000	1.0549	.00
11	DMAR	435.914	1.460	•000	1.0497	.00
12	RUBEN	434.006	1.471	•000	1.0560	.00
13	IANY	437.413	2.040	•000	1.0560	.00
14	CONTIGO	448.752	3.303	•000	1.0503	.00
			4.617	•000	1.0347	.00

$$\text{INTERACAO} = \frac{9}{\text{FUNCAO OBJETIVO}} = 11333.674 \text{ (\$)}$$

BARRA	VOLUME	LAMBDA P \$/PUNVAR	LAMBDA Q \$/PUNVAR	GRADIENTE V \$/PJV	GRADIENTE P \$/PUNVAR	NOVO V PJ	NOVO P HW
1	SCEVOLA	-	-	-15.321	-	1.0948	-
2	TUKOFF	419.468	•000	-28.647	-•921	1.0790	67.92
3	METZKER	448.465	•000	-19.802	-448.466	1.0413	.00
4	ARAUJO	437.515	-283	•000	•000	1.0560	.00
5	GUEDES	430.590	•230	•000	•000	1.0528	.00
6	LESSA	426.617	•000	-6.097	1.487	1.0718	38.66
7	FRANCA	439.632	-0.065	•000	•000	1.0652	.00
8	FROSSARD	439.532	•000	3.392	-439.632	1.0584	.00
9	FEVELTON	440.750	-0.059	•000	•000	1.0561	.00
10	ELIAS	441.008	1.457	•000	•000	1.0509	.00
11	DMAR	435.544	1.462	•000	•000	1.0570	.00
12	RUBEN	433.658	•0.56	•000	•000	1.0569	.00
13	IANY	437.070	3.290	•000	•000	1.0513	.00
14	CONTIGO	448.317	4.603	•000	•000	1.0358	.00

TENSÕES E POTÊNCIAS DAS BARRAS

BARRA	NOME	TENSÃO (P.U.)	ÂNGULO (GRAUS)	PGER (MW)	PGER (MVAR)	PCARGA (MW)	QCARGA (MVAR)	REAT/CAPAC (MVAR)
1	SCEVOLA	1.0948	•01	161.1	-1.8	•0	0	12.7 •0
2	TUKOFF	1.0790	-3.05	67.8	20.7	21.7	0	0
3	METZKER	1.0413	-9.80	•0	17.4	94.2	19.0	0
4	ARAUJO	1.0538	-7.34	•0	•0	47.8	-3.9	0
5	GUEDES	1.0656	-5.99	•0	•0	7.6	1.6	0
6	LESSA	1.0718	-8.09	38.7	18.4	11.2	7.5	0
7	FRANCA	1.0656	-9.59	•0	•0	•0	0	0
8	FROSSARD	1.0834	-9.59	•0	13.5	•0	0	0
9	HEVELTON	1.0577	-10.77	•0	•0	29.5	16.6	21.3
10	ELIAS	1.0524	-10.59	•0	•0	9.0	5.8	0
11	OMAR	1.0592	-9.49	•0	•0	3.5	1.8	0
12	RJZEN	1.0579	-9.10	•0	•0	6.1	1.6	0
13	IANY	1.0523	-9.32	•0	•0	13.5	5.8	0
14	GONTIJO	1.0372	-11.14	•0	•0	14.9	5.0	0

FLUXO DE POTÊNCIA NAS LINHAS

BARRA	PARA	BARRA	P.ATIVA (MW)	P.REATIVA (MVAR)
1	SCEVOLA	2 TUKOFF	105.614	-4.100
1	SCEVOLA	5 GUEDES	55.505	2.281
2	TUKOFF	1 SCEVOLA	-103.809	6.491
2	TUKOFF	3 METZKER	68.688	6.940
2	TUKOFF	4 ARAUJO	47.942	-2.716
2	TUKOFF	5 GUEDES	33.302	-2.700
3	METZKER	2 TUKOFF	-66.756	-1.265
3	METZKER	4 ARAUJO	-27.443	-0.286
4	ARAUJO	2 TUKOFF	-46.793	4.064
4	ARAUJO	3 METZKER	27.909	-0.433
4	ARAUJO	5 GUEDES	-62.141	3.059
4	ARAUJO	7 FRANCA	21.180	-3.514
4	ARAUJO	9 HEVELTON	12.051	.572
5	GUEDES	1 SCEVOLA	-54.111	.608
5	GUEDES	2 TUKOFF	-32.758	2.406
5	GUEDES	4 ARAUJO	62.602	-2.324
5	GUEDES	6 LESSA	15.670	-2.331
6	LESSA	5 GUEDES	-16.670	2.950
6	LESSA	11 OMAR	14.253	•705
6	LESSA	12 RUBEN	8.615	1.780
6	LESSA	13 IANY	21.258	5.483
7	FRANCA	4 ARAUJO	-21.180	4.374
7	FRANCA	8 FROSSARD	•000	-13.193
7	FRANCA	9 HEVELTON	21.150	8.820
8	FROSSARD	7 FRANCA	•000	13.452
9	HEVELTON	4 ARAUJO	-12.051	•150
9	HEVELTON	7 FRANCA	-21.180	-8.311
10	HEVELTON	10 ELIAS	-1.486	7.239
14	HEVELTON	14 SONYLIO	5.27	

12	RUBEN	13	IANY	2.432
13	IANY	6	ESSA	-20.981
13	IANY	12	RUBEN	-2.420
13	IANY	14	GONTIJO	9.901
13	IANY	9	HEVELTON	-5.150
14	GONTIJO	13	IANY	-5.445
14	GONTIJO	13	IANY	-9.750
				-4.446

PERDAS NO SISTEMA

POTENCIA ATIVA
(MW)

8.60732

POTENCIA REATIVA
(MVAR)

-4.47556

ANEXO VII

TABELA DE RESULTADOS DOS CASOS
DE MINIMIZAÇÃO DAS PERDAS

CÁSOS	SISTEMA	VARIAV. DE CONTRO- LE (u)	CORREÇ. V	CORREÇ. PG	FUNÇÃO OBJETIVO - M ^T - (Iterações)							
					0	1	2	3	4	5	6	7
9	5 barras	V_i, PG_i	•0015	3.0	5.14	4.94	4.80	4.69	4.59	4.50	4.43	4.35
10	"	V_i	•0015	-	5.14	5.02	4.92	4.82	4.73	4.65	4.57	4.49
11	"	PG_i	-	3.0	5.14	5.06	5.03	5.01	5.00	5.00	5.00	5.00
12	14 barras	V_i, PG_i	•0015	3.0	13.31	7.86	7.06	7.05	6.57	6.63	6.58	6.53
13	"	V_i	•0015	-	13.31	13.20	13.23	13.08	13.12	13.03	13.07	13.01
14	"	PG_i	-	3.0	13.31	7.52	7.34	7.18	7.06	6.96	6.87	6.81
15	"	V_i	•0005	-	13.31	13.09	12.93	12.80	12.68	12.57	12.47	12.38

ANEXO VIII

LISTAGEM DE COMPUTADOR DOS RESULTADOS DO CASO 12
(MINIMIZAÇÃO DAS PERDAS)

CASO NUMERO 1

BARRA COMPENSACAO = 1
 P TOLERANCIA = .010000
 Q TOLERANCIA = .010000
 V TOLERANCIA = .010000
 BASE MVA = 100.00

DADOS DE LINHA EM (P. U.)

BARRA	NAME	BARRA	NAME	RESISTENCIA	REATANCIA	SUSCEPTANCIA	TAPES (TRAFO)
1	SCEVOLA	2	TUKOFF	.01938	.05917	.02640	.00000
1	SCEVOLA	5	SUEDES	.05403	.22304	.02460	.00000
2	TUKOFF	3	METZKER	.04599	.19797	.02190	.00000
2	TUKOFF	4	ARAUJO	.05811	.17632	.01870	.00000
2	TUKOFF	5	SUEDES	.05695	.17399	.01700	.00000
3	METZKER	4	ARAUJO	.06701	.17103	.01730	.00000
4	ARAUJO	5	SUEDES	.01335	.04221	.00640	.00000
4	ARAUJO	7	FRANCIA	.00000	.20912	.00000	.00000
4	ARAUJO	9	HEVELTON	.00000	.55619	.00000	.00000
5	GJEDES	5	LESSA	.00000	.25202	.00000	.00000
6	LESSA	11	OMAR	.09499	.19890	.00000	.00000
6	LESSA	12	RUBEN	.12291	.25581	.00000	.00000
6	LESSA	13	IANY	.05515	.13027	.00000	.00000
7	FRANCA	3	FROSSARD	.00000	.17615	.00000	.00000
7	FRANCA	9	HEVELTON	.00000	.11001	.00000	.00000
9	HEVELTON	10	ELIAS	.03181	.08450	.00000	.00000
9	HEVELTON	14	SONTUJO	.12711	.27039	.00000	.00000
10	ELIAS	11	CAR	.08205	.19207	.00000	.00000
12	RUBEN	13	IANY	.22092	.19983	.00000	.00000
13	IANY	14	GONTIJO	.17093	.34802	.00000	.00000

BARRA NOME TENSÃO (P.U.)
1 SCEVOLA 1.06000

BARRAS DE GERACAO

BARRA	NOME	TENSÃO (P.U.)	P.ATIVA (MW)	P.REAT(MAX) (MVAR)	P.REAT(MIN) (MVAR)
2	TUKOFF	1.04500	40.000	50.000	-40.000
3	METZKER	1.01000	*.000	60.000	-40.000
6	LESSA	1.07000	*.000	45.000	-6.000
9	FROSSARD	1.09000	*.000	45.000	-6.000

BARRAS DE CARGA

BARRA	NOME	TENSÃO (P.U.)	P.ATIVA (MW)	P.REATIVA (MVAR)	P.REAT/CAPAC (MVAR)
1	SCEVOLA	1.06000	*.000	*.000	*.000
2	TUKOFF	1.04500	21.700	12.700	*.000
3	METZKER	1.01000	94.200	19.000	*.000
4	ARAUJO	1.00000	47.800	-3.900	*.000
5	SJEDES	1.00000	7.600	1.500	*.000
6	LESSA	1.07000	11.200	7.500	*.000
7	FRANCA	1.00000	*.000	*.000	*.000
8	FROSSARD	1.09000	*.000	*.000	*.000
9	HEVELTON	1.00000	29.500	16.500	19.000
10	ELIAS	1.00000	9.000	5.900	*.000
11	DMAR	1.00000	3.500	1.300	*.000
12	RUBEN	1.00000	6.100	1.500	*.000
13	IANY	1.00000	13.500	5.300	*.000
14	GONTIJO	1.00000	14.900	5.000	*.000

TOLERANCIA DO GRADIENTE DE TENSAO = .50000
 TOLERANCIA DO GRADIENTE DE POTENCIA = 1.00000
 FATOR DE CORRECAO DO GRADIENTE DE TENSAO = -.00150
 FATOR DE CORRECAO DO GRADIENTE DE POTENCIA = -3.00000
 NUMERO MAXIMO DE ITERACOES PERMITIDAS =
 NA SOLUCAO DO FLUXO DE POTENCIA OTIMO = 10

FUNCAO OBJETIVO -MINIMIZACAO DAS PERDAS DO SISTEMA
 VARIAVEIS DE CONTROLE- TENSAO E POTENCIA DAS BARRAS DE GERACAO

BARRA	NOME	V _{MAX} (P.U.)	V _{MIN} (P.U.)	DADOS DE BARRA		CUSTO B (\$/kW)	CUSTO C (\$/MW ²)	FATORES DE TENSAO POTENCIA	DE PENALIZACAO ANGULO TAPE
				PGMAX (MW)	PGMIN (MW)				
1	SCEVOLA	1.100	1.000	200.0	50.0	105.000	2.450	.005	1000.0 1000.0 1000.0
2	TUCKOFF	1.100	1.000	100.0	20.0	44.400	3.510	.005	1000.0 1000.0 1000.0
3	METZKER	1.100	1.000	*0	*0	*000	*000	*000	1000.0 1000.0 1000.0
4	ARAUJO	1.100	*900	*0	*0	*000	*000	*000	1000.0 1000.0 1000.0
5	GUEDES	1.100	*900	*0	*0	*000	*000	*000	1000.0 1000.0 1000.0
6	LESSA	1.100	1.000	100.0	20.0	40.500	3.890	*005	1000.0 1000.0 1000.0
7	FRAYCA	1.100	*900	*0	*0	*000	*000	*000	1000.0 1000.0 1000.0
8	FROSSARD	1.100	1.000	*0	*0	*000	*000	*000	1000.0 1000.0 1000.0
9	HEVELTON	1.100	*900	*0	*0	*000	*000	*000	1000.0 1000.0 1000.0
10	ELIAS	1.100	*900	*0	*0	*000	*000	*000	1000.0 1000.0 1000.0
11	OMAR	1.100	*900	*0	*0	*000	*000	*000	1000.0 1000.0 1000.0
12	RUBEN	1.100	*900	*0	*0	*000	*000	*000	1000.0 1000.0 1000.0
13	IAINY	1.100	*900	*0	*0	*000	*000	*000	1000.0 1000.0 1000.0
14	GONTIJO	1.100	*900	*0	*0	*000	*000	*000	1000.0 1000.0 1000.0

TENSÕES E POTÊNCIAS DAS BARRAS

BARRA	NOME	TENSÃO (P.U.)	ÂNGULO (GRAUS)	PGER (MW)	QGER (MVAR)	PCARGA (MW)	QCARGA (MVAR)	REAT/CAPAC (MVAR)
1	SCEVOLA	1.0500	01	231.8	-20.2	0	0	0
2	P. TJKOFF	1.0450	-4.94	40.0	32.5	21.7	12.7	0
3	P. METZKER	1.0100	-12.60	0	19.2	94.2	19.0	0
4	ARAUJO	1.0290	-10.39	0	0	47.8	-3.9	0
5	GUEDES	1.0342	-8.92	0	0	7.6	1.6	0
6	LESSA	1.0700	-14.60	0	39.8	11.2	7.5	0
7	FRANCA	1.0558	-13.51	0	0	0	0	0
8	P. FROSSARD	1.0900	-13.51	0	21.2	0	0	0
9	HEVELTON	1.0496	-15.12	0	0	29.5	16.6	20.9
10	ELIAS	1.0459	-15.31	0	0	9.0	5.8	0
11	OMAR	1.0546	-15.08	0	0	3.5	1.8	0
12	RUBEN	1.0554	-15.44	0	0	6.1	1.6	0
13	IANY	1.0501	-15.50	0	0	13.5	5.8	0
14	GONTIJO	1.0318	-16.29	0	0	14.9	5.0	0

FLUXO DE POTÊNCIA NAS LINHAS

BARRA	PARA	BARRA	P.ATIVA (MW)	P. REATIVA (MVAR)
1	SCEVOLA	2 TJKOFF	155.665	-18.637
1	SCEVOLA	5 GUEDES	76.173	-1.604
2	TUKOFF	1 SCEVOLA	-151.436	28.628
2	TUKOFF	3 METZKER	72.504	4.929
2	TUKOFF	4 ARAUJO	55.900	-7.220
2	TUKOFF	5 GUEDES	41.331	-6.447
3	METZKER	2 TJKOFF	-70.226	2.454
3	METZKER	4 ARAUJO	-23.972	-2.276
4	ARAUJO	2 TJKOFF	-54.217	10.316
4	ARAUJO	3 METZKER	24.351	1.444
4	ARAUJO	5 GUEDES	-62.219	7.679
4	ARAUJO	7 FRANCA	28.270	-12.382
4	ARAUJO	9 HEVELTON	16.003	-3.153
4	ARAUJO	1 SCEVOLA	-73.383	10.424
5	GUEDES	2 TJKOFF	-40.424	7.379
5	GUEDES	4 ARAUJO	62.715	-6.791
5	GUEDES	6 LESSA	43.479	-12.552
6	LESSA	5 GUEDES	-43.479	17.377
6	LESSA	11 OMAR	7.108	4.915
6	LESSA	12 IANY	7.689	2.457
6	LESSA	13 IANY	17.454	7.570
7	FRANCA	4 ARAUJO	-28.270	14.264
7	FRANCA	9 HEVELTON	0.000	-20.523
7	FRANCA	1 FROSSARD	28.255	6.254
3	FROSSARD	1 FROSSARD	-0.000	21.189
9	HEVELTON	4 ARAUJO	-16.003	4.551
9	HEVELTON	7 FRANCA	-28.255	-5.437
		7 FRANCA	5.362	2.651

12	RUBEN	6	LESSA	-7.619
12	RUBEN	13	IANY	-1.647
13	IANY	6	LESSA	-7.245
13	IANY	12	RJSEN	-1.640
13	IANY	14	GONTIJO	5.635
13	IANY	14	GONTIJO	-9.307
14	GONTIJO	9	HEVELTON	-2.344
14	GONTIJO	13	IANY	-5.574
14	GONTIJO			-2.661

PÉRDAS NO SISTEMA

POTENCIA ATIVA
(MW)

13.31032

POTENCIA REATIVA
(MVAR)

19.96229

FUNCAO OBJETIVO =

13.310 (MW)

BARRA	VOCÊ	LAMBDA P MW/PUMW	LAMBDA Q MW/PUMVAR	GRADIENTE V MW/PJV	NOVO V MW
1	SCEVOLA	-	-	-24.611	1.0969
2	TUKOFF	105.443	*000	-5.443	1.0460
3	METZKER	113.501	*000	-13.501	1.0169
4	ARAUJO	111.019	*293	*000	1.0290
5	SUJES	109.291	-119	*000	1.0342
6	LESSA	109.431	*000	-40009.4	1.0658
7	FRENCA	110.926	*083	*000	1.0558
8	FROSSARD	110.926	*000	-10.926	1.0908
9	EVELTON	110.897	*345	*000	1.0496
10	EIAS	111.258	*683	*000	1.0459
11	CRAZ	110.692	*525	*000	1.0546
12	RJEN	111.156	*493	*000	1.0554
13	IANY	111.722	*881	*000	1.0501
14	SONTIJO	113.567	1.409	*000	1.0318

ITERACAO =

7.856 (MW)

BARRA	VOCÊ	LAMBDA P MW/PUMW	LAMBDA Q MW/PUMVAR	GRADIENTE V MW/PJV	NOVO V MW
1	SCEVOLA	-	-	9.919	-
2	TUKOFF	102.373	*000	-38.102	-2.373
3	METZKER	108.738	*000	-18.449	-8.738
4	ARAUJO	105.346	1.209	*000	1.0446
5	SUJES	103.387	*210	*000	1.0487
6	LESSA	100.776	*000	-6.313	1.0589
7	FRENCA	106.743	*390	*000	1.0752
8	FROSSARD	105.743	*000	-6.743	1.0591
9	EVELTON	107.479	*012	*000	1.0427
10	EIAS	107.094	-104	*000	1.0376
11	CRAZ	104.470	*344	*000	1.0462
12	RJEN	102.558	*446	*000	1.0513
13	IANY	103.841	*545	*000	1.0436
14	SONTIJO	108.217	*868	*000	1.0238

ITERACAO =

7.056 (MW)

BARRA	VOCÊ	LAMBDA P MW/PUMW	LAMBDA Q MW/PUMVAR	GRADIENTE V MW/PJV	NOVO V MW
1	SCEVOLA	-	-	-8.891	1.0954
2	TUKOFF	102.325	*585	-2.325	1.0559
3	METZKER	108.727	*000	-8.727	1.0480
4	ARAUJO	105.251	-251	*600	1.0668
5	EIAS	102.324	*000	-2.324	1.0734



12 *02.389
 13 *00.000
 14 *00.000
 102.389
 103.829
 108.062
 805
 984
 000
 000
 000
 1.0536
 1.0347

ITERACAO =
FUNCAO OBJETIVO =

3. 7.049 (MW)

BARRA	NOME	LAMBDA P MW/PUMW	LAMBDA Q MW/PUMVAR	GRADIENTE V MW/PUVY	GRADIENTE P MW/PJHM	NOVO V PU	NOVO P MW
1	SCEVOLA	-	-	-1.962	-	1.0983	-
2	TUKOFF	102.094	•000	-36.763	-2.094	1.1000	77.26
3	YETZKER	108.620	•000	-5.782	-8.620	1.0566	•00
4	ARAUJO	105.143	1.155	•000	•000	1.0624	•00
5	GUedes	103.230	•329	•000	•000	1.0704	•00
6	LESSA	100.697	•000	-5.729	-6.97	1.0894	100.00
7	Franca	106.506	•439	•000	•000	1.0659	•00
8	Frossard	106.506	•000	-7.69	-6.506	1.0902	•00
9	Revelton	107.226	•127	•000	•000	1.0535	•00
10	Elias	106.847	•084	•000	•000	1.0493	•00
11	Dimar	104.295	•494	•000	•000	1.0597	•00
12	Ruben	102.437	•514	•000	•000	1.0663	•00
13	Iany	103.674	•523	•000	•000	1.0584	•00
14	Sontijo	107.937	•864	•000	•000	1.0366	•00

BARRA	NOME	LAMBDA P MW/PUMW	LAMBDA Q MW/PUMVAR	GRADIENTE V MW/PUVY	GRADIENTE P MW/PUMW	NOVO V PU	NOVO P MW
1	SCEVOLA	-	-	-15.852	-	1.1000	-
2	TUKOFF	102.043	•000	16.023	-2.043	1.0760	83.39
3	YETZKER	108.136	•000	-8.443	-8.136	1.0693	•00
4	ARAUJO	104.905	•043	•000	•000	1.0797	•00
5	GUedes	103.087	•160	•000	•000	1.0876	•00
6	LESSA	100.625	•000	-4.339	-6.22	1.0959	100.00
7	Franca	106.226	•022	•000	•000	1.0755	•00
8	Frossard	106.226	•000	•135	-6.226	1.0900	•00
9	Revelton	106.930	•088	•000	•000	1.0643	•00
10	Elias	106.575	•335	•000	•000	1.0598	•00
11	Dimar	104.107	•422	•000	•000	1.0694	•00
12	Ruben	102.330	•502	•000	•000	1.0752	•00
13	Iany	103.533	•817	•000	•000	1.0675	•00
14	Sontijo	107.657	1.111	•000	•000	1.0469	•00

BARRA	NOME	LAMBDA Q MW/PUMW	LAMBDA P MW/PUMVAR	GRADIENTE V MW/PUVY	GRADIENTE P MW/PUMW	NOVO V PU	NOVO P MW
5	6.634 (MW)	-	-	-	-	-	-

LESSA	100.394	*000
FRAYCA	105.939	*030
FROSSARD	105.939	*000
FEVELTON	106.636	*000
ELIAS	106.281	*062
OMAR	103.829	*468
RUBEN	102.075	*493
IANY	103.262	*489
SONTIJO	107.352	*832
	1.202	*000
	1.0497	*000

ITERACAO =
FUNCAO OBJETIVO =

6 6.576 (MHz)

BARRA	NOME	LAMBDA P		GRADIENTE V		GRADIENTE P		NOVO P	
		MW	PUMVAR	MW	PJV	MW	PJV	MW	MW
1	SCEVOLA	-	-	-14.375	-	-1.0994	-	-	-
2	TUKOFF	101.739	*634	21.154	-1.739	1.0756	93.28		
3	YETZKER	108.196	*000	1.743	-8.196	1.0535	*00		
4	ARAUJO	104.812	*311	*000	*000	1.0747	*00		
5	GUEDES	103.012	*241	*000	*000	1.0814	*00		
6	LESSA	100.625	*000	-362	-5.25	1.1000	100.00		
7	FRANCA	106.109	*062	*000	*000	1.0750	*00		
8	FROSSARD	106.109	*000	*377	-5.109	1.0897	*00		
9	FEVELTON	106.800	*015	*000	*000	1.0658	*00		
10	ELIAS	106.452	*432	*000	*000	1.0629	*00		
11	OMAR	104.026	*476	*000	*000	1.0760	*00		
12	RUBEN	102.298	*476	*000	*000	1.0848	*00		
13	IANY	103.474	*823	*000	*000	1.0766	*00		
14	SONTIJO	107.529	1.170	*000	*000	1.0518	*00		

ITERACAO =
FUNCAO OBJETIVO =

7 5.529 (MHz)

BARRA	NOME	LAMBDA P		GRADIENTE V		GRADIENTE P		NOVO P	
		MW	PUMVAR	MW	PJV	MW	PJV	MW	MW
1	SCEVOLA	-	-	-1.311	-	-1.1000	-	-	-
2	TUKOFF	101.439.	*000	-35.263	-1.439	1.1000	97.59		
3	YETZKER	107.857	*000	-7.190	-7.857	1.0643	*00		
4	ARAUJO	104.580	1.100	*000	*000	1.0707	*00		
5	GUEDES	102.776	*265	*000	*000	1.0792	*00		
6	LESSA	100.353	*000	-3.239	-3.53	1.1000	100.00		
7	FRANCA	105.901	*316	*000	*000	1.0731	*00		
8	FROSSARD	105.901	*000	-1.343	-5.301	1.0917	*00		
9	FEVELTON	106.600	*220	*000	*000	1.0641	*00		
10	ELIAS	106.238	*321	*000	*000	1.0615	*00		
11	OMAR	103.776	*690	*000	*000	1.0755	*00		
12	RUBEN	102.025	*610	*000	*000	1.0851	*00		
13	IANY	103.296	*493	*000	*000	1.0768	*00		
14	SONTIJO	107.301	*867	*000	*000	1.0509	*00		

Mw / PUVW

		Mw / PUVW	Mw / PUMVAR	Mw / PUVW	Mw / PUMVAR
1	SCEVOLA	-	-	-9.898	-1.1000
2	TUKOFF	101.400	• 000	6.013	1.0910
3	YETZKER	107.586	• 000	-4.777	-1.0715
4	ARAUJO	104.414	• 004	• 000	• 000
5	SUJEDES	102.668	• 081	• 000	1.0938
6	LESSA	100.256	• 000	-2.922	1.0915
7	FRANCA	105.712	• 026	• 000	100.00
8	FROSSARD	105.712	• 000	-5.712	• 000
9	HEVELTON	106.404	• 037	• 000	• 000
10	ELIAS	106.059	• 438	• 000	• 000
11	C MAR	103.651	• 471	• 000	1.0667
12	RUBEN	101.931	• 484	• 000	1.0782
13	IANY	103.102	• 816	• 000	1.0856
14	GONTIJO	107.125	1.168	• 000	1.0777

INTERACAO =
FUNCAO OBJETIVO =

9 6.103 (MW)

	BARRA	NOVE	LAMBDA P Mw / PUMVAR	LAMBDA Q Mw / PUMVAR	GRADIENTE V Mw / PUV	GRADIENTE P Mw / PUMVAR	NOVO P Mw	NOVO V PUV
1	SCEVOLA	-	-	-	1.290	-	1.0981	-
2	TUKOFF	101.171	• 000	-13.723	-1.171	-	1.1000	100.00
3	YETZKER	107.640	• 000	3.417	-7.640	-	1.0663	• 000
4	ARAUJO	104.331	-• 001	• 000	• 000	-	1.0820	• 000
5	SUJEDES	102.577	• 056	• 000	• 000	-	1.0890	• 000
6	LESSA	100.177	• 000	-2.532	-• 177	-	100.00	1.1000
7	FRANCA	105.630	• 032	• 000	• 000	-	1.0791	• 000
8	FROSSARD	105.630	• 000	-• 198	-5.630	-	1.0922	• 000
9	HEVELTON	106.321	• 054	• 000	• 000	-	1.0596	• 000
10	ELIAS	105.974	• 454	• 000	• 000	-	1.0661	• 000
11	C MAR	103.563	• 480	• 000	• 000	-	1.0779	• 000
12	RUBEN	101.841	• 483	• 000	• 000	-	1.0355	• 000
13	IANY	103.012	• 819	• 000	• 000	-	1.0776	• 000
14	GONTIJO	107.039	1.180	• 000	• 000	-	1.0544	• 000

TENSÕES E POTÊNCIAS DAS BARRAS

BARRA	NOME	TENSÃO (P.U.)	ÂNGULO (GRAUS)	PGER (MW)	QGER (MVAR)	PCARGA (MW)	QCARGA (MVAR)	KEAT/CAPAC (MVAR)
1	SCEVOLA	1.0981	01	55.1	-21.3	0	0	0
2	TUKOFF	1.1000	-1.22	100.0	29.9	21.7	12.7	0
3	METZKER	1.0663	-7.03	0.0	19.1	94.2	19.0	0
4	ARAUJO	1.0841	-4.15	0.0	0.0	47.8	-3.9	0
5	GUEDES	1.0914	-2.89	0.0	0.0	7.6	1.6	0
6	LESSA	1.1000	0.02	100.0	18.2	11.2	7.5	0
7	FRANCA	1.0301	-5.07	0.0	0.0	0.0	0.0	0
8	FROSSARD	1.0922	-5.07	0.0	7.5	0	0	0
9	HEVELTON	1.0706	-5.55	0.0	0.0	29.5	16.6	21.8
10	ELIAS	1.0659	-4.34	0.0	0.0	9.0	5.6	0
11	OMAR	1.0783	-2.55	0.0	0.0	3.5	1.6	0
12	RJSEN	1.0856	-1.15	0.0	0.0	6.1	1.6	0
13	IANY	1.0777	-1.56	0.0	0.0	13.5	5.8	0
14	GONTIJO	1.0551	-4.77	0.0	0.0	14.9	5.0	0

FLUXO DE POTÊNCIA NAS LINHAS

BARRA	PARA	BARRA	P.ATIVA(MW)	P.REATIVA(MVAR)
1	SCEVOLA	2 TUKOFF	38.565	-17.345
1	SCEVOLA	5 GUEDES	26.503	-3.957
2	TUKOFF	1 SCEVOLA	-38.286	15.008
2	TUKOFF	3 METZKER	52.285	5.700
2	TUKOFF	4 ARAUJO	34.501	-1.700
2	TUKOFF	5 GUEDES	19.794	-1.692
3	METZKER	2 TUKOFF	-50.759	-1.842
3	METZKER	4 ARAUJO	-33.437	1.925
4	ARAUJO	2 TUKOFF	-33.929	1.204
4	ARAUJO	3 METZKER	34.101	-2.230
4	ARAUJO	5 GUEDES	-61.936	1.093
4	ARAUJO	7 FRANCA	9.891	2.136
4	ARAUJO	9 HEVELTON	5.078	2.698
5	GUEDES	1 SCEVOLA	-26.190	2.320
5	GUEDES	2 TUKOFF	-19.615	*328
5	GUEDES	4 ARAUJO	52.372	-471
5	GUEDES	5 GUEDES	-24.164	-3.095
6	LESSA	5 GUEDES	24.164	4.350
6	LESSA	11 RJSEN	26.733	-1.155
6	LESSA	12 RJSEN	10.217	1.378
6	LESSA	13 IANY	27.685	5.091
7	FRANCA	4 ARAUJO	-9.891	-1.987
7	FRANCA	8 FROSSARD	-0.000	-7.407
7	FRANCA	9 HEVELTON	8.890	9.406
8	FROSSARD	7 FRANCA	0.000	7.493
9	HEVELTON	4 ARAUJO	-5.075	-2.542
9	HEVELTON	7 FRANCA	-8.890	-9.248
9	HEVELTON	10 ELIAS	-13.229	9.704

12	RUBEN	6	LESSA	-10.110
12	RUBEN	13	IANY	4.010
13	IANY	6	LESSA	-27.252
13	IANY	12	RUBEN	-3.979
13	IANY	14	GONTIJO	17.732
14	GONTIJO	9	EVELTON	2.367
14	GONTIJO	13	IANY	-17.267
				2.123

PERDAS NO SISTEMA

POTENCIA ATIVA
(MW)

6.08323

POTENCIA REATIVA
(MVAR)

-17.32461

ANEXO IX

TABELA DE RESULTADOS DOS CASOS TESTES PARA A
FUNÇÃO DE PENALIZAÇÃO DA POTENCIA DE GERAÇÃO
DA BARRA DE COMPENSAÇÃO

CASO	SISTEMA	VARIAV. DE CONTROLE (u)	CORREÇÃO α_V	CORREÇÃO α_{PG}	PCMAX. (M _i)	PCMÍN (M _f)	FATOR de PENALIZA- ÇÃO de PC	PC OBTIDO	OBSERVAÇÕES
16	4 barras	V_i, PG_i	•001	1°	80°	30°	2°	51.4	-
17	"	"	"	"	80°	60°	"	59.5	oscila amortecida- mente
18	"	"	"	"	"	"	1°	59.0	-
19	5 barras	V_i, PG_i	•001	1°	120°	30°	1°	78.0	-
20	"	"	"	"	120°	90°	1°	90.3	-
21	"	"	"	"	"	"	2°	-	divergiu
22	5 barras	PG_i	-	3°	120°	30°	1°	80.1	-
23	"	"	-	1°	70°	30°	"	70.0	oscila amortecida- mente

ANEXO X

TABELA DE RESULTADOS DOS CASOS TESTES PARA A
FUNÇÃO DE PENALIZAÇÃO DAS TENSÕES DAS BARRAS
DE CARGA

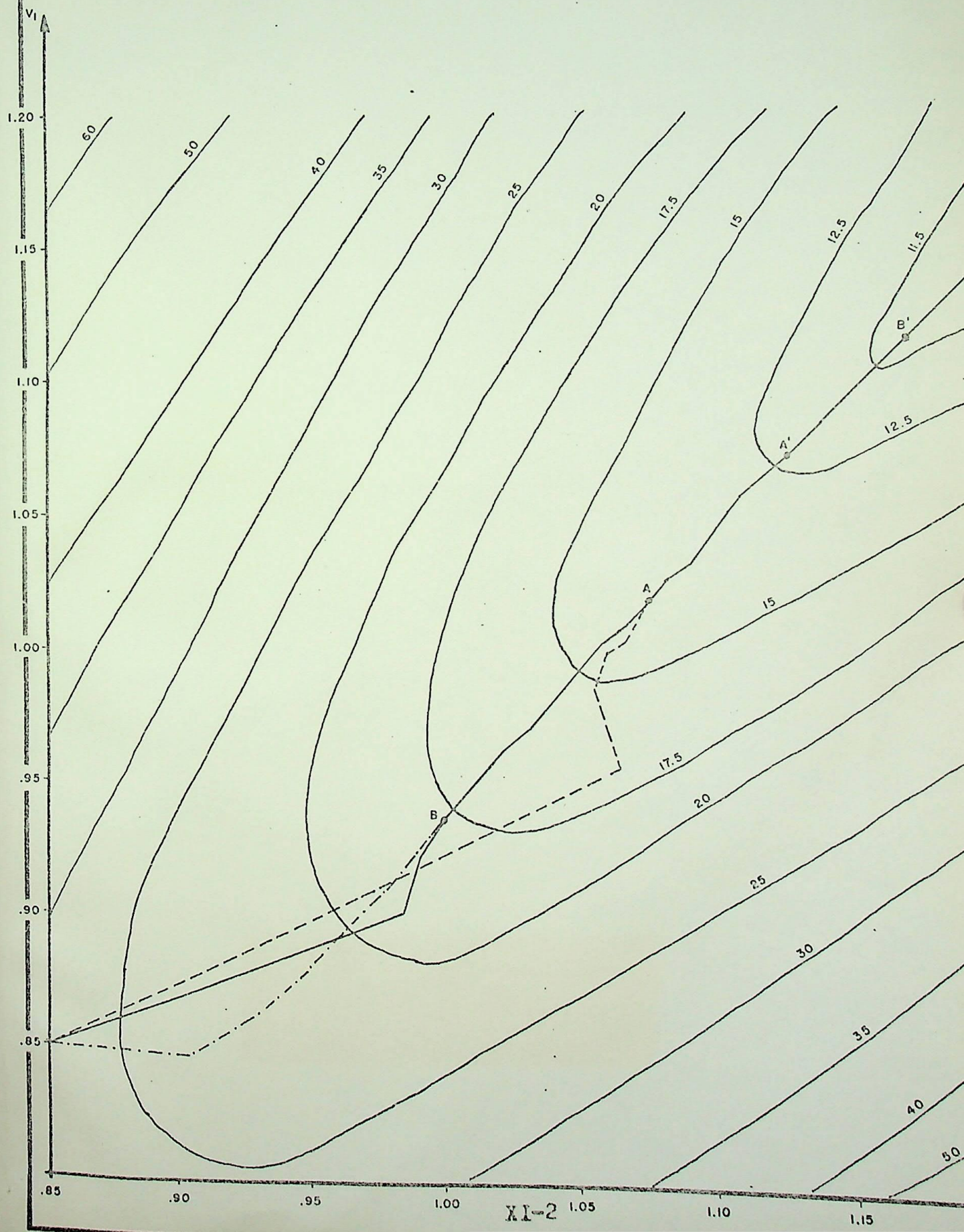
CASO	SISTEMA	VARIAV. DE CONTROLE (u)	CORREÇÃO $\propto v$	$v_3^{\text{MAX.}}$ (pu)	$v_3^{\text{MIN.}}$ (pu)	FACTOR de PENALIZA- ÇÃO de v_3	v_3 OBTIDO	FUNÇÃO OBJETIVO (MW)	OBSERVAÇÕES
24	3 barras	v_i	.00005	1.20	.80	1000.	1.084	10.6	-
25	"	"	"	1.00	.80	"	1.011	12.5	-
26	"	"	"	"	"	2000.	1.006	12.4	-
27	"	"	"	"	"	10.	1.057	11.0	-
28	"	"	.00010	1.00	.80	3000.	.983	12.3	oscilou
29	"	"	"	"	"	10000.	-	-	divergiu

ANEXO XI

GRAFICO DE PERDAS DO SISTEMA DE 3 BARRAS

GRÁFICO DE PERDAS DO SISTEMA DE 3 BARRAS

LEGENDA
 V_1, V_2 - [PU]
 PERDAS - [MW]
 CASO 24 —
 CASO 26 - - -
 CASO 27 - - -



DATA / /19.....
PROC.
PED.
LIV.
R\$

LIVRO	
BIM - EFEI	
DATA	Sobraria

EFEI - BIBLIOTECA MAUÁ
8200183



NÃO DANIFIQUE ESTA ETIQUETA